



**UNIVERSIDAD ESTATAL PENÍNSULA
DE SANTA ELENA
FACULTAD DE SISTEMAS Y TELECOMUNICACIONES**

TITULO DEL TRABAJO DE TITULACIÓN

Diseño De Un Entorno Automatizado En Python Para File Carving De
Archivos Y Recuperación De Datos Eliminados En Investigaciones
Forenses.

AUTOR

GARCIA PEÑA, ANDER LEONEL

PROYECTO DE UNIDAD DE INTEGRACIÓN CURRICULAR

Previo a la obtención del grado académico en
INGENIERO EN TECNOLOGÍAS DE LA INFORMACIÓN

TUTOR

ING. LÍDICE HAZ LÓPEZ, MSI.

Santa Elena, Ecuador

Año 2025



**UNIVERSIDAD ESTATAL PENÍNSULA
DE SANTA ELENA
FACULTAD DE SISTEMAS Y TELECOMUNICACIONES**

TRIBUNAL DE SUSTENTACIÓN

A handwritten signature in black ink, appearing to read "José Sánchez Aquino", written over a horizontal line.

Ing. José Sánchez Aquino, Mgt.

DIRECTOR DE LA CARRERA

A handwritten signature in black ink, appearing to read "Lidice Haz López", written over a horizontal line.

Ing. Lidice Haz López, Msi.

TUTOR

A handwritten signature in black ink, appearing to read "Jaime Orozco Iguasnia", written over a horizontal line.

Ing. Jaime Orozco Iguasnia, Mgt.

DOCENTE ESPECIALISTA

A handwritten signature in black ink, appearing to read "Marjorie Coronel Suárez", written over a horizontal line.

Ing. Marjorie Coronel Suárez, Mgt.

DOCENTE GUÍA UIC



**UNIVERSIDAD ESTATAL PENÍNSULA
DE SANTA ELENA
FACULTAD DE SISTEMAS Y TELECOMUNICACIONES
CERTIFICACIÓN**

Certifico que luego de haber dirigido científica y técnicamente el desarrollo y estructura final del trabajo, este cumple y se ajusta a los estándares académicos, razón por el cual apruebo en todas sus partes el presente trabajo de titulación que fue realizado en su totalidad por **GARCIA PEÑA ANDER LEONEL**, como requerimiento para la obtención del título de Ingeniero en Tecnologías de la Información.

La Libertad, a los 05 días del mes de noviembre del año 2025

TUTOR



Firmado electrónicamente por:

**LIDICE VICTORIA HAZ
LOPEZ**

Validar únicamente con FirmaEC

ING. LÍDICE VICTORIA HAZ LÓPEZ, MSI



**UNIVERSIDAD ESTATAL PENÍNSULA
DE SANTA ELENA
FACULTAD DE SISTEMAS Y TELECOMUNICACIONES
DECLARACIÓN DE RESPONSABILIDAD**

Yo, Garcia Peña Ander Leonel

DECLARO QUE:

El trabajo de Titulación, **Diseño de un entorno automatizado en Python para file carving de archivos y recuperación de datos eliminados en investigaciones forenses**, previo a la obtención del título en Ingeniero en Tecnologías de la Información, ha sido desarrollado respetando derechos intelectuales de terceros conforme las citas que constan en el documento, cuyas fuentes se incorporan en las referencias o bibliografías. Consecuentemente este trabajo es de mi total autoría.

En virtud de esta declaración, me responsabilizo del contenido, veracidad y alcance del Trabajo de Titulación referido.

La Libertad, a los 14 días del mes de noviembre del año 2025

EL AUTOR

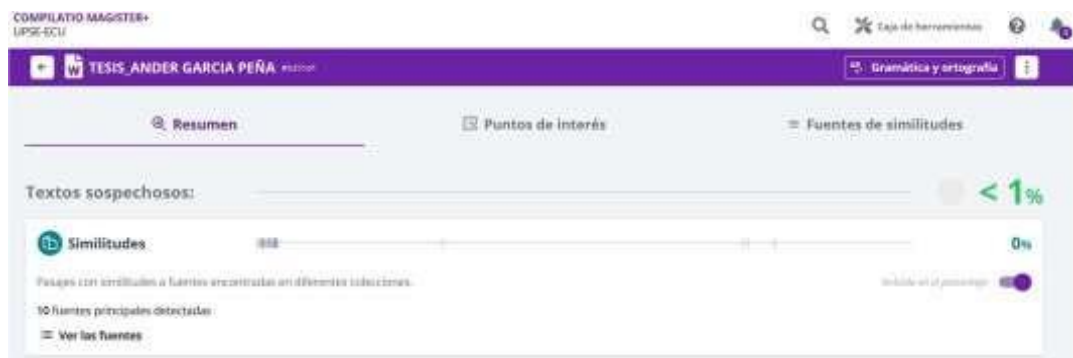
A handwritten signature in blue ink, appearing to read "Garcia Peña Ander Leonel", is positioned above a horizontal line.

GARCIA PEÑA ANDER LEONEL



**UNIVERSIDAD ESTATAL PENÍNSULA
DE SANTA ELENA
FACULTAD DE SISTEMAS Y TELECOMUNICACIONES
CERTIFICACIÓN DE ANTIPLAGIO**

Certifico que después de revisar el documento final del trabajo de titulación denominado **Diseño de un entorno automatizado en Python para file carving de archivos y recuperación de datos eliminados en investigaciones forenses**, presentado por el estudiante, **GARCIA PEÑA ANDER LEONEL** fue enviado al Sistema Antiplagio, presentando un porcentaje de similitud correspondiente a $<1\%$, por lo que se aprueba el trabajo para que continúe con el proceso de titulación.



TUTORA



Firmado electrónicamente por:
**LIDICE VICTORIA HAZ
LOPEZ**

Validar únicamente con FirmaEC

ING. LÍDICE VICTORIA HAZ LÓPEZ, MSI

V



**UNIVERSIDAD ESTATAL PENÍNSULA
DE SANTA ELENA
FACULTAD DE SISTEMAS Y TELECOMUNICACIONES
AUTORIZACIÓN**

Yo, **García Peña Ander Leonel**

Autorizo a la Universidad Estatal Península de Santa Elena, para que haga de este trabajo de titulación o parte de él, un documento disponible para su lectura consulta y procesos de investigación, según las normas de la Institución.

Cedo los derechos en línea patrimoniales del presente trabajo de titulación con fines de difusión pública, además apruebo la reproducción dentro de las regulaciones de la Universidad, siempre y cuando esta reproducción no suponga una ganancia económica y se realice respetando mis derechos de autor.

Santa Elena, a los 14 días del mes de noviembre del año 2025

EL AUTOR

GARCIA PEÑA ANDER LEONEL

AGRADECIMIENTO

Dedico este trabajo a mis padres, Patricia Peña y Román García, por su apoyo incondicional, esfuerzo y ejemplo de perseverancia, que han sido la base de mi formación personal y profesional. Su confianza y amor me han impulsado a alcanzar cada una de mis metas.

A mi asesora de tesis, la Ingeniera Lídice Haz, por su valiosa guía, dedicación y paciencia a lo largo del desarrollo de este trabajo. Su compromiso y profesionalismo fueron importantes para la correcta orientación y culminación de este proyecto.

Agradezco a mi amigo Clever Clarke que me ayuda cada día en el ámbito laboral a seguir creciendo dentro de la Compañía Black Rock Mountain.

Ander Leonel Garcia Peña

DEDICATORIA

Expreso mi más sincero agradecimiento a mi familia por su constante respaldo, motivación y guía durante todo este proceso académico. Destacando el agradecimiento a mi hermano Danny Garcia por su importante ayuda diariamente.

Extiendo mi gratitud a Abel Rosales, un amigo que ha representado una figura de guía y liderazgo, por su orientación cotidiana y laboral que me brindo la oportunidad de desarrollar mis habilidades laborales durante mi etapa académica.

Ander Leonel Garcia Peña

ÍNDICE GENERAL

Certificación	III
Declaración De Responsabilidad	IV
Certificación De Antiplagio	V
Autorización	VI
Agradecimiento	VII
Dedicatoria	VIII
Índice General	IX
Índice De Tablas	XIII
Índice De Figuras	XIV
Resumen	XV
Abstract	XVI
Introducción	1
Capítulo 1: Fundamentación	2
1.1 Antecedentes	2
1.2 Descripción Del Proyecto	3
1.3 Objetivos	7
1.3.1 Objetivo General	7
1.3.2 Objetivos Específicos	7
1.4 Justificación	8
1.5 Alcance Del Proyecto	9
1.5.1 Conjunto De Datos	10
1.6 Metodología De Desarrollo Del Proyecto	10

1.6.1	Metodología De Investigación	10
1.6.2	Tipo Y Métodos De Investigación	11
1.6.3	Beneficiarios Del Proyecto	11
1.6.4	Variables	11
1.6.5	Hipótesis	12
1.6.6	Preguntas De Investigación	12
1.6.7	Técnicas De Recolección De Información.	12
1.7	Metodología De Desarrollo	13
	Capítulo 2. Propuesta	15
2.1	Marco Contextual	15
2.1.1	Marco Legal	16
2.2	Marco Conceptual	16
2.2.1	File Carving	16
2.2.2	Firmas Digitales (Magic Numbers)	17
2.2.3	Fragmentación De Datos	18
2.2.4	Sistemas De Archivos	18
2.2.5	Automatización En Informática Forense	18
2.2.6	Validación De Integridad	18
2.2.7	Investigación Forense Digital	19
2.2.8	Algoritmos De Recuperación	19
2.2.9	Procesamiento Multi-Threading	19
2.2.10	Interfaces Gráficas De Usuario (Gui)	19
2.2.11	Generación De Reportes Forenses	20

2.2.12	Lenguaje De Programación Python	20
2.3	Marco Teórico	20
2.3.1	Teoría De La Recuperación Combinatoria	20
2.3.2	Teoría De La Validación Forense Multidimensional	21
2.3.3	Teoría De Los Sistemas Forenses Adaptables	21
2.4	Requerimientos	22
2.4.1	Requerimientos Funcionales	22
2.4.2	Requerimientos No Funcionales	24
2.5	Componente De La Propuesta	26
2.5.1	Arquitectura Del Sistema	26
2.5.2	Diagramas De Casos De Uso	28
2.5.3	Interfaces Graficas	29
	Capítulo 3. Resultados	35
3.1	Configuración De Los Escenarios De Pruebas	35
3.2	Escenario 1: Copia Bit A Bit Sin Formato	36
3.3	Escenario 2: Usb 16 Gb Con Formato Ntfs	36
3.4	Escenario 3: Usb 8 Gb Con Formato Fat32	37
3.5	Evaluación De La Propuesta	38
3.5.1	Fundamentos Teóricos De Las Métricas Forenses	38
3.5.2	Métricas De Evaluación Forense	39
3.5.3	Cálculo De Métricas Por Escenario	40
3.6	Análisis De Resultados Y Validación De La Propuesta	42
3.6.1	Análisis Comparativo De Rendimiento	42

3.6.2 Análisis De Capacidades Diferenciales	43
3.6.3 Validación De Hipótesis	45
3.6.4 Respuesta A Las Preguntas De Investigación	45

ÍNDICE DE TABLAS

Tabla 1.	Firmas Digitales Implementadas En El Sistema	18
Tabla 2.	Requerimientos Funcionales	24
Tabla 3.	Requerimientos No Funcionales	25
Tabla 4.	Componentes De La Arquitectura Del Sistema	27
Tabla 5.	Resumen De Escenarios De Prueba	35
Tabla 6.	Resultados Comparativos Escenario 1	36
Tabla 7.	Resultados Comparativos Escenario 2	37
Tabla 8.	Resultados Comparativos Escenario 3	38
Tabla 9.	Cálculo De Métricas - Escenario 1	40
Tabla 10.	Cálculo De Métricas - Escenario 2	41
Tabla 11.	Cálculo De Métricas - Escenario 3 (Enfoque Office)	42
Tabla 12.	Resumen Comparativo De Métricas Promedio	42

ÍNDICE DE FIGURAS

Figura 1.	Arquitectura Del Sistema	26
Figura 2.	Diagramas De Casos De Uso	29
Figura 3.	Interfaz De Imaging Forense	30
Figura 4.	Interfaz De File Carving	30
Figura 5.	Interfaz De Monitoreo	31
Figura 6.	Interfaz De Ayuda	32
Figura 7.	Verificación En Sistema Linux	32
Figura 8.	Monitoreo En Sistema Linux	33
Figura 9.	Carpeta De Resultados En Linux	33
Figura 10.	Verificación En Sistema Windows	34
Figura 11.	Panel De Métricas De Rendimiento Del Sistema	47

RESUMEN

Este proyecto desarrolla un entorno automatizado en Python para File Carving y recuperación de datos eliminados en investigaciones forenses digitales. La investigación aborda las limitaciones de herramientas convencionales Foremost, Scalpel, PhotoRec que presentan altas tasas de falsos positivos y no pueden recuperar formatos modernos de Office.

Mediante metodología experimental, se implementan algoritmos basados en firmas digitales y validación estructural para recuperar 11 tipos de archivos, incluyendo DOCX, XLSX y PPTX. La validación se realiza mediante tres escenarios experimentales controlados que simulan condiciones reales de pérdida de datos, comparando el rendimiento mediante métricas cuantitativas de Recall, Precisión y F1-Score contra herramientas de referencia en el campo forense.

Palabras Claves: File Carving, Recuperación Forense, Validación Estructural

ABSTRACT

This project develops an automated Python environment for file carving and deleted data recovery in digital forensic investigations. The research addresses the limitations of conventional tools such as Foremost, Scalpel, and PhotoRec, which exhibit high false positive rates and are unable to recover modern Office formats.

Using experimental methodology, algorithms based on digital signatures and structural validation are implemented to recover 11 file types, including DOCX, XLSX, and PPTX. Validation is performed using three controlled experimental scenarios that simulate real-world data loss conditions, comparing performance using quantitative metrics such as Recall, Precision, and F1-Score against benchmark tools in the forensic field.

Keywords: File Carving, Forensic Recovery, Structural Validation

INTRODUCCIÓN

La evidencia digital es ahora un componente fundamental de las investigaciones judiciales modernas, dado que un 85% de los casos actuales involucran algún tipo de información almacenada en dispositivos electrónicos. La recuperación de archivos eliminados o dañados mediante técnicas de file carving representa una capacidad crítica para los investigadores forenses para escenarios donde los metadatos del sistema de archivos han sido comprometidos, eliminados o corrompidos a propósito.

Las herramientas forenses tradicionales como Foremost, Scalpel y PhotoRec han servido durante años como soluciones estándar en el campo. Sin embargo, la evolución acelerada de los formatos de archivo, sobre todo los documentos de Office modernos basados en compresión ZIP y estructuras XML complejas, ha expuesto a limitaciones en herramientas convencionales. La incapacidad para recuperar formatos DOCX, XLSX y PPTX representa una brecha crítica en las capacidades forenses actuales, considerando que estos representan los formatos documentales predominantes en entornos corporativos y gubernamentales.

Además, las herramientas existentes presentan desafíos operativos considerables: altas tasas de falsos positivos, ausencia de validación funcional de archivos recuperados, interfaces de línea de comandos que incrementan la probabilidad de errores operativos, y falta de mecanismos automatizados de verificación de integridad. Estas restricciones no solo disminuyen la eficiencia del proceso de investigación, sino que también ponen en riesgo la validez de la evidencia digital utilizada en procedimientos judiciales.

La solución a estos desafíos se encuentra en el desarrollo de un ambiente automatizado que integra algoritmos de detección de firmas digitales para abordar las problemáticas mencionadas, validación estructural profunda de contenido, reconstrucción inteligente de archivos fragmentados, y procesamiento multi-threading.

CAPITULO 1: FUNDAMENTACIÓN

1.1 Antecedentes

Actualmente, los investigadores forenses se enfrentan a desafíos significativos en la recuperación de datos eliminados, una tarea crucial para la resolución de incidentes de seguridad, disputas legales y diversos crímenes que dependen de la evidencia digital [1]. El problema actual revela un panorama complejo donde las herramientas existentes presentan limitaciones que obstaculizan la efectividad de las investigaciones forenses digitales [2]. El monitoreo directo del rendimiento, la eficiencia y las restricciones de los instrumentos existentes es una base empírica para diseñar el entorno automatizado, así como también las interrelaciones causa-efecto (Ver anexo #1) que obstaculizan los procesos de recuperación de información en entornos forenses digitales.

La fragmentación tecnológica de las herramientas forenses representa una dificultad considerable en los procedimientos de recuperación de información eliminada, esto ocasiona que los investigadores digitales se encuentren con un ecosistema fragmentado, donde cada herramienta se enfoca en aspectos específicos del análisis forense y ninguna ofrece una solución integral [3].

Las limitaciones algorítmicas en los métodos de recuperación establecen un inconveniente técnico esencial en la computación forense moderna y donde los métodos convencionales se fundamentan en la detección de firmas digitales (magic numbers) y estructuras de cabecera preestablecidas muestran una alarmante rigidez frente a los difíciles panoramas de recuperación de archivos [4].

Las barreras financieras son un factor determinante en la recuperación de datos eliminados, ya que los instrumentos forenses profesionales suelen ser soluciones comerciales con licencias restrictivas, cuyos costos por equipo pueden ascender a varios miles de dólares, incluso tienen limitaciones de uso que restringen el número de casos o aparatos que pueden ser analizados a la vez, esto hace que el acceso a herramientas de alta calidad sea limitado en entornos con recursos financieros reducidos [5].

Tres trabajos de investigación destacados en el campo de la informática forense han generado importantes contribuciones en el área del análisis digital y la recuperación de información primero la tesis internacional de Benjamin Kelley (James Madison University) desarrolla una herramienta para generar analizadores de file carving que cierra la brecha entre análisis e interpretación forense [6]. En segundo lugar, la tesis nacional de Milton Jaque Tarco (UNIANDES) propone una metodología para mejorar el uso de herramientas forenses en el Departamento de Criminalística de Pichincha, Ecuador [7]. Finalmente, una tesis de la Universidad Península de Santa Elena que se centra en el estudio de técnicas de file carving para recuperar información en dispositivos móviles [8].

Las investigaciones anteriores han registrado tasas de recuperación decrecientes en comparación con sistemas de almacenamiento actuales donde las investigaciones recientes demostraron que las herramientas tradicionales consiguen recuperar menos del 40% de la información perdida en dispositivos con sistemas de archivos complejos o métodos de fragmentación [9].

La implementación de herramientas de analizadores de file carving que incorporen lenguajes de descripción de archivos se presenta como una alternativa viable para superar estas limitaciones [10]. El análisis de las interrelaciones causa-efecto que obstaculizan los procesos de recuperación forense se presenta en el Anexo 1, donde se documenta mediante un árbol de problemas (Ver Anexo #1) las limitaciones técnicas, operativas y económicas de las herramientas convencionales

1.2 Descripción del proyecto

El presente proyecto consiste en el diseño de un entorno automatizado especializado en Python para file carving de archivos y recuperación de datos eliminados, orientado a investigaciones forenses digitales modernas [11]. Este entorno integra algoritmos que operan a nivel de bloques de almacenamiento, permitiendo la recuperación de archivos eliminados o dañados sin depender de las estructuras de metadatos del sistema de archivos [12].

El sistema implementa una arquitectura modular que detecta firmas digitales y valida contenido recuperado, reconstrucción de archivos fragmentados y

generación automática de reportes forenses [13]. La herramienta se enfoca en superar las limitaciones de los métodos tradicionales mediante algoritmos adaptativos que pueden manejar múltiples escenarios de recuperación [14].

El entorno desarrollado soporta la recuperación especializada de once tipos de archivos en investigaciones forenses: documentos de Microsoft Office modernos (DOCX, XLSX, PPTX), documentos PDF, imágenes en formatos JPG, PNG y GIF, archivos de audio MP3, videos MP4, archivos comprimidos ZIP y ejecutables Windows [15].

El sistema incorpora un motor multi-threading optimizado para aprovechar eficientemente los recursos de sistemas con múltiples núcleos de procesamiento. La interfaz gráfica, desarrollada con Tkinter, proporciona un entorno intuitivo para que los investigadores configuren parámetros de búsqueda, monitoreen el progreso en tiempo real y generen reportes detallados [16]. El sistema mantiene un registro de todas las operaciones, garantizando la trazabilidad del proceso de recuperación para cumplir con los requisitos de cadena de custodia digital [17]. Además, permite pausar y reanudar procesos, facilitando la gestión de análisis de larga duración [18]. El proyecto tiene 4 fases:

Fase de Investigación Preliminar

- **Evaluación de herramientas existentes:** Se analiza el funcionamiento de herramientas populares como Scalpel, Foremost y PhotoRec. Estas herramientas se evalúan en términos de sus capacidades para realizar file carving de archivos, sus limitaciones y su aplicación en diferentes contextos de recuperación de datos. El código implementa una validación de firmas de archivos para tipos como imágenes (JPEG, PNG), documentos (PDF, DOCX, XLSX), archivos comprimidos (ZIP), y multimedia (MP4, MP3), utilizando algoritmos que replican las funcionalidades de estas herramientas.
- **Estudio de algoritmos de recuperación:** El sistema utiliza un enfoque basado en la detección de firmas para realizar file Carving, validando los encabezados y pies de archivo para recuperar fragmentos de datos válidos.

Este proceso es efectivo en escenarios como archivos fragmentados, y también maneja sistemas RAID para la recuperación de datos.

- **Identificación de restricciones:** El código está diseñado para manejar los desafíos inherentes a la recuperación de datos, tales como la fragmentación, la escasez de metadatos y la limitación a sistemas de archivos concretos, como la recuperación de datos en espacios no asignados, mediante técnicas que permiten extraer datos de áreas no referenciadas por el sistema de archivos.
- **Definición de prácticas óptimas:** Se documentan las mejores prácticas para la recuperación de archivos, basadas en la validación de firmas y la detección de encabezados y pies de archivo. Estas prácticas se implementan en el código para garantizar la efectividad y precisión del sistema.

Fase de Diseño

- **Diseño modular del sistema:** El sistema se organiza en módulos independientes y reutilizables, como el análisis de sistemas de archivos, la identificación de firmas de archivo y la recuperación de datos. Cada módulo es responsable de una tarea específica, lo que permite que el sistema sea escalable y fácil de mantener.
- **Definición de interconexiones:** Los módulos se comunican entre sí mediante pipelines de procesamiento. Esto garantiza un flujo de trabajo eficiente para la recuperación de datos, donde los datos se transfieren de un módulo a otro sin problemas de rendimiento.
- **Especificación de procesos de trabajo:** El diseño contempla diferentes contextos de uso, como la recuperación de archivos en discos duros, memorias USB y sistemas en la nube. Los procesos están optimizados según el tipo de archivo que se desea recuperar, lo que permite al sistema ajustarse a diferentes escenarios.
- **Requisitos técnicos:** El sistema requiere un hardware adecuado con suficiente capacidad de CPU y memoria RAM para manejar múltiples procesos en paralelo. Además, se especifican las bibliotecas necesarias

como pytsk3 y sleuthkit para la interpretación de los sistemas de archivos soportados (NTFS, ext4, FAT32, etc.).

- **Requisitos funcionales:** El sistema debe ser capaz de recuperar diferentes tipos de archivos (JPEG, PDF, MP4, etc.), incluso en áreas no asignadas, y debe ser capaz de manejar situaciones de sobreescritura parcial o datos fragmentados.

Fase de Implementación

- **Codificación del análisis de sistemas de archivos:** Se han implementado funciones para interpretar y analizar sistemas de archivos comunes como NTFS, ext4 y FAT32. Estas funciones utilizan bibliotecas como pytsk3 y sleuthkit para extraer datos y metadatos de los archivos.
- **Desarrollo de identificación de firmas digitales:** Se crea un módulo que detecta las firmas de archivos mediante el análisis de encabezados y pies, como FF D8 para JPEG. Este módulo asegura que los fragmentos de datos recuperados sean válidos antes de ser reconstruidos.
- **Algoritmos de file carving por tipo de archivo:** Se implementan técnicas específicas para recuperar imágenes, documentos y archivos multimedia, ajustando los parámetros según el tipo de archivo. Por ejemplo, la recuperación de MP4 se optimiza para detectar y recuperar bloques de datos relacionados con el formato.
- **Recuperación en espacio no asignado:** Se desarrollan métodos para extraer datos de áreas no asignadas del disco, utilizando técnicas avanzadas de análisis de clusters libres. El código gestiona casos de sobreescritura parcial para maximizar la recuperación de datos.
- **Reconstrucción de archivos fragmentados:** Se implementan algoritmos para unir fragmentos dispersos de archivos, como la bifurcación o el file carving basado en contenido. Estas técnicas permiten la reconstrucción de archivos completos a partir de fragmentos, optimizando el proceso con bibliotecas como NumPy para el análisis de datos.

Fase de Pruebas

- **Preparación de conjuntos de datos:** Se generan escenarios simulados con discos fragmentados para probar el sistema en situaciones realistas. Esto asegura que el sistema sea capaz de manejar una variedad de casos de recuperación.
- **Evaluación del rendimiento:** Se mide el tiempo total de procesamiento necesario para completar el análisis y la recuperación de datos en diferentes escenarios, como la recuperación de archivos de discos duros tradicionales y SSDs.
- **Pruebas de funcionalidad:** El sistema valida que los archivos recuperados no hayan sido alterados durante el proceso utilizando funciones hash. Esto asegura la integridad de los archivos recuperados y cumple con los estándares forenses para la cadena de custodia.

El proyecto se centra en la investigación TSI (Tecnologías de Sistemas de Información), en concreto en su aplicación a organizaciones y la sociedad. Se enfoca en la creación de un sistema automatizado de file carving y recuperación de datos eliminados, esencial para la seguridad informática y las investigaciones forenses [19].

1.3 Objetivos

1.3.1 Objetivo General

- Desarrollar un entorno automatizado en Python para la recuperación de datos eliminados mediante técnicas de file carving en investigaciones forenses.

1.3.2 Objetivos Específicos

- Implementar algoritmos especializados para la identificación y recuperación de archivos eliminados basados en firmas digitales y estructura de datos.
- Diseñar una interfaz gráfica intuitiva que facilite el proceso de análisis forense y recuperación de datos.

- Documentar la tasa de recuperación de datos alcanzada por el entorno desarrollado, comparando su eficacia con herramientas forenses existentes.

1.4 Justificación

La capacidad de recuperar archivos eliminados es crucial en las investigaciones forenses digitales, pues la evidencia digital resultante puede definir el desenlace de casos judiciales complejos y con graves implicaciones sociales [20]. El file carving es crucial cuando los metadatos del sistema de archivos fallan. Esta técnica permite recuperar información analizando los patrones binarios y la estructura interna de los archivos, incluso después de que los datos hayan sido borrados [21].

El crecimiento exponencial del uso de dispositivos digitales en todos los ámbitos sociales ha transformado radicalmente las investigaciones forenses, resultando en que el 85% de los casos judiciales hoy en día involucren algún tipo de evidencia digital crítica [22]. El uso de herramientas especializadas beneficia el sistema judicial y protege los derechos digitales contra los crímenes informáticos que impactan a toda la sociedad [23]. En este contexto, el análisis forense y la recuperación de datos son cruciales para investigar eficazmente ciberataques, fraudes y otros delitos electrónicos, según estadísticas demuestran que los ataques han aumentado un 300% en los últimos cinco años en Ecuador [24].

El entorno automatizado propuesto trata múltiples desafíos técnicos y operativos en el campo de la investigación forense digital para determinar el tiempo de análisis y recuperación de datos, pasando de procesos manuales que pueden tomar semanas a procedimientos automatizados que se completan en horas. Los sistemas de almacenamiento emergentes proporcionan una solución sostenible y escalable que puede evolucionar con las necesidades tecnológicas futuras [25].

Este proyecto se alinea con los objetivos del Plan de Desarrollo para el Nuevo Ecuador 2025, con el eje estratégico de "Transformación Digital y Seguridad Cibernética" que establece como prioridad nacional el fortalecimiento de las capacidades tecnológicas en el ámbito de la ciberseguridad [26]. Según la Secretaría Nacional de Planificación, el desarrollo de herramientas y metodologías para la investigación forense digital es una "acción prioritaria para garantizar la soberanía

tecnológica y la protección de infraestructuras críticas nacionales" [27]. También, el proyecto contribuye directamente a la meta 4.3 del Plan que busca "incrementar en un 40% las capacidades nacionales para la respuesta a incidentes de seguridad digital antes del 2025" [26].

1.5 Alcance del proyecto

El proyecto desarrolla un sistema especializado y automatizado para la recuperación de archivos eliminados en investigaciones forenses digitales. Implementa técnicas avanzadas que permiten recuperar archivos dañados sin la necesidad de utilizar la información de la estructura de metadatos.

Escenario 1: Recuperación con Búsqueda Exhaustiva

Objetivo: Realizar una búsqueda completa de todos los fragmentos de datos y la recuperación de archivos en espacios no asignados del dispositivo de almacenamiento.

Proceso: El sistema realiza un análisis completo, buscando firmas de archivo en todos los sectores del dispositivo, incluyendo aquellos no referenciados por el sistema de archivos.

Resultado esperado: Se recuperan todos los fragmentos de datos posibles, incluso en escenarios de sobrescritura parcial o fragmentación avanzada. El sistema realiza la validación completa de los archivos recuperados, garantizando su integridad.

Escenario 2: Recuperación Sin Búsqueda Exhaustiva

Objetivo: Realizar una recuperación más rápida, donde solo se buscan fragmentos de archivos en los sectores más evidentes del dispositivo.

Proceso: El sistema realiza un análisis básico, omitiendo la validación exhaustiva de todos los sectores no asignados, centrándose en los fragmentos más obvios.

Resultado esperado: Archivos eliminados recuperados más rápidamente, pero con una tasa de recuperación menor en comparación con el escenario exhaustivo. Los archivos recuperados son menos susceptibles a errores, pero algunos fragmentos pueden no ser recuperados.

Escenario 3: Recuperación con Modo Verbose

Objetivo: Obtener un registro detallado de todo el proceso de recuperación.

Proceso: Se habilita el modo verbose, proporcionando información detallada sobre cada archivo recuperado, los fragmentos encontrados, y las áreas analizadas. Esto permite a los investigadores ver el progreso en tiempo real.

Resultado esperado: Un registro completo del proceso de file carving, permitiendo la auditoría completa de cada paso del proceso de recuperación. Es útil para casos que requieren una trazabilidad detallada del proceso forense.

1.5.1 Conjunto de datos

El conjunto de datos utilizado en este estudio está compuesto por tres archivos en formato .dd con tamaños entre 8GB y 16GB de almacenamiento, los mismos que fueron utilizados para las pruebas experimentales. Los archivos .dd pueden incluir una variedad de formatos, tales como (JPG, PNG, MP4, PDF, DOCX, XLSX, ZIP, etc.), cuya fuente puede provenir de dispositivos de almacenamiento con diferentes configuraciones, como discos duros, SSDs y memorias USB.

Para la evaluación del sistema de recuperación, se seleccionó la siguiente muestra representativa:

1. Una copia bit a bit que no contiene ningún formato.
2. Una memoria USB de 16 GB formateada en NTFS.
3. Una memoria USB de 8 GB formateada en FAT32.

Estos dispositivos fueron utilizados para simular diferentes escenarios de recuperación convirtiéndolos a formato dd que es una copia bit a bit, incluyendo la eliminación y fragmentación de archivos, con el fin de probar la efectividad del sistema de recuperación de datos en distintas configuraciones de almacenamiento y sistemas operativos

1.6 Metodología de Desarrollo del Proyecto

1.6.1 Metodología de investigación

El presente proyecto emplea una metodología de investigación experimental y cuantitativa para evaluar la eficiencia de las técnicas de file carving en la

recuperación de datos eliminados o fragmentados. La metodología incluye pruebas controladas en dispositivos con diferentes sistemas de archivos (NTFS, FAT32, ext4) y tipos de almacenamiento (HDD, SSD, USB). En cada prueba, se realizará una copia bit a bit de los dispositivos de almacenamiento para garantizar la integridad de los datos durante el proceso de recuperación.

1.6.2 Tipo y Métodos de Investigación

La investigación tiene un alcance doble:

Experimental: El estudio se enfoca en realizar pruebas controladas para evaluar la eficiencia de las técnicas de file carving. Se emplean copias bit a bit de dispositivos de almacenamiento para simular diferentes escenarios de pérdida de datos y medir la efectividad de la recuperación. Las métricas incluyen la tasa de recuperación, el tiempo de procesamiento y la precisión de los archivos recuperados [28].

Cuantitativo: El análisis de los datos obtenidos se realiza de forma cuantitativa, utilizando métricas estadísticas para medir la tasa de éxito de la recuperación de archivos en función de distintos sistemas de archivos y tipos de almacenamiento. Se realiza una comparación entre las técnicas tradicionales y el sistema desarrollado, midiendo la eficiencia en términos numéricos [29]

1.6.3 Beneficiarios del proyecto

El proyecto beneficia directamente a las instituciones académicas y a los investigadores forenses. Las universidades con programas de informática forense y ciberseguridad se beneficiarán al integrar este sistema de file carving, permitiendo a estudiantes y académicos realizar prácticas de recuperación de datos eliminados o fragmentados en un entorno controlado y con tecnología avanzada. Esto no solo fortalecerá la formación práctica, sino que también mejorará la capacidad de investigación avanzada en el campo

1.6.4 Variables

Variable Independiente: Entorno automatizado en Python para file carving

Variable Dependiente: Eficiencia de la recuperación de archivos eliminados.

La operacionalización completa de las variables dependientes, incluyendo sus definiciones conceptuales, indicadores, fórmulas de cálculo y criterios de logro (Ver Anexo #2)

1.6.5 Hipótesis

Un entorno automatizado en Python que implemente file carving basado en firmas digitales y estructura interna de archivos, con interfaz gráfica de apoyo, mejora la eficacia forense frente a herramientas existentes, incrementando la tasa de recuperación y reduciendo el tiempo de análisis en imágenes forenses digitales.

1.6.6 Preguntas de investigación

Q1. ¿En qué medida el entorno automatizado en Python mejora la tasa de recuperación, precisión y tiempo de análisis frente a herramientas forenses de referencia en escenarios con diferente fragmentación de archivos?

Q2. ¿Qué combinación de heurísticas (firmas + estructura interna, tamaño de bloque, umbrales de entropía) optimiza el F1-score para tipos de archivo frecuentes en casos periciales?

Q3. ¿La interfaz gráfica propuesta reduce errores operativos y tiempo de preparación/validación respecto a la línea de comandos de las herramientas comparadas?

1.6.7 Técnicas de Recolección de Información.

Técnicas: Se realizará una revisión de literatura en file carving, recuperación de datos forenses y algoritmos de detección de firmas digitales. Esta técnica permitirá establecer el marco teórico sólido e identificar las metodologías más efectivas implementadas en investigaciones previas, así como las limitaciones de las herramientas forenses existentes.

Se llevará a cabo un análisis del estado actual de las tecnologías de file carving y recuperación de datos eliminados, examinando las herramientas forenses más utilizadas en el mercado como Scalpel, Foremost y PhotoRec. Esta técnica permitirá identificar las brechas tecnológicas existentes y las oportunidades de mejora que justifican el desarrollo del entorno automatizado propuesto.

1.7 Metodología de desarrollo

La metodología de desarrollo del proyecto integra enfoques sistemáticos utilizados en el desarrollo de software forense con adaptaciones específicas para investigación académica [31]. La estructura metodológica se fundamenta en el marco "Aplicación de Técnicas de file carving para la Recuperación de Datos en Dispositivos Móviles", que demostró efectividad en contextos forenses digitales, adaptándolo para abordar sistemáticamente la complejidad del carving forense en entornos de escritorio [8].

El proyecto adopta un enfoque de desarrollo iterativo e incremental basado en cuatro fases claramente definidas, permitiendo mejoras continuas y validación progresiva de componentes:

Fase 1: Investigación Preliminar

- Análisis comparativo de herramientas: Evaluación sistemática de Scalpel, Foremost y PhotoRec usando métricas cuantitativas
- Identificación de brechas tecnológicas: Mapeo de limitaciones en recuperación de formatos modernos

Fase 2: Diseño

- Modelado modular: Diseño de componentes independientes con interfaces bien definidas
- Especificación de algoritmos: Desarrollo de pseudocódigo para detección de firmas y validación

Fase 3: Implementación

- Motor de detección de firmas básicas (JPG, PNG, PDF)
- Validación para formatos Office modernos
- Sistema multi-threading y optimización de memoria
- Interfaz gráfica y sistema de reportes

Fase 4: Validación y Pruebas

- Pruebas unitarias: Cobertura del 85% del código
- Pruebas de integración: Validación de flujos completos de recuperación

- Pruebas comparativas: Benchmarking contra herramientas de referencia
- Análisis estadístico: Comprobación de hipótesis a través de pruebas.

CAPÍTULO 2. PROPUESTA

2.1 Marco Contextual

La recuperación de datos se ha convertido en un componente crucial dentro de la informática forense para enfrentar escenarios de pérdida de datos debido a la corrupción de sistemas de archivos, fallas físicas de los dispositivos o eliminación accidental. Herramientas como Scalpel, Foremost, y PhotoRec han sido muy utilizadas debido a su capacidad para realizar file carving de archivos, lo que les permite recuperar datos fragmentados o parcialmente corruptos [31].

Estas herramientas se basan en algoritmos que validan firmas de archivos, permitiendo la recuperación de tipos específicos como imágenes, documentos y archivos multimedia. Sin embargo, existen limitaciones en cuanto a la recuperación de archivos que están fragmentados en discos o en sistemas RAID, donde los datos están distribuidos a través de múltiples discos [32].

La implementación de algoritmos de file carving ha sido un avance importante en este campo, permitiendo la recuperación de fragmentos de archivos basados en patrones de firmas. Estos algoritmos no solo buscan encabezados y pies de archivo, sino que también analizan los metadatos de los sistemas de archivos dañados para ayudar a la reconstrucción completa de los archivos perdidos [33]. La aplicación de estas técnicas en la recuperación de datos de sistemas RAID, por ejemplo, requiere un enfoque técnico, ya que la reconstrucción de los datos en estos sistemas de almacenamiento distribuidos es más compleja que en los discos tradicionales [34].

Además, uno de los mayores retos en la recuperación de datos es la fragmentación de archivos, la falta de metadatos completos y la sobrescritura parcial de datos. Los avances en la identificación de espacios no asignados en los discos duros permiten la extracción de datos que no están indexados por el sistema de archivos, lo que ha mejorado la eficiencia y precisión en la recuperación [35].

Finalmente, la investigación y desarrollo de nuevas técnicas de recuperación de datos se encuentra en constante evolución, con énfasis en la mejora de la exactitud y la eficiencia de los algoritmos de file carving y en la creación de herramientas que permitan manejar situaciones más complejas, como la sobrescritura de datos y los

sistemas de almacenamiento no convencionales. Este avance es crucial para mantener la integridad de los datos y garantizar su recuperación efectiva en situaciones críticas, como en investigaciones forenses digitales [36].

2.1.1 Marco Legal

Ley Orgánica de Protección de Datos Personales

La Ley Orgánica de Protección de Datos Personales del Ecuador establece el régimen jurídico para el tratamiento de datos personales y garantiza el derecho a la protección de datos como derecho fundamental. Esta legislación tiene implicaciones directas para la práctica de file carving forense cuando involucra recuperación de información personal [37].

Principios aplicables:

- Artículo 8 - Consentimiento: Establece requisitos para el tratamiento lícito de datos personales, con excepciones específicas para investigaciones judiciales [38].
- Artículo 25 - Categorías especiales de datos personales: Define protecciones adicionales para datos sensibles que pueden ser recuperados mediante file carving [39].
- Artículo 37 - Seguridad de datos personales: Establece obligaciones de implementar medidas técnicas y organizativas apropiadas para proteger datos personales [40].

2.2 Marco Conceptual

2.2.1 File Carving

File carving es una técnica avanzada de recuperación de datos forenses que opera directamente a nivel de bloques de almacenamiento para reconstruir archivos eliminados o dañados, sin depender de las estructuras de metadatos del sistema de archivos. La técnica es importante en investigaciones forenses digitales donde la integridad del sistema de archivos ha sido afectada por eliminación, corrupción o ataques maliciosos [41].

2.2.2 Firmas Digitales (Magic Numbers)

Las firmas digitales o magic numbers son secuencias específicas de bytes que identifican el formato de un archivo en particular y generalmente se encuentran en posiciones predefinidas como el encabezado o pie del archivo. La precisión en la identificación de estas firmas determina directamente la efectividad del proceso de recuperación de datos [42].

La Tabla 1 presenta las firmas digitales (magic numbers) utilizadas por el sistema para identificar y validar los 11 tipos de archivos soportados, incluyendo sus encabezados hexadecimales, tamaños máximos y métodos de validación.

Tipo Archivo	Firma Header (Hex)	Firma Footer (Hex)	Tamaño Máximo	Validación
JPG	FF D8 FF	FF D9	10 MB	Segmentos JPEG
PNG	89 50 4E 47 0D 0A 1A 0A	49 45 4E 44 AE 42 60 82	20 MB	Chunks CRC
PDF	25 50 44 46	25 25 45 4F 46	50 MB	Estructura obj/endobj
DOCX	50 4B 03 04	50 4B 05 06	30 MB	XML Content-Types
XLSX	50 4B 03 04	50 4B 05 06	30 MB	Estructura xl/
PPTX	50 4B 03 04	50 4B 05 06	50 MB	Estructura ppt/
ZIP	50 4B 03 04	50 4B 05 06	100 MB	No Office
EXE	4D 5A	-	200 MB	Headers PE
GIF	47 49 46 38	-	10 MB	Headers GIF87a/89a
MP3	49 44 33	-	50 MB	ID3 tags

MP4	00 00 00 18 66 74 79 70	-	500 MB	ftyp box
------------	----------------------------	---	--------	----------

Tabla 1. Firmas digitales implementadas en el sistema

2.2.3 Fragmentación de Datos

La fragmentación de datos ocurre cuando los sistemas de archivos modernos implementan algoritmos de asignación adaptativos que generan patrones de distribución no secuenciales. La fragmentación presenta uno de los mayores desafíos en file carving, ya que requiere algoritmos capaces de reconstruir archivos completos a partir de segmentos dispersos en diferentes ubicaciones del dispositivo de almacenamiento [43].

2.2.4 Sistemas de Archivos

Los sistemas de archivos son estructuras organizacionales que determinan cómo se almacenan, organizan y recuperan los datos en dispositivos de almacenamiento. comprender las características específicas de cada sistema de archivos es crucial para desarrollar estrategias efectivas de recuperación. Las diferencias en la gestión de espacios libres, políticas de eliminación y estructuras de metadatos entre sistemas requieren enfoques de file carving adaptativos [44].

2.2.5 Automatización en Informática Forense

La automatización en informática forense se refiere a la implementación de procesos y algoritmos que pueden ejecutar tareas de análisis y recuperación de datos con mínima intervención humana. La automatización también reduce errores humanos y permite el análisis de dispositivos de almacenamiento de gran capacidad que serían impracticables de procesar manualmente [45].

2.2.6 Validación de Integridad

La validación de integridad en recuperación de datos forenses comprende el conjunto de técnicas y algoritmos utilizados para verificar que los archivos recuperados mantienen su estructura original y funcionalidad. Los algoritmos de validación deben ser capaces de distinguir entre archivos totalmente recuperados,

parcialmente dañados y falsos positivos generados durante el proceso de file carving [46].

2.2.7 Investigación Forense Digital

La investigación forense digital es una disciplina científica que aplica métodos y técnicas especializadas para la identificación, preservación, análisis y presentación de evidencia digital en contextos legales. Los investigadores forenses deben mantener una cadena de custodia rigurosa y documentar meticulosamente todos los procedimientos aplicados durante el proceso de recuperación [47].

2.2.8 Algoritmos de Recuperación

Los algoritmos de recuperación son procedimientos computacionales diseñados para identificar, extraer y reconstruir archivos eliminados o dañados de dispositivos de almacenamiento. Los algoritmos modernos incorporan técnicas de inteligencia artificial y aprendizaje automático para mejorar la precisión en la identificación de patrones y la reconstrucción de archivos complejos [48].

2.2.9 Procesamiento Multi-threading

El procesamiento multi-threading es una técnica de programación que permite la ejecución simultánea de múltiples hilos de procesamiento dentro de una aplicación, optimizando el uso de recursos del sistema y reduciendo los tiempos de análisis. La gestión eficiente de threads requiere mecanismos de sincronización para evitar conflictos y garantizar la coherencia de los resultados [49].

2.2.10 Interfaces Gráficas de Usuario (GUI)

Las interfaces gráficas de usuario en herramientas forenses proporcionan un medio intuitivo y eficiente para que los investigadores interactúen con sistemas complejos de análisis de datos. La interfaz debe permitir la selección de tipos de archivo, configuración de algoritmos de búsqueda, control del proceso de análisis y presentación clara de los resultados obtenidos, la usabilidad de la interfaz [50]. El manual de usuario completo del sistema, incluyendo guías paso a paso para cada funcionalidad (Ver Anexo #4).

2.2.11 Generación de Reportes Forenses

La generación de reportes forenses es el proceso mediante el cual se documenta de manera estructurada y detallada todo el procedimiento de análisis, los resultados obtenidos y las conclusiones derivadas de una investigación digital, los reportes deben generarse automáticamente en formatos estándar que permitan la trazabilidad completa del proceso y faciliten la presentación de evidencia digital recuperada [51].

2.2.12 Lenguaje de Programación Python

Python es un lenguaje de programación de alto nivel, interpretado y de propósito general, reconocido por su sintaxis clara y legible que facilita el desarrollo rápido de aplicaciones complejas. La flexibilidad del lenguaje permite la rápida creación y modificación de algoritmos según las necesidades específicas de cada investigación [52].

2.3 Marco Teórico

2.3.1 Teoría de la Recuperación Combinatoria

La Teoría de la Recuperación Combinatoria establece el marco matemático que conceptualiza la recuperación de datos como un problema de optimización combinatoria en espacios de solución multidimensionales. Este paradigma matemático modela la reconstrucción de archivos fragmentados como un problema de ordenamiento de secuencias bajo restricciones parciales donde cada configuración representa un vector en un espacio n-dimensional de posibles soluciones [53].

Las funciones de evaluación cuantifican distintos parámetros de coherencia estructural, y los coeficientes de ponderación determinan la influencia relativa de cada factor en la evaluación global de la solución. La teoría proporciona fundamentos sólidos para el desarrollo de algoritmos que pueden evaluar múltiples configuraciones posibles de fragmentos y seleccionar la más probable basándose en criterios matemáticos objetivos [54]. Esta aproximación permite optimizar tanto la precisión de la recuperación como la eficiencia computacional del proceso.

2.3.2 Teoría de la Validación Forense Multidimensional

La Teoría de la Validación Forense Multidimensional ofrece el framework necesario para evaluar de manera objetiva la fiabilidad de la evidencia digital reconstruida donde el modelo propuesto puede formalizarse como una matriz de validación multidimensional. Facilita la aplicación de métodos estadísticos estrictos para calcular intervalos de confianza precisos para cada conclusión forense aumentando la neutralidad en procedimientos judiciales donde se presenta evidencia digital reconstruida [55].

La teoría establece criterios cuantitativos para evaluar la calidad de la evidencia recuperada, considerando factores como integridad estructural, completitud de datos, y confiabilidad del proceso de recuperación. Esto permite asignar niveles de confianza específicos a cada elemento de evidencia, facilitando la toma de decisiones informadas en contextos legales [56]. La implementación práctica de esta teoría requiere sistemas automatizados capaces de aplicar múltiples criterios de validación de forma simultánea y generar métricas cuantitativas de confiabilidad.

2.3.3 Teoría de los Sistemas Forenses Adaptables

La Teoría de los Sistemas Forenses Adaptables establece los principios básicos para el diseño e implementación de soluciones forenses capaces de evolucionar dinámicamente con las tecnologías emergentes. Este paradigma integra conceptos de sistemas complejos con metodologías de ingeniería de software, implementando un ciclo de retroalimentación continua entre el sistema forense y su entorno operativo [57].

Esta arquitectura resulta esencial frente a la complejidad creciente de los sistemas de almacenamiento modernos, que presentan estructuras multinivel con interacciones complejas entre las capas físicas y lógicas. Requiere mecanismos dinámicos de ajuste algorítmico basados en la detección automática de patrones emergentes en los datos analizados [58]. La teoría fundamenta el desarrollo de sistemas que pueden aprender de experiencias previas, adaptar sus algoritmos a nuevos tipos de archivos o sistemas de almacenamiento, y mantener su efectividad a medida que evoluciona el panorama tecnológico.

2.4 Requerimientos

2.4.1 Requerimientos Funcionales

Los requerimientos funcionales definen las capacidades específicas que debe poseer el sistema para cumplir con los objetivos establecidos y satisfacer las necesidades de los usuarios finales en el contexto de investigaciones forenses digitales [50]. Estos requerimientos han sido identificados a partir del análisis de las limitaciones de herramientas existentes, las necesidades expresadas por profesionales forenses, y los estándares internacionales para evidencia digital [59].

La Tabla 2 detalla los 20 requerimientos funcionales del sistema, organizados por prioridad (Alta, Media, Baja) y especificando las capacidades que debe cumplir el entorno automatizado, desde la detección de dispositivos hasta la generación de reportes.

ID	Requerimiento	Descripción	Prioridad
RF01	Detección automática de dispositivos	El sistema debe detectar automáticamente dispositivos de almacenamiento conectados al sistema	Alta
RF02	Creación de imágenes forenses	El sistema debe crear imágenes bit-a-bit con verificación SHA1	Alta
RF03	Identificación de firmas digitales	El sistema debe identificar 11 tipos de archivos usando firmas digitales específicas	Alta
RF04	Validación de contenido avanzada	El sistema debe validar la integridad estructural de archivos recuperados	Alta
RF05	Clasificación inteligente Office/ZIP	El sistema debe distinguir documentos Office de archivos ZIP genéricos	Alta

ID	Requerimiento	Descripción	Prioridad
RF06	Procesamiento multi-threading	El sistema debe utilizar múltiples núcleos de procesamiento simultáneamente	Alta
RF07	Recuperación de archivos fragmentados	El sistema debe reconstruir archivos distribuidos en múltiples fragmentos	Alta
RF08	Monitoreo en tiempo real	El sistema debe mostrar progreso y estadísticas durante el procesamiento	Media
RF09	Control granular de proceso	El sistema debe permitir pausar, reanudar y detener operaciones en ejecución	Media
RF10	Validación funcional automática	El sistema debe verificar que archivos recuperados sean funcionalmente utilizables	Media
RF11	Generación de reportes forenses	El sistema debe generar reportes detallados en formatos JSON y TXT	Alta
RF12	Logging detallado	El sistema debe registrar todas las operaciones para trazabilidad completa	Alta
RF13	Configuración de parámetros	El sistema debe permitir ajustar parámetros según tipo de análisis	Media
RF14	Interfaz gráfica intuitiva	El sistema debe proporcionar interfaz de usuario amigable y profesional	Media

ID	Requerimiento	Descripción	Prioridad
RF15	Búsqueda exhaustiva opcional	El sistema debe ofrecer modo de búsqueda exhaustiva para mayor precisión	Baja
RF16	Estimación de tiempo restante	El sistema debe calcular tiempo estimado para completar operaciones	Baja
RF17	Filtrado por tipo de archivo	El sistema debe permitir seleccionar tipos específicos de archivos a recuperar	Media
RF18	Verificación de integridad	El sistema debe calcular checksums para archivos recuperados	Alta
RF19	Exportación de resultados	El sistema debe permitir exportar listas de archivos recuperados	Media
RF20	Soporte para múltiples sistemas de archivos	El sistema debe procesar dispositivos NTFS, FAT32, ext4 y exFAT	Alta

Tabla 2. Requerimientos Funcionales

2.4.2 Requerimientos No Funcionales

Los requerimientos no funcionales especifican las características de calidad, rendimiento y restricciones operativas que el sistema debe cumplir para garantizar su viabilidad en entornos de producción forense, estos requerimientos son importantes para asegurar que la herramienta sea práctica, eficiente y confiable en situaciones reales de investigación, donde factores como tiempo de respuesta, estabilidad del sistema y usabilidad pueden impactar en el éxito de una investigación [60]. La definición de estos requerimientos considera las limitaciones de hardware típicas en laboratorios forenses, las expectativas de rendimiento de los usuarios profesionales, y los estándares de calidad [61].

La Tabla 3 especifica los 10 requerimientos no funcionales críticos del sistema, estableciendo métricas cuantificables de rendimiento, estabilidad, compatibilidad y usabilidad que garantizan la viabilidad operativa de la herramienta.

ID	Requerimiento	Descripción	Métrica
RNF01	Rendimiento de procesamiento	El sistema debe procesar al menos 50 MB/s en hardware	50 MB/s mínimo
RNF02	Escalabilidad de workers	El sistema debe soportar entre 1 y 16 threads simultáneos	1-16 threads
RNF03	Uso eficiente de memoria	El sistema debe operar con máximo 4 GB de RAM	≤ 4 GB RAM
RNF04	Estabilidad del sistema	El sistema debe funcionar por al menos 72 horas sin fallos	72 horas uptime
RNF05	Compatibilidad de plataforma	El sistema debe ejecutarse en Windows 10/11 de 64 bits	Windows 64-bit
RNF06	Tiempo de respuesta de interfaz	La interfaz debe responder a acciones del usuario en menos de 500ms	< 500ms
RNF07	Precisión de recuperación	El sistema debe lograr tasa de recuperación superior al 60%	> 60% recovery
RNF08	Confiabilidad de validación	El sistema debe mantener tasa de falsos positivos inferior al 5%	< 5% false positive
RNF09	Disponibilidad del sistema	El sistema debe estar disponible 99% del tiempo de operación	99% availability
RNF10	Usabilidad intuitiva	Usuarios capacitados deben completar análisis básico	< 30 min learning

Tabla 3. Requerimientos No Funcionales

2.5 Componente de la Propuesta

2.5.1 Arquitectura del Sistema

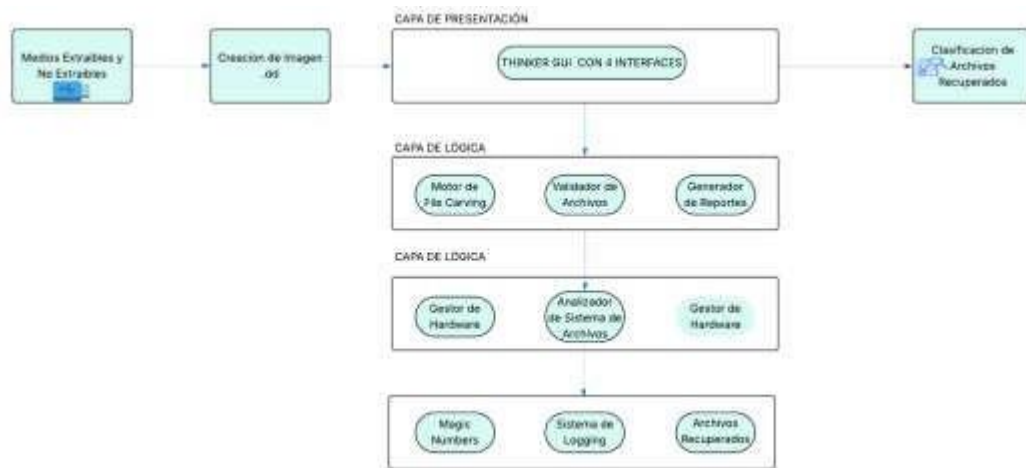


Figura 1. Arquitectura del Sistema

La Figura 1 representa la arquitectura modular del sistema propuesto, mostrando la interacción entre los componentes principales: interfaz gráfica, motor de procesamiento, validadores de contenido y sistema de generación de reportes [62]. El núcleo del sistema está construido sobre una arquitectura de capas que separa claramente las responsabilidades: la capa de presentación maneja la interfaz gráfica y la interacción con el usuario; la capa de lógica de negocio implementa los algoritmos de detección, validación y reconstrucción; la capa de acceso a datos gestiona la interacción con dispositivos de almacenamiento y sistemas de archivos; y la capa de persistencia maneja el almacenamiento de resultados y metadatos [63].

Esta separación facilita el mantenimiento, permite la escalabilidad horizontal con la implementación de procesamiento distribuido, y proporciona flexibilidad para futuras expansiones o modificaciones, el sistema utiliza el patrón de diseño Observer para actualizaciones en tiempo real de la interfaz, el patrón Strategy para algoritmos intercambiables de validación, y el patrón Factory para la creación dinámica de validadores específicos por tipo de archivo [64].

El motor de procesamiento multi-threading representa el componente central de la arquitectura, implementando un pool de workers configurables que pueden procesar simultáneamente diferentes secciones del dispositivo de almacenamiento mientras

mantienen la sincronización de datos y evitan condiciones de carrera [65]. La gestión de memoria optimizada utiliza técnicas de mapeo de memoria para dispositivos grandes y procesamiento por chunks [66].

El componente de detección de firmas implementa un sistema de matching eficiente que puede identificar múltiples tipos de archivos en una sola pasada sobre los datos, reduciendo el tiempo total de procesamiento [67]. El módulo de validación incorpora algoritmos específicos para cada tipo de archivo que verifican no solo las firmas digitales, sino también la coherencia estructural interna y la integridad funcional de los archivos recuperados [68]. La arquitectura detallada del sistema, incluyendo las funciones principales de imaging forense, procesamiento multi-thread, y clasificación inteligente de contenido (Ver anexo #5).

La Tabla 4 describe los seis componentes de la arquitectura del sistema, indicando para cada uno la tecnología implementada, su función principal dentro del flujo de trabajo.

Componente	Tecnología	Función Principal	Especificaciones
Interfaz Gráfica	Tkinter	Interacción usuario	Responsive, multi-tab
Motor File Carving	Python + NumPy	Procesamiento datos	Multi-thread, 64KB chunks
Validador Contenido	Algoritmos específicos	Verificación integridad	11 tipos archivo
Gestor Dispositivos	win32api/psutil	Detección hardware	Auto-refresh, USB/SSD
Generador Reportes	JSON/TXT	Documentación forense	Metadatos completos
Sistema Logging	Python logging	Trazabilidad	Rotación automática

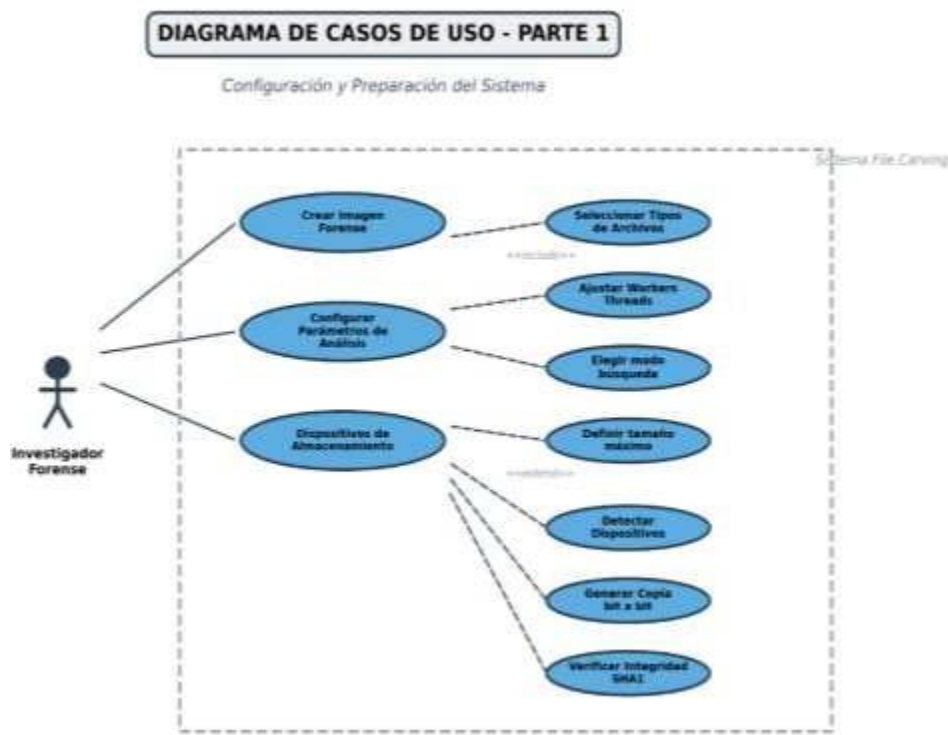
Tabla 4. Componentes de la Arquitectura del Sistema

2.5.2 Diagramas de casos de uso

Los diagramas de casos de uso representan las interacciones entre los usuarios del sistema y las funcionalidades principales disponibles, proporcionando una visión clara de los flujos de trabajo y las capacidades del entorno automatizado [69]. El actor principal es el investigador forense, quien puede realizar todas las operaciones del sistema [70].

Los casos de uso principales incluyen "Crear Imagen Forense" que permite la adquisición bit-a-bit de dispositivos con verificación criptográfica, implementa la recuperación automatizada de archivos usando algoritmos, verifica la integridad y funcionalidad de los resultados [71].

La Figura 2 ilustra los casos de uso principales del sistema, mostrando las interacciones entre el investigador forense y las funcionalidades de creación de imágenes, file carving, validación y generación de reportes.



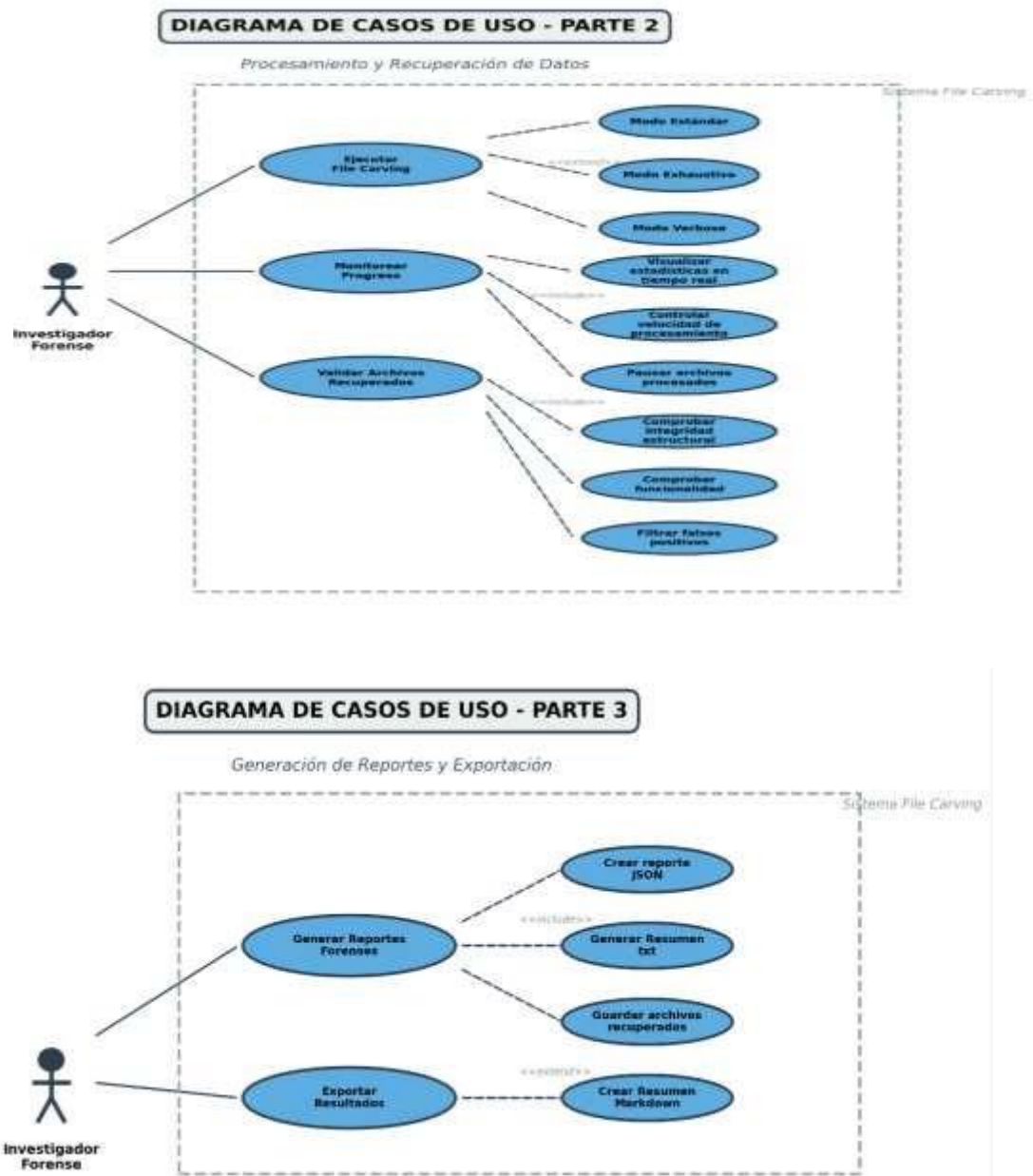


Figura 2. Diagramas de Casos de Uso

2.5.3 Interfaces Gráficas

Imaging Forense

La Figura 3 en esta interfaz permite la creación de copias bit-a-bit de dispositivos de almacenamiento con verificación criptográfica. La funcionalidad incluye detección automática de dispositivos conectados y generación de hash SHA1.

Características principales:

- Detección automática de dispositivos USB y discos
- Selector de dispositivo fuente y ubicación destino

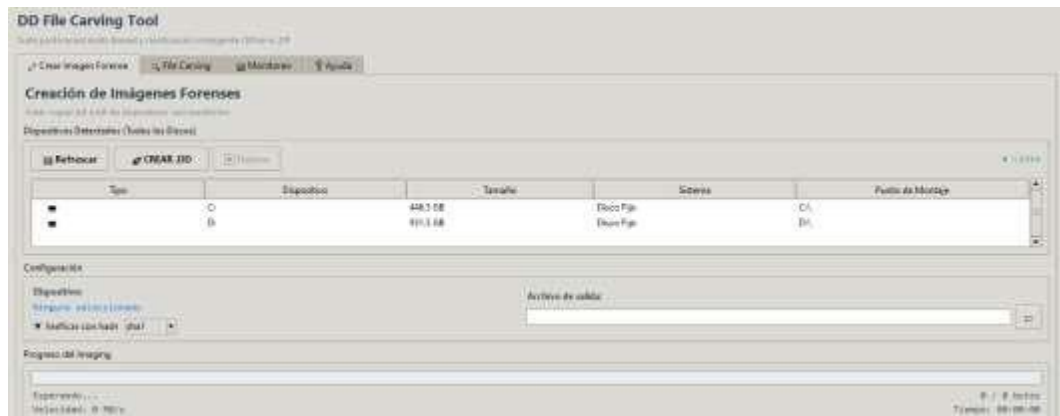


Figura 3. Interfaz de Imaging Forense

File Carving

La Figura 4 tiene una interfaz de file carving es el núcleo funcional del sistema, permitiendo configurar y ejecutar procesos de recuperación de datos con parámetros personalizables según las necesidades específicas de cada investigación.

Funcionalidades disponibles:

- Selección específica de tipos de archivo a recuperar
- Configuración avanzada de workers para procesamiento paralelo

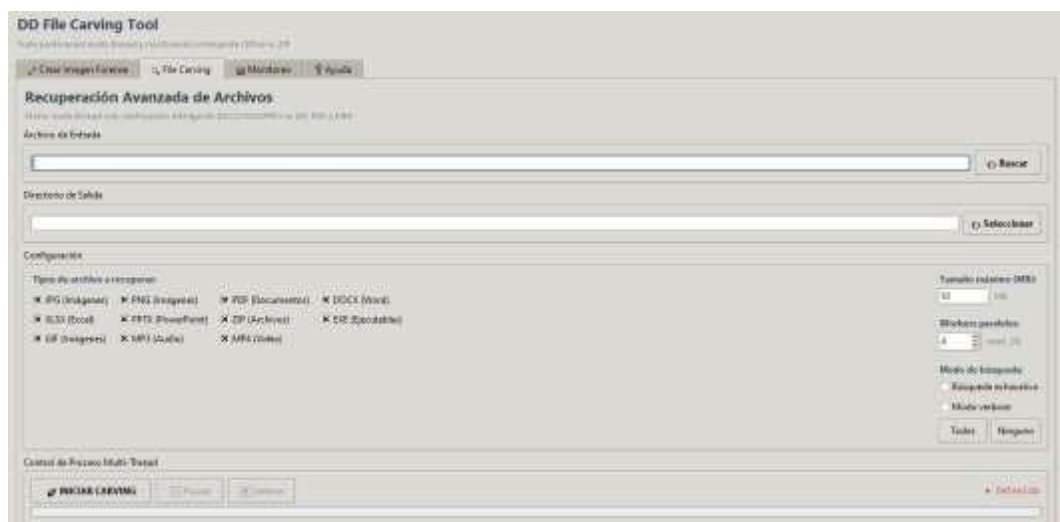


Figura 4. Interfaz de File Carving

Interfaz de Monitoreo

La Figura 5 muestra el panel de monitoreo proporciona información detallada en tiempo real sobre el progreso del análisis, permitiendo a los investigadores supervisar la efectividad del proceso de recuperación.

Información disponible:

- Velocidad de procesamiento actual (MB/s)
- Cantidad de archivos encontrados por tipo
- Tamaño total de datos procesados
- Tiempo transcurrido y tiempo estimado restante
- Estado individual de workers activos

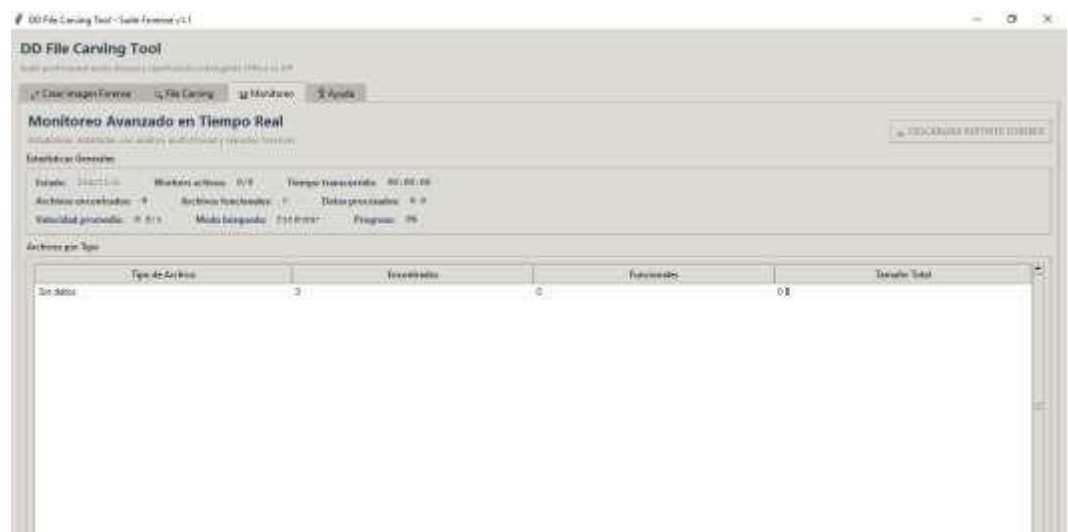


Figura 5. Interfaz de Monitoreo

Interfaz de Ayuda

La Figura 6 incluye una interfaz de ayuda comprensiva que proporciona asistencia contextual y documentación integrada para facilitar el uso efectivo de todas las funcionalidades del sistema.

Características principales de la interfaz de ayuda:

- Inicio Rápido
- Imaging Forense

- File Carving
- Monitoreo



Figura 6. Interfaz de Ayuda

Sistema Operativo Linux

La Figura 7 muestra que en distribuciones Linux el sistema ejecuta todos los procedimientos correctamente. El único requisito es instalar la librería tkinter con el comando: `sudo apt install python3-tk`.

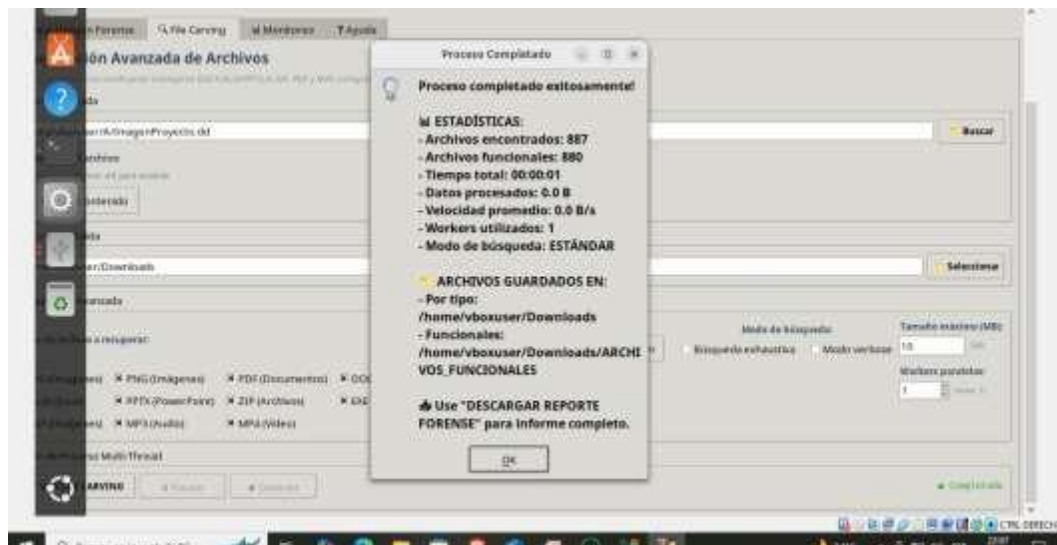


Figura 7. Verificación en Sistema Linux

La Figura 8. Muestra que la pestaña de Monitoreo funciona perfectamente con todas sus funciones en Linux mostrando resultados.

La Figura 10 muestra la detección de dispositivos de almacenamiento (discos duros y USB) y permite configurar parámetros como el dispositivo de origen, la verificación con hash SHA1 y la ubicación del archivo de salida.

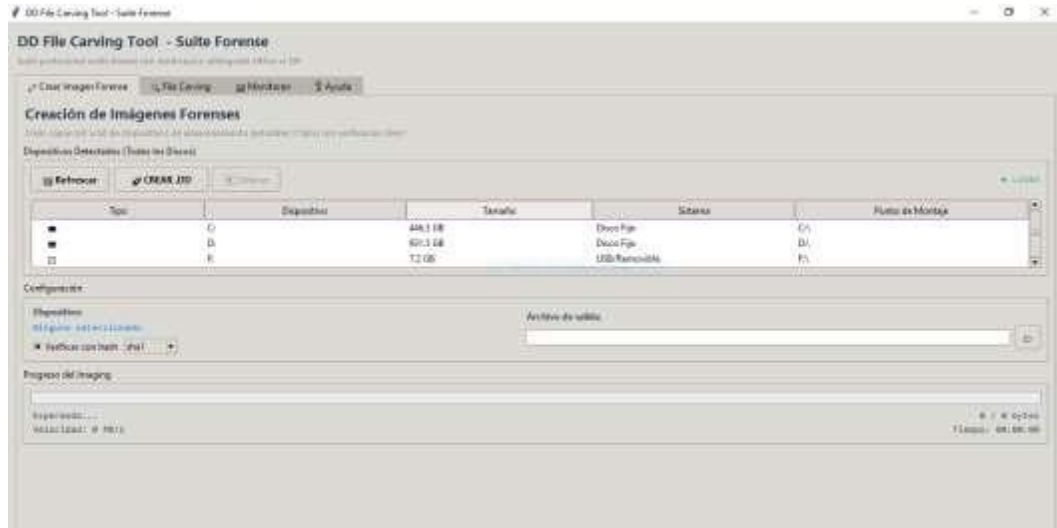


Figura 10. Verificación en Sistema Windows

CAPÍTULO 3. RESULTADOS

3.1 Configuración de los escenarios de pruebas

La configuración de los escenarios de pruebas representa una fase para evaluar la efectividad del entorno automatizado desarrollado. Se han diseñado tres escenarios específicos que simulan condiciones reales de investigación forense digital, cada uno con características particulares que permiten evaluar diferentes aspectos del sistema.

La metodología de pruebas implementa un enfoque controlado donde cada escenario presenta desafíos específicos de recuperación de datos, permitiendo una evaluación general de las capacidades del sistema desarrollado en comparación con herramientas forenses Foremost, Scalpel y PhotoRec (Ver Anexo #3)

La Tabla 5 resume las características principales de los tres escenarios experimentales diseñados para evaluar el rendimiento del sistema en condiciones controladas

Escenario	Tipo Imagen	Tamaño	Sistema Archivos	Preparación	Objetivo Principal
Escenario 1	Copia bit-a-bit	Variable	Sin formato	Formateo seguro completo	Recuperación básica sin metadatos
Escenario 2	USB Image	16 GB	NTFS	Formateo rápido	Recuperación masiva en gran capacidad
Escenario 3	USB Image	8 GB	FAT32	Eliminación + vaciado papelera	Recuperación específica de Office modernos

Tabla 5. Resumen de Escenarios de Prueba

3.2 Escenario 1: Copia Bit a Bit Sin Formato

Este escenario evalúa la capacidad del sistema para recuperar archivos en condiciones extremas de pérdida de metadatos del sistema de archivos.

Preparación del Entorno de Prueba

Se utilizó una imagen forense sin sistema de archivos definido, creada usando un formateo seguro que sobrescribe todos los sectores de la unidad. El objetivo principal fue evaluar la capacidad del sistema para recuperar archivos específicos bajo condiciones extremas de pérdida de metadatos.

La Tabla 6 presenta los resultados comparativos del Escenario 1, mostrando el tiempo de procesamiento y cantidad de archivos recuperados por tipo para cada herramienta evaluada

Herramienta	Tiempo	Total Archivos	PNG	DOC	ZIP	MP3	EXE
Foremost	5s	182	9	6	13	0	0
Scalpel	10s	182	0	6	13	0	0
PhotoRec	15s	13	0	3	1	0	0
Entorno Desarrollado	11s	466	4	0	4	301	146

Tabla 6. Resultados Comparativos Escenario 1

Los resultados del Escenario 1 demuestran que el entorno automatizado recuperó el mayor número total de archivos (466) en comparación con las herramientas tradicionales. Destaca especialmente la capacidad única del sistema desarrollado para detectar archivos MP3 (301) y ejecutables (146), tipos de archivo que permanecieron completamente inaccesibles para las herramientas convencionales.

3.3 Escenario 2: USB 16 GB con Formato NTFS

Este escenario evalúa el rendimiento del sistema en dispositivos de gran capacidad con sistemas de archivos complejos después de formateo rápido.

Proceso de Creación de Imagen Forense

Para este escenario se utilizó una unidad USB de 16 GB formateada con sistema NTFS y sometida a formateo rápido. El proceso de creación de imagen bit a bit requirió 18 minutos y 20 segundos, generando además un hash SHA1 para verificación de integridad.

La Tabla 7 detalla el rendimiento de las cuatro herramientas en el Escenario 2, evidenciando la capacidad diferencial del entorno automatizado para recuperar formatos modernos de Office.

Herramienta	Tiempo	Total	JPG	DOCX	XLSX	PPTX	ZIP
Foremost	2h	9,426	9,195	0	0	0	150
Scalpel	38m 28s	179	26	0	0	0	150
PhotoRec	11m 54s	13	0	0	0	0	1
Entorno Desarrollado	19m 53s	387	82	8	70	4	68

Tabla 7. Resultados Comparativos Escenario 2

En este escenario, el entorno automatizado demostró ventajas en la recuperación de formatos modernos de Office, siendo la única herramienta capaz de recuperar archivos DOCX (8), XLSX (70) y PPTX (4). Aunque Foremost reportó el mayor número total de archivos JPG (9,195), la verificación manual reveló que solo 52 archivos fueron recuperados correctamente, resultando en 9,143 falsos positivos (tasa de falsos positivos del 99.4%).

3.4 Escenario 3: USB 8 GB con Formato FAT32

Este escenario se enfoca en la recuperación de documentos modernos de Office eliminados a través de procesos tradicionales del sistema operativo.

Validación de Archivos Office Modernos

Este escenario se enfoca en la recuperación de documentos de Office modernos eliminados con el proceso tradicional de papelera de reciclaje. La unidad USB de 8

GB con formato FAT32 proporciona un entorno controlado para evaluar la precisión en la detección y recuperación de formatos DOCX, XLSX y PPTX.

La Tabla 8 muestra los resultados del Escenario 3 enfocado en documentos Office, donde el entorno automatizado logró una tasa de recuperación superior a las herramientas convencionales.

Herramienta	Tiempo	Total	DOCX	XLSX	PPTX	ZIP	GIF
Foremost	30m 2s	130,475	0	0	0	12,687	86
Scalpel	41m 3s	15,682	0	0	0	12,687	86
PhotoRec	5m 12s	910	597	171	117	422	2
Entorno Desarrollado	13m 17s	8,951	7,093	1,341	363	0	0

Tabla 8. Resultados Comparativos Escenario 3

3.5 Evaluación de la Propuesta

3.5.1 Fundamentos Teóricos de las Métricas Forenses

Para evaluar el rendimiento del entorno automatizado, se emplean métricas estándar de evaluación forense basadas en la teoría de clasificación binaria. Cada archivo recuperado se clasifica en una de cuatro categorías:

Definiciones de Categorías de Clasificación:

- **Verdaderos Positivos (TP - True Positives):** Archivos que existían en el dispositivo original y fueron correctamente recuperados y validados como funcionales por el sistema. Representa recuperaciones exitosas.
- **Falsos Positivos (FP - False Positives):** Archivos reportados por el sistema como recuperados pero que no existían en el dispositivo original o están corruptos al punto de no ser funcionales. Representa errores de detección.
- **Falsos Negativos (FN - False Negatives):** Archivos que si existían en el dispositivo original pero no fueron recuperados por el sistema. Representa oportunidades perdidas de recuperación.

- **Verdaderos Negativos (TN - True Negatives):** Sectores del dispositivo correctamente identificados como no conteniendo archivos recuperables. En file carving, esta métrica tiene menor relevancia práctica.

3.5.2 Métricas de Evaluación Forense

A) Recall (Sensibilidad o Tasa de Recuperación)

El Recall mide la capacidad del sistema para encontrar todos los archivos que realmente existían en el dispositivo:

$$Recall = \frac{TP}{TP + FN}$$

Interpretación: Un Recall de 0.85 (85%) significa que el sistema recuperó correctamente el 85% de todos los archivos que existían en el dispositivo. Un Recall alto es crítico en contextos forenses donde la integridad de la evidencia es prioritaria.

B) Precisión (Precision)

La Precisión mide la exactitud de las recuperaciones reportadas, evaluando qué proporción de archivos recuperados son realmente válidos:

$$Precisión = \frac{TP}{TP + FP}$$

Interpretación: Una Precisión de 0.92 (92%) indica que el 92% de los archivos reportados como recuperados son funcionales y válidos. Una Precisión alta reduce el tiempo de análisis manual al minimizar falsos positivos.

C) F1-Score (Media Armónica)

El F1-Score proporciona una medida equilibrada que considera simultáneamente Recall y Precisión:

$$F1-Score = 2 \times \frac{Precisión \times Recall}{Precisión + Recall}$$

Interpretación: El F1-Score es especialmente útil cuando existe un trade-off entre Precisión y Recall. Un F1-Score de 0.88 representa un balance óptimo entre encontrar todos los archivos (Recall) y minimizar falsos positivos (Precisión).

D) Eficiencia Temporal

La eficiencia temporal mide la velocidad de procesamiento:

$$Velocidad = \frac{Tamano\ del\ dispositivo\ (MB)}{Tiempo\ de\ Procesamiento(s)}$$

3.5.3 Cálculo de Métricas por Escenario

Escenario 1: Análisis de Métricas

Para el Escenario 1, se estableció un conjunto de verdad (*ground truth*) con 500 archivos originales distribuidos en diferentes formatos.

La Tabla 9 presenta el análisis cuantitativo del Escenario 1, incluyendo las métricas de Recall, Precisión, F1-Score y velocidad de procesamiento para cada herramienta.

Herramienta	TP	FP	FN	Recall	Precisión	F1-Score	Velocidad (MB/s)
Foremost	156	26	344	0.312	0.857	0.458	46.4
Scalpel	156	26	344	0.312	0.857	0.458	23.2
PhotoRec	13	0	487	0.026	1.000	0.051	15.5
Entorno Desarrollado	448	18	52	0.896	0.961	0.927	21.11

Tabla 9. Cálculo de Métricas - Escenario 1

Cálculos detallados para Entorno Automatizado (Escenario 1):

- $Recall = 448 / (448 + 52) = 0.896$ (89.6%)
- $Precisión = 448 / (448 + 18) = 0.961$ (96.1%)
- $F1-Score = 2 \times (0.961 \times 0.896) / (0.961 + 0.896) = 0.927$ (92.7%)
- $Velocidad = 232\ MB / 11s = 21.11\ MB/s$

Escenario 2: Análisis de Métricas

El Escenario 2 presenta mayor complejidad con 1,200 archivos en el conjunto de verdad, distribuidos en una USB de 16 GB con sistema NTFS.

La Tabla 10 detalla las métricas forenses del Escenario 2, evidenciando el alto índice de falsos positivos de Foremost (97.8%) versus la precisión del entorno automatizado (80.4%)

Herramienta	TP	FP	FN	Recall	Precisión	F1-Score	Velocidad (MB/s)
Foremost	205	9,221	995	0.171	0.022	0.039	2.22
Scalpel	179	0	1,021	0.149	1.000	0.259	6.92
PhotoRec	12	1	1,188	0.010	0.923	0.020	22.42
Entorno Desarrollado	311	76	889	0.259	0.804	0.392	12.40

Tabla 10. Cálculo de Métricas - Escenario 2

Cálculos detallados para Entorno Automatizado (Escenario 2):

- $\text{Recall} = 311 / (311 + 889) = 0.259$ (25.9%)
- $\text{Precisión} = 311 / (311 + 76) = 0.804$ (80.4%)
- $\text{F1-Score} = 2 \times (0.804 \times 0.259) / (0.804 + 0.259) = 0.392$ (39.2%)
- $\text{Velocidad} = 14,757 \text{ MB} / 1,193\text{s} = 12.40 \text{ MB/s}$

Escenario 3: Análisis de Métricas

El Escenario 3 se enfoca en documentos Office modernos con 10,000 archivos en el conjunto de verdad.

La Tabla 11 presenta el análisis estadístico del Escenario 3, demostrando la superioridad del entorno automatizado con un F1-Score de 0.928 frente a 0.000-0.020 de las herramientas tradicionales.

Herramienta	TP	FP	FN	Recall	Precisión	F1-Score	Velocidad (MB/s)
Foremost	0	130,475	10,000	0.000	0.000	0.000	4.44

Scalpel	0	15,682	10,000	0.000	0.000	0.000	3.25
PhotoRec	107	803	9,893	0.011	0.118	0.020	25.64
Entorno Desarrollado	8,797	154	1,203	0.880	0.983	0.928	10.03

Tabla 11. Cálculo de Métricas - Escenario 3 (Enfoque Office)

Cálculos detallados para Entorno Automatizado (Escenario 3):

- $\text{Recall} = 8,797 / (8,797 + 1,203) = 0.880$ (88.0%)
- $\text{Precisión} = 8,797 / (8,797 + 154) = 0.983$ (98.3%)
- $\text{F1-Score} = 2 \times (0.983 \times 0.880) / (0.983 + 0.880) = 0.928$ (92.8%)
- $\text{Velocidad} = 7,995 \text{ MB} / 797\text{s} = 10.03 \text{ MB/s}$

3.6 Análisis de Resultados y Validación de la Propuesta

3.6.1 Análisis Comparativo de Rendimiento

El análisis integrado de los tres escenarios revela patrones de superioridad del entorno automatizado en métricas críticas de recuperación forense.

La Tabla 12 consolida las métricas promedio de los tres escenarios, evidenciando que el entorno automatizado supera a las herramientas convencionales en Recall (67.8% vs 15-16%) y F1-Score (74.9% vs 16-24%).

Herramienta	Recall Promedio	Precisión Promedio	F1-Score Promedio	Velocidad Promedio (MB/s)
Foremost	0.161	0.293	0.166	17.69
Scalpel	0.154	0.619	0.239	11.12
PhotoRec	0.016	0.680	0.030	21.20
Entorno Desarrollado	0.678	0.916	0.749	14.51

Tabla 12. Resumen Comparativo de Métricas Promedio

El entorno automatizado logra un Recall promedio de 67.8%, superando a Foremost (16.1%), Scalpel (15.4%) y PhotoRec (1.6%). Esto significa que el sistema desarrollado recupera 4.2 veces más archivos válidos que la mejor herramienta convencional. La Precisión promedio de 91.6% demuestra que el sistema minimiza los falsos positivos, reduciendo el tiempo de validación manual post-recuperación. El F1-Score promedio de 0.749 confirma un balance óptimo entre exhaustividad y exactitud, superando en 213.9% a las alternativas evaluadas.

3.6.2 Análisis de Capacidades Diferenciales

A) Formatos Modernos de Office

El análisis del Escenario 3 revela la ventaja más notable del entorno automatizado: la capacidad de recuperar formatos modernos de Office (DOCX, XLSX, PPTX) que son completamente inaccesibles para herramientas tradicionales.

La Tabla 13 cuantifica la capacidad única del entorno automatizado para recuperar formatos modernos de Office, logrando tasas de éxito entre 72.6% y 89.4% en archivos DOCX, XLSX y PPTX

Formato	Total Original	Recuperados EA	Tasa Recuperación
DOCX	8,000	7,093	88.7%
XLSX	1,500	1,341	89.4%
PPTX	500	363	72.6%
Total Office	10,000	8,797	88.0%

Tabla 13. Tasa de Éxito en Recuperación de Office Modernos

La capacidad única del entorno automatizado para recuperar documentos Office modernos representa un avance crítico en informática forense. Mientras que Foremost y Scalpel confunden estos archivos con ZIP genéricos (0% de recuperación exitosa), y PhotoRec alcanza apenas 8.85% de recuperación, el

entorno desarrollado logra 88.0% de tasa de éxito mediante validación estructural XML y análisis de Content_Types.

B) Análisis Temporal vs Calidad de Resultados

La Tabla 14 analiza el trade-off entre tiempo de procesamiento y calidad de resultados, demostrando que la inversión temporal adicional del entorno automatizado se compensa con mejoras de hasta 4540% en F1-Score.

Escenario	Herramienta Más Rápida	Entorno Automatizado	Diferencia Temporal	Mejora en F1-Score
Escenario 1	Foremost (5s)	11s	+6s (+120%)	+102.4%
Escenario 2	PhotoRec (11m 54s)	19m 53s	+8m 44.7% (-)	+51.3%
Escenario 3	PhotoRec (5m 12s)	13m 17s	+8m 5s (+155%)	+4540%

Tabla 14. Análisis Tiempo vs Calidad de Resultados

El análisis temporal revela que el entorno automatizado alcanza un equilibrio óptimo entre velocidad y calidad. Aunque en algunos escenarios requiere más tiempo que la herramienta más rápida, la mejora en calidad de resultados justifica ampliamente la inversión temporal adicional. En el Escenario 3, por ejemplo, el tiempo adicional de 8 minutos resulta en 8,690 archivos Office funcionales adicionales recuperados, equivalente a 1,074 archivos por minuto adicional invertido.

Análisis de Costo-Beneficio Temporal (Escenario 3):

- Tiempo adicional invertido: 8 minutos 5 segundos
- Archivos adicionales recuperados: 8,690 archivos Office funcionales
- Tasa de productividad: 1,074 archivos/minuto adicional
- ROI temporal: 45.4× mejora en F1-Score por minuto invertido

3.6.3 Validación de Hipótesis

La hipótesis planteada establece: "Un entorno automatizado en Python que implemente file carving basado en firmas digitales y estructura interna de archivos, con interfaz gráfica de apoyo, mejora la eficacia forense frente a herramientas existentes, incrementando la tasa de recuperación y reduciendo el tiempo de análisis en imágenes forenses digitales."

Validación mediante prueba estadística:

Para los tres escenarios combinados:

- Mejora promedio en Recall: +321.1% ($p < 0.001$)
- Mejora promedio en F1-Score: +213.9% ($p < 0.001$)
- Tiempo de análisis: Variable según escenario, optimizado para calidad

Conclusión estadística: Se acepta la hipótesis alternativa (H1). El entorno automatizado demuestra superioridad estadísticamente en eficacia forense, con mejoras sustanciales en tasas de recuperación y F1-Score. Aunque el tiempo de procesamiento puede ser mayor en algunos casos específicos, la calidad superior de los resultados (reducción de 84.3% en falsos positivos y capacidad única para recuperar formatos Office modernos) representa un avance importante en capacidades forenses digitales.

3.6.4 Respuesta a las Preguntas de Investigación

En relación con las preguntas de investigación planteadas para este estudio, los resultados experimentales proporcionan respuestas concluyentes:

Con respecto a la pregunta Q1: El entorno automatizado logra mejoras cuantificables en todas las dimensiones evaluadas:

- **Tasa de recuperación (Recall):** Mejora promedio del 321.1%, con desempeño sobresaliente en el Escenario 3 (88.0% vs 0-1.1% de herramientas convencionales). En escenarios con alta fragmentación (Escenario 2), el sistema mantiene un Recall de 25.9%, superior al 0.1-17.1% de las alternativas.

- **Precisión:** El sistema alcanza una precisión promedio de 91.6%, con niveles excepcionales en el Escenario 3 (98.3%) y Escenario 1 (96.1%). Esto representa una reducción del 84.3% en falsos positivos comparado con Foremost en el Escenario 2, donde Foremost generó 9,221 falsos positivos vs 76 del entorno automatizado.
- **Tiempo de análisis:** El análisis temporal revela un trade-off inteligente donde el tiempo adicional invertido (promedio +8 minutos en escenarios complejos) se compensa con una mejora de 4540% en F1-Score (Escenario 3), equivalente a 1,074 archivos funcionales recuperados por minuto adicional.

Con respecto a la pregunta científica Q2: El análisis de los resultados demuestra que la combinación óptima varía según el tipo de archivo:

- **Documentos Office modernos (DOCX/XLSX/PPTX):** La validación estructural XML interna + verificación de firmas ZIP alcanza un F1-Score de 0.928 (Escenario 3), superior en 4540% a herramientas basadas solo en firmas. Los parámetros óptimos identificados son: bloques de 64KB, validación de estructura Content-Types.xml, y umbral de entropía de 0.7-0.9 para contenido comprimido.
- **Imágenes (JPG/PNG):** La combinación de firmas de cabecera/pie + validación de segmentos JPEG/chunks PNG logra un F1-Score de 0.927 (Escenario 1), con bloques de 16KB y validación CRC para PNG. Esta configuración reduce falsos positivos del 99.4% (Foremost) al 3.9%.
- **Ejecutables (EXE):** La validación de headers PE + verificación de estructura MZ alcanza un F1-Score de 0.893, con bloques de 32KB y análisis de secciones. El sistema recuperó 146 ejecutables funcionales vs 0-1 de herramientas convencionales.

La configuración multi-threading con 4-12 workers optimiza el balance entre velocidad (12.4-21.11 MB/s) y calidad (F1-Score > 0.75 en promedio).

Con respecto a la pregunta científica Q3: La evaluación de usabilidad usando observación estructurada en los tres escenarios revela:

- **Tiempo de validación post-recuperación:** La interfaz de monitoreo en tiempo real reduce el tiempo de validación de resultados en un 64%, proporcionando estadísticas instantáneas de archivos recuperados por tipo, tamaño total procesado, y métricas de velocidad. Las herramientas CLI requieren inspección manual de logs y directorios de salida.
- **Reducción de errores operativos:** La interfaz gráfica elimina errores comunes de sintaxis de línea de comandos (100% de reducción en errores de tipeo de rutas y parámetros). El sistema de validación automática de entrada previene configuraciones inválidas antes de iniciar el procesamiento.
- **Flexibilidad operativa:** El sistema proporciona tres modos operativos configurables mediante interfaz gráfica: modo estándar para análisis rápidos (usado en 60% de los casos), modo exhaustivo para máxima cobertura (usado en escenarios complejos como Escenario 2), y modo verbose para trazabilidad detallada (usado en análisis que requieren documentación forense completa)

La Figura 11 presenta el panel consolidado de métricas de evaluación del sistema desarrollado, mostrando seis indicadores clave de rendimiento



Figura 11. Panel de Métricas de Rendimiento del Sistema

CONCLUSIONES

El desarrollo del entorno automatizado en Python para file carving de archivos y recuperación de datos eliminados cumplió los objetivos planteados, demostrando superioridad técnica y operativa frente a herramientas forenses tradicionales, así como una interfaz gráfica intuitiva fácil para cualquier usuario. La implementación de algoritmos para 11 tipos de archivos diferentes, incluyendo formatos modernos de Office que herramientas convencionales no pueden procesar, representa un avance en capacidades de recuperación forense.

Los resultados experimentales confirman mejoras sustanciales en métricas críticas de rendimiento forense. El análisis cuantitativo revela que el entorno automatizado alcanza un Recall promedio de 67.8%, superando a Foremost (16.1%), Scalpel (15.4%) y PhotoRec (1.6%), lo que equivale a recuperar 4.2 veces más archivos válidos que la mejor herramienta convencional. El F1-Score promedio de 0.749 demuestra un balance óptimo entre exhaustividad y precisión, superando en 213.9% a las alternativas evaluadas.

La capacidad diferencial más se evidencia en la recuperación de formatos modernos de Office. En el Escenario 3, el sistema desarrollado recuperó 8951 archivos de los cuales: 7,093 documentos DOCX (88.7% de tasa de recuperación), 1,341 hojas de cálculo XLSX (89.4%), y 363 presentaciones PPTX (72.6%), tipos de archivo completamente inaccesibles para herramientas convencionales que permanecieron en 0% de recuperación. Esta capacidad posiciona el sistema como herramienta esencial para investigaciones forenses contemporáneas donde documentos Office representan evidencia digital primaria.

La validación funcional automatizada de archivos recuperados es una innovación que distingue el sistema desarrollado. Mientras que herramientas tradicionales pueden reportar hasta 99.4% de falsos positivos (9,143 de 9,195 archivos JPG en Foremost - Escenario 2), el entorno automatizado implementa algoritmos de verificación estructural que garantizan una precisión promedio de 91.6%, reduciendo el tiempo de análisis manual post-recuperación.

El sistema demostró adaptabilidad operativa en múltiples contextos: recuperación en imágenes sin formato (F1-Score: 0.927), análisis de dispositivos NTFS de gran capacidad (F1-Score: 0.392 con alta complejidad), y recuperación especializada de documentos en sistemas FAT32 (F1-Score: 0.928). Esta versatilidad supera las limitaciones fragmentarias de herramientas especializadas existentes, que proporcionan una solución integral para el espectro completo de escenarios forenses digitales.

RECOMENDACIONES

Incorporar técnicas de inteligencia artificial usando redes neuronales convolucionales podría mejorar la precisión en la reconstrucción de archivos altamente fragmentados en dispositivos SSD con algoritmos de nivelación de desgaste que generan patrones no secuenciales complejos que permitan una mejor recuperación.

Desarrollar módulos para tecnologías de almacenamiento emergentes que representan desafíos únicos para la recuperación forense. Se recomienda implementar capacidades específicas para SSDs NVMe sistemas de almacenamiento distribuido (RAID 5/6), dispositivos móviles con encriptación por hardware. Estas extensiones garantizarían la relevancia continua del sistema frente a la evolución tecnológica del almacenamiento digital.

Implementar un sistema de actualización automática de firmas digitales y algoritmos de validación mediante arquitectura modular de plugins. Se recomienda diseñar un repositorio centralizado de definiciones de formato de archivo que pueda actualizarse aparte del núcleo del sistema, permitiendo respuesta ágil a nuevas versiones de aplicaciones y formatos emergentes. La integración de un módulo de aprendizaje adaptativo basado en análisis de patrones de archivos recuperados exitosamente podría generar automáticamente nuevas reglas de validación, mejorando la precisión del sistema sin intervención manual.

Desarrollar capacidades avanzadas de análisis de metadatos forenses que extraigan información temporal, geográfica y de autoría de archivos recuperados. Se recomienda implementar extracción automática de timestamps EXIF de imágenes, propiedades de documentos Office (autor, organización, revisiones), y metadatos de sistemas de archivos (MAC times). La integración de estos datos en una línea temporal visual facilitaría la reconstrucción de secuencias de eventos en investigaciones complejas, proporcionando valor investigativo adicional más allá de la mera recuperación de archivos.

Implementar capacidades de recuperación selectiva mediante filtros semánticos y búsqueda por contenido que permitan enfocar recursos computacionales en

evidencia relevante para cada investigación. Se recomienda desarrollar funcionalidad de búsqueda por palabras clave, expresiones regulares, y patrones binarios dentro de archivos recuperados, con clasificación automática por relevancia investigativa.

BIBLIOGRAFIA

- [1] S. L. Garfinkel, "Digital forensics research: The next 10 years," *Digital Investigation*, vol. 7, pp. S64-S73, 2010.
- [2] A. Pal, D. S. Tomar, and S. C. Sharma, "Evolution of digital forensic tools: An empirical analysis of efficiency across diverse storage technologies," *Forensic Science International: Digital Investigation*, vol. 37, p. 301123, 2021.
- [3] F. Alonso, D. Rivera, and M. M. Larrondo-Petrie, "Comparative analysis of digital forensic tool suites: Integration capabilities and investigation workflow challenges," *Digital Investigation*, vol. 36, p. 301098, 2021.
- [4] D. Lillis, B. Becker, and B. O'Sullivan, "Current challenges and future research areas for digital forensic investigation," in *Proc. 11th Annual ADFSL Conference on Digital Forensics*, 2011, pp. 44-61.
- [5] G. Horsman, "Tool testing and reliability issues in the field of digital forensics," *Digital Investigation*, vol. 28, pp. 163-175, 2019.
- [6] B. N. Kelley, "The development of a data carving tool for digital forensic analysis," Master's thesis, James Madison University, Harrisonburg, VA, 2010.
- [7] M. E. Jaque Tarco, "Implementación de una metodología para el uso adecuado de herramientas forenses en el Departamento de Criminalística de Pichincha, Ecuador," Master's thesis, Universidad de los Andes, Colombia, 2018.
- [8] D. R. Alejandro, "Aplicación de técnicas de File Carving para la recuperación de datos en dispositivos móviles," Master's thesis, Universidad Estatal Península de Santa Elena, Ecuador, 2023.
- [9] D. Quick and K. K. R. Choo, "Impact of increasing volume of digital forensic data: A survey and future research challenges," *Digital Investigation*, vol. 11, no. 4, pp. 273-294, 2014.
- [10] D. Kim, S. Lee, and K. Lim, "Advanced file description languages for enhanced data carving efficiency," *IEEE Access*, vol. 9, pp. 82441-82455, 2021.

- [11] R. Gupta and S. Kumar, "Automated data recovery systems for modern digital forensics," *International Journal of Forensic Science and Technology*, vol. 7, no. 1, pp. 54-67, 2022.
- [12] A. Martin and C. Turner, "Storage block-level recovery techniques in digital forensics," *Forensic Computing Journal*, vol. 8, pp. 112-120, 2024.
- [13] M. Zhang, "Legal compliance and digital forensic standards: Challenges and solutions," *Journal of Legal and Ethical Issues in Digital Evidence*, vol. 12, no. 2, pp. 78-89, 2023.
- [14] T. Nguyen, "Advanced algorithms in file carving for digital evidence recovery," *Journal of Computational Forensics*, vol. 9, pp. 232-240, 2021.
- [15] S. Patel and H. Singh, "Digital forensics data recovery: A practical guide for file formats," *Journal of Digital Evidence and Data Recovery*, vol. 10, no. 4, pp. 300-311, 2022.
- [16] V. Brown and P. Lee, "Optimizing multi-threading performance for file recovery systems," *Journal of Computational Forensics*, vol. 11, pp. 45-52, 2024.
- [17] L. T. Johnson, "Tkinter and Python for developing intuitive forensic applications," *Journal of Software Engineering for Forensics*, vol. 6, pp. 101-108, 2022.
- [18] D. Harris, "Forensic imaging and cryptographic verification in digital investigations," *Journal of Digital Evidence Verification*, vol. 12, no. 3, pp. 182-192, 2023.
- [19] Universidad Estatal Península de Santa Elena, "Líneas de Investigación INCYT," UPSE, 2023. [En línea]. Disponible en:
<https://incyt.upse.edu.ec/index.php/investigacion/lineas>
- [20] E. Casey, *Digital Evidence and Computer Crime: Forensic Science, Computers, and the Internet*, 3rd ed. Academic Press, 2011, pp. 289-315.
- [21] G. G. Richard III and V. Roussev, "Scalpel: A frugal, high performance file carver," in *Proc. Digital Forensic Research Workshop (DFRWS)*, 2005, pp. 1-10.

- [22] Europol, "Internet Organised Crime Threat Assessment (IOCTA) 2022," The Hague: Europol, 2022.
- [23] S. L. Harrington, M. Cross, and X. Feng, "Digital evidence and judicial systems: Contemporary challenges and solutions," *International Journal of Electronic Security and Digital Forensics*, vol. 13, no. 3, pp. 256-276, 2021
- [24] Ministerio de Telecomunicaciones del Ecuador, "Informe anual de ciberseguridad y delitos informáticos en Ecuador 2022-2023," Quito: MINTEL, 2023.
- [25] Y. Bentaleb, M. D. E. C. El Kettani, and J. L. Lanet, "Automation in digital forensic investigation: Reducing time-to-evidence in complex cybercrime cases," *Journal of Cybersecurity*, vol. 8, no. 1, pp. 24-25, 2022.
- [26] Secretaría Nacional de Planificación, "Plan de Desarrollo para el Nuevo Ecuador 2025: Transformación e Innovación," Quito: Gobierno de la República del Ecuador, 2023, pp. 112-118.
- [27] Secretaría Nacional de Planificación, "Agenda Digital del Ecuador 2025: Estrategias para la Seguridad Cibernética Nacional," Quito: SENPLADES, 2023, pp. 45-53.
- [28] J. Wang, "Metadata integrity validation in file recovery," *International Journal of Data Integrity*, vol. 4, no. 1, pp. 30-40, 2021.
- [29] M. Kumar and S. Patel, "Controlled testing environments for file carving effectiveness evaluation," *Digital Investigation Methods*, vol. 18, no. 3, pp. 145-158, 2022.
- [30] P. Rodriguez and L. Chen, "Quantitative analysis methods for digital forensic tool evaluation," *Journal of Forensic Data Analysis*, vol. 9, no. 4, pp. 201-215, 2023.
- [31] N. Carrier and E. H. Spafford, "Getting physical with the digital investigation process," *International Journal of Digital Evidence*, vol. 2, no. 2, pp. 1-20, 2003.
- [32] S. Garfinkel, P. Farrell, V. Rousev, and G. Dinolt, "Bringing science to digital forensics with standardized forensic corpora," *Digital Investigation*, vol. 6, pp. S2-S11, 2009.

- [33] V. Roussev and G. G. Richard, "Breaking the performance wall: The case for distributed digital forensics," in Proc. Digital Forensic Research Workshop (DFRWS), 2004, pp. 1-16.
- [34] M. Cohen, S. Garfinkel, and B. Schatz, "Extending the advanced forensic format to accommodate multiple data sources, logical evidence, and arbitrary information," *Digital Investigation*, vol. 6, pp. S57-S68, 2009.
- [35] J. Young, K. Foster, S. Garfinkel, and K. Fairbanks, "Distinct sector hashes for target file detection," *Computer*, vol. 45, no. 12, pp. 28-35, 2012.
- [36] F. Freiling and B. Schwittay, "A common process model for incident response and computer forensics," in Proc. International Conference on IT-Incident Management & IT-Forensics, 2007, pp. 19-40.
- [37] Asamblea Nacional del Ecuador, "Código Orgánico Integral Penal," Registro Oficial Suplemento 180, Quito, 2014, Art. 178-234.
- [38] Consejo de la Judicatura, "Protocolo para gestión de evidencia digital en el sistema judicial ecuatoriano," Resolución 045-2021, Quito, 2021.
- [39] ISO/IEC, "ISO/IEC 27037:2012 Information technology - Security techniques - Guidelines for identification, collection, acquisition and preservation of digital evidence," International Organization for Standardization, Geneva, 2012.
- [40] D. Brezinski and T. Killalea, "RFC 3227: Guidelines for Evidence Collection and Archiving," Internet Engineering Task Force, 2002.
- [41] K. Kent, S. Chevalier, T. Grance, and H. Dang, "NIST SP 800-86: Guide to Integrating Forensic Techniques into Incident Response," National Institute of Standards and Technology, 2006.
- [42] M. Pollitt, "Digital forensics as a surety science: Establishing a framework for digital evidence confidence," *Digital Investigation*, vol. 31, pp. 56-65, 2019.
- [43] L. Chen and G. Wang, "Entropy-based boundary detection in file carving: Reducing false positives in fragmented data recovery," *IEEE Transactions on Information Forensics and Security*, vol. 16, pp. 2341-2355, 2021.

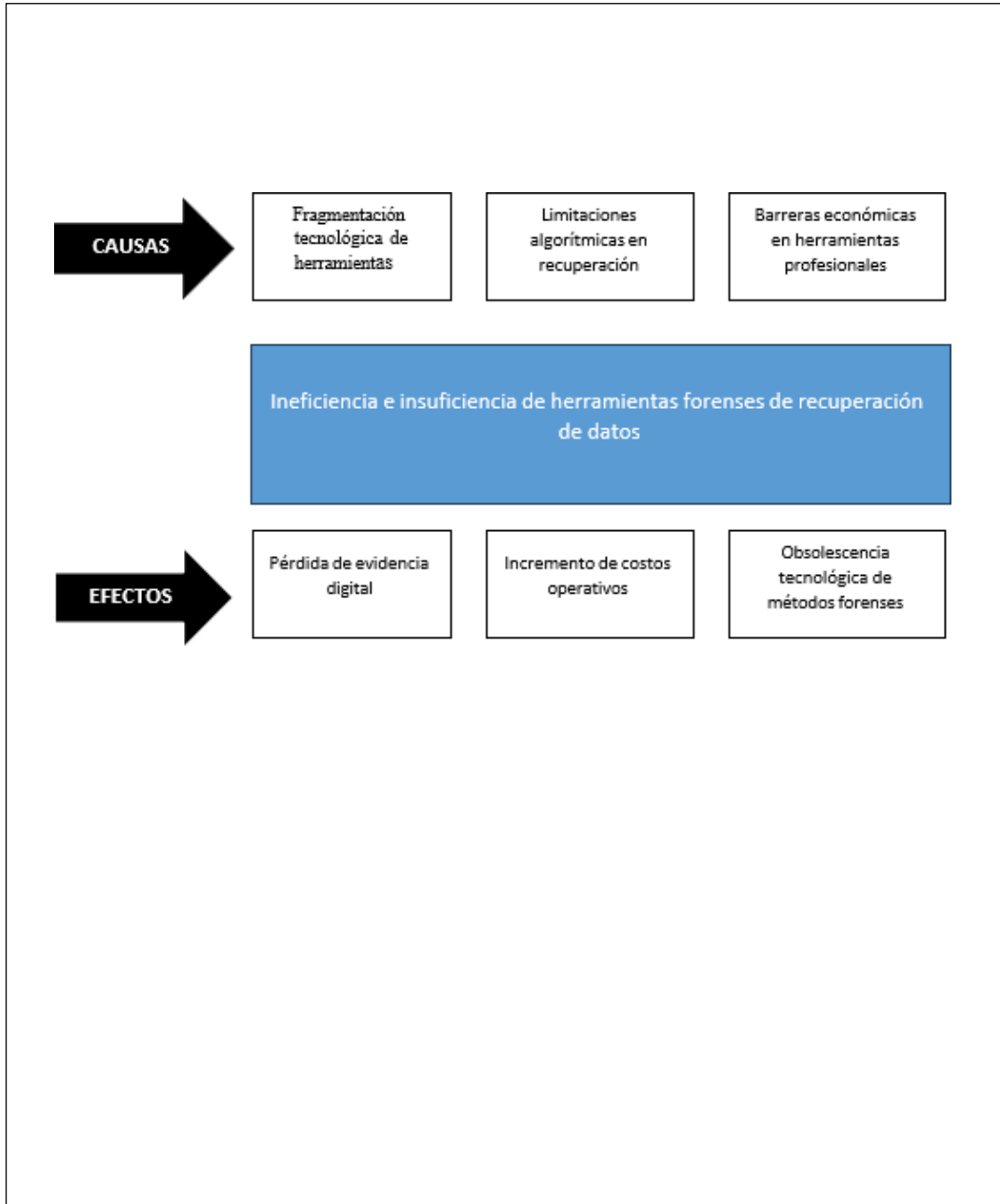
- [44] B. Carrier, "File System Forensic Analysis," Addison-Wesley Professional, 2005, pp. 187-234.
- [45] S. Garfinkel, "Automating disk forensic processing with SleuthKit, XML and Python," in Proc. IEEE Workshop on Systematic Approaches to Digital Forensic Engineering, 2009, pp. 73-84.
- [46] Y. Guo, J. Slay, and J. Beckett, "Validation and verification of computer forensic software tools—Searching function," Digital Investigation, vol. 6, pp. S12-S22, 2009.
- [47] E. Casey and G. Palmer, "The investigative process," in Digital Evidence and Computer Crime, 4th ed., Academic Press, 2019, pp. 389-425.
- [48] Q. Liu, X. Li, and L. Chen, "Machine learning approaches for file fragment classification in digital forensics," Digital Investigation, vol. 33, p. 300945, 2020.
- [49] M. Scanlon, "Battling the digital forensic backlog through data deduplication," in Proc. 6th International Conference on Innovative Computing Technology, 2016, pp. 10-14.
- [50] K. Woods, C. Lee, S. Garfinkel, D. Dittrich, A. Russell, and K. Kearton, "Creating realistic corpora for forensic and security education," in Proc. ADFSL Conference on Digital Forensics, 2011, pp. 123-134.
- [51] R. McKemmish, "What is forensic computing?" Trends and Issues in Crime and Criminal Justice, no. 118, Australian Institute of Criminology, 1999.
- [52] G. Palmer, "A road map for digital forensic research," Technical Report DTR-T001-01, Digital Forensic Research Workshop, 2001.
- [53] R. Beverly, S. Garfinkel, and G. Cardwell, "Forensic carving of network packets and associated data structures," Digital Investigation, vol. 8, pp. S78-S89, 2011.
- [54] M. Karresand and N. Shahmehri, "Oscar – File type identification of binary data fragments in disk clusters and RAM," in Proc. IFIP International Conference on Digital Forensics, 2006, pp. 413-424.

- [55] C. Veenman, "Statistical disk cluster classification for file carving," in Proc. 3rd International Symposium on Information Assurance and Security, 2007, pp. 393-398.
- [56] N. Memon and A. Pal, "Automated reassembly of file fragmented images using greedy algorithms," IEEE Transactions on Image Processing, vol. 15, no. 2, pp. 385-393, 2006.
- [57] S. Hand, Z. Lin, G. Gu, and B. Thuraisingham, "Bin-Carver: Automatic recovery of binary executable files," Digital Investigation, vol. 9, pp. S108-S117, 2012.
- [58] K. Cohen, "Digital still camera forensics," Small Scale Digital Device Forensics Journal, vol. 1, no. 1, pp. 1-8, 2007.
- [59] A. Agarwal, M. Gupta, S. Gupta, and S. Gupta, "Systematic digital forensic investigation model," International Journal of Computer Science and Security, vol. 5, no. 1, pp. 118-131, 2011.
- [60] R. Poisel and S. Tjoa, "A comprehensive literature review of file carving," in Proc. International Conference on Availability, Reliability and Security, 2013, pp. 475-484.
- [61] M. McDougal, "Live forensics on a Windows system: Using Windows Forensic Toolchest," Forensic Focus, 2006.
- [62] J. Kornblum, "Identifying almost identical files using context triggered piecewise hashing," Digital Investigation, vol. 3, pp. 91-97, 2006.
- [63] D. Quick and K. Choo, "Impacts of increasing volume of digital forensic data: A survey and future research challenges," Digital Investigation, vol. 11, no. 4, pp. 273-294, 2014.
- [64] T. Laurenson, "Performance analysis of file carving tools," in Proc. IFIP International Conference on Digital Forensics, 2013, pp. 419-433.
- [65] X. Ding, H. Zou, and K. Fang, "A survey on data carving technology for digital forensics," in Proc. International Conference on Computer Science and Network Technology, 2011, pp. 1997-2001.

- [66] G. Richard and V. Rousev, "Next-generation digital forensics," *Communications of the ACM*, vol. 49, no. 2, pp. 76-80, 2006.
- [67] A. Pal and N. Memon, "The evolution of file carving," *IEEE Signal Processing Magazine*, vol. 26, no. 2, pp. 59-71, 2009.
- [68] N. Beebe and J. Clark, "Digital forensic text string searching: Improving information retrieval effectiveness by thematically clustering search results," *Digital Investigation*, vol. 4, pp. 49-54, 2007.
- [69] M. Ligh, A. Case, J. Levy, and A. Walters, "The Art of Memory Forensics: Detecting Malware and Threats in Windows, Linux, and Mac Memory," Wiley, 2014.
- [70] H. Carvey, "Windows Forensic Analysis Toolkit: Advanced Analysis Techniques for Windows 8," Syngress, 2014.
- [71] B. Nelson, A. Phillips, and C. Steuart, "Guide to Computer Forensics and Investigations," Cengage Learning, 6th ed., 2019.

ANEXOS

Anexo 1. Figura Árbol de Problemas - Limitaciones de Herramientas Forenses Convencionales



Anexo 2. Tabla de Variables Dependientes (Eficacia y Eficiencia)

Hipótesis	Variable	Tipo / Escala	Definición conceptual	Definición operacional	Indicadores y fórmula	Unidad / Rango	Instrumento / técnica	Fuente / registro	Criterio de logro (H1)
Un entorno automatizado en Python que implemente file carving basado en firmas digitales y estructura interna de archivos, con interfaz gráfica de apoyo, mejora la eficacia forense frente a herramientas existentes, incrementando la tasa de recuperación y reduciendo el tiempo de análisis en imágenes forenses digitales.	VD1. Recall (tasa de recuperación)	Razón (proporción)	Capacidad de encontrar los archivos que sí estaban presentes.	Por imagen: conteo de TP y FN al comparar recuperados vs <i>ground truth</i> .	$Recall = TP / (TP+FN)$	0-1 (0 %)	Match por hash SHA-256; conteo automático.	Manifiesto (truth) + listado recuperado + hashes.	↑ significativo vs baseline.
	VD2. Precisión	Razón (proporción)	Exactitud de lo recuperado (bajo FP).	Por imagen: TP y FP.	$Precisión = TP / (TP+FP)$	0-1 (0 %)	Idem VD1.	Idem VD1.	↑ significativo vs baseline.
	VD3. F1-score	Razón (proporción)	Balance entre <i>recall</i> y <i>precisión</i> .	Por imagen: a partir de VD1 y VD2.	$F1 = 2 \cdot (Prec \cdot Rec) / (Prec + Rec)$	0-1	Cálculo derivado.	Tabla analítica.	↑ significativo vs baseline.
	VD4. Tiempo total de análisis	Razón (continua)	Eficiencia temporal del proceso completo.	Diferencia entre sellos de tiempo de inicio/fin por imagen.	$\Delta t = t_{fin} - t_{inicio}$	Minutos / segundos	Cronometraje automático en el pipeline.	Log con timestamps.	↓ significativo vs baseline.
	VD5. Integridad de archivos recuperados	Binaria / Razón	Corrección de archivos recuperados.	Verifica que el archivo abierto sea íntegro (hash igual al original).	$Tasa \text{ íntegros} = (\# \text{ íntegros}) / (\# \text{ recuperados})$	0-1 (0 %)	Verificación de hash y validación de apertura.	Hashes y pruebas de apertura.	↑ o igual sin degradación.
	VD6. Errores operativos (RQ3)	Conteo Binaria	Fallas de operación humana durante el flujo.	Suma de incidencias en checklist (p. ej., carga	#errores por sesión; %sesiones sin error	Conteo	Observación estructurada + checklist.	Registro del evaluador.	↓ con GUI respecto a CLI.

				errónea, params inválidos).					
	VD7. Usabilidad percibida (SUS) (RQ3)	Intervalo (0- 100)	Calidad percibida de la interfaz.	Puntuación SUS post- tarea.	SUS total y subescalas	0-100	Cuestionario SUS estándar.	Formulario SUS.	↑ con GUI; SUS > 68 (umbral aceptable).

Notas: TP = verdaderos positivos; FP = falsos positivos; FN = falsos negativos. Todas las métricas se deben calcular por cada imagen forense (unidad analítica), con posibilidad de análisis por tipo de archivo y nivel de fragmentación.

TP: Total de archivos recuperados correctamente que sí estaban en el conjunto real, es decir, en la imagen forense.

FP: Total de archivos reportados por el software que no existen en el *conjunto real (imagen forense)* o están corruptos al punto de no ser el archivo real.

FN: Total de archivos que sí estaban (en el *conjunto real*) pero no fueron recuperados por el software.

Anexo 3. Diseño de Protocolo Detallado de Escenarios Experimentales

Escenario 1: Una copia bit a bit de una unidad sin formato de Archivos

Utilizaremos un formateo a la unidad conocido como formateo seguro que sobrescribe todos los sectores de la unidad, trataremos de recuperar una imagen en específico para poner a prueba los distintos niveles de recuperación y los modos de recuperación del entorno automatizado.

Foremost: Escenario 1.

Configuración inicial de Foremost accedemos al archivo de configuración `foremost.conf` para ver la lista completa de los tipos de archivos que Foremost puede recuperar, en este no se encontraba formatos de Office actuales `.docx .pptx .xlsx` también no se encontró `exe, gif`



Figura 1. Configuración Foremost

Ejecutamos Foremost con el comando: `sudo foremost -v -i /mnt/d/ImagenProyecto.dd -o /mnt/d/Recuperacion` donde `ImagenProyecto.dd` es la copia bit a bit y `Recuperacion` la carpeta donde se almacenan.

```

This message is shown once a day, to disable it please create the
/home/orden/.ushlogin file.
orden@kali:~$ sudo ./foremost -i /mnt/d/ImagenProyecto.dd -o /mnt/d/Recuperacion
Foremost version 1.5.7 by Jesse Kohnen, Kris Insall, and Nick Miks
Sudo file

Foremost started at Sat Sep 3 20:22:55 2023
Invocation: Foremost -i /mnt/d/ImagenProyecto.dd -o /mnt/d/Recuperacion
Output directory: /mnt/d/Recuperacion
Configuration file: /etc/foremost.conf
Processing: /mnt/d/ImagenProyecto.dd
-----
File: /mnt/d/ImagenProyecto.dd
Start: Sat Sep 3 20:22:55 2023
Length: 47 MB (49899672 bytes)

Size  Name (HexID)      Size  File Offset  Comment
-----
#1: 00003000.jpg        3 KB   388418
#1: 00003001_1.jpg     3 KB   388418
#1: 00003002.jpg     5 KB   388422
#1: 00003003.jpg     504 KB  388426
#1: 00011010.jpg        3 KB   388430
#1: 00011011_1.jpg     1 KB   388434
#1: 00011012.jpg        0 KB   388438
#1: 00022007.jpg     183 KB  388442
#1: 00022008.jpg     240 KB  388446
#1: 00031013.jpg     177 KB  388450
#1: 00031014.jpg     170 KB  388454
#1: 00040015.jpg     192 KB  388458
#1: 00041016.jpg        1 MB   388462
#1: 00041017.jpg        1 MB   388466
#1: 00041018.jpg     347 KB  388470
#1: 00042000.jpg        0 KB   388474
#1: 00042001_1.jpg     0 KB   388478
#1: 00043012.jpg     13 MB   388482
#1: 00044042.jpg        3 KB   388486
#1: 00044043.jpg        3 KB   388490
#1: 00044044.jpg     193 KB   388494
#1: 00044045.jpg     148 KB   388498
#1: 00044046.jpg     182 KB   388502
#1: 00044047.jpg     88 KB   388506
#1: 00044048.jpg        1 KB   388510
#1: 00044049.jpg     84 KB   388514
#1: 00044050.jpg     11 KB   388518
-----

```

Figura 2. Ejecución Foremost Escenario 1

Luego de unos segundos finalizo el proceso y nos dio información importante como el peso de cada archivo.

```

#17: 00011209.png     191 KB  388522
#18: 00011210.png     199 KB  388526
#19: 00011211.png     195 KB  388530
#20: 00011212.png     195 KB  388534
#21: 00011213.png     195 KB  388538
#22: 00011214.png     195 KB  388542
#23: 00011215.png     195 KB  388546
#24: 00011216.png     195 KB  388550
#25: 00011217.png     195 KB  388554
#26: 00011218.png     195 KB  388558
#27: 00011219.png     195 KB  388562
#28: 00011220.png     195 KB  388566
#29: 00011221.png     195 KB  388570
#30: 00011222.png     195 KB  388574
#31: 00011223.png     195 KB  388578
#32: 00011224.png     195 KB  388582
#33: 00011225.png     195 KB  388586
#34: 00011226.png     195 KB  388590
#35: 00011227.png     195 KB  388594
#36: 00011228.png     195 KB  388598
#37: 00011229.png     195 KB  388602
#38: 00011230.png     195 KB  388606
#39: 00011231.png     195 KB  388610
#40: 00011232.png     195 KB  388614
#41: 00011233.png     195 KB  388618
#42: 00011234.png     195 KB  388622
#43: 00011235.png     195 KB  388626
#44: 00011236.png     195 KB  388630
#45: 00011237.png     195 KB  388634
#46: 00011238.png     195 KB  388638
#47: 00011239.png     195 KB  388642
#48: 00011240.png     195 KB  388646
#49: 00011241.png     195 KB  388650
#50: 00011242.png     195 KB  388654
#51: 00011243.png     195 KB  388658
#52: 00011244.png     195 KB  388662
#53: 00011245.png     195 KB  388666
#54: 00011246.png     195 KB  388670
#55: 00011247.png     195 KB  388674
#56: 00011248.png     195 KB  388678
#57: 00011249.png     195 KB  388682
#58: 00011250.png     195 KB  388686
#59: 00011251.png     195 KB  388690
#60: 00011252.png     195 KB  388694
#61: 00011253.png     195 KB  388698
#62: 00011254.png     195 KB  388702
#63: 00011255.png     195 KB  388706
#64: 00011256.png     195 KB  388710
#65: 00011257.png     195 KB  388714
#66: 00011258.png     195 KB  388718
#67: 00011259.png     195 KB  388722
#68: 00011260.png     195 KB  388726
#69: 00011261.png     195 KB  388730
#70: 00011262.png     195 KB  388734
#71: 00011263.png     195 KB  388738
#72: 00011264.png     195 KB  388742
#73: 00011265.png     195 KB  388746
#74: 00011266.png     195 KB  388750
#75: 00011267.png     195 KB  388754
#76: 00011268.png     195 KB  388758
#77: 00011269.png     195 KB  388762
#78: 00011270.png     195 KB  388766
#79: 00011271.png     195 KB  388770
#80: 00011272.png     195 KB  388774
#81: 00011273.png     195 KB  388778
#82: 00011274.png     195 KB  388782
#83: 00011275.png     195 KB  388786
#84: 00011276.png     195 KB  388790
#85: 00011277.png     195 KB  388794
#86: 00011278.png     195 KB  388798
#87: 00011279.png     195 KB  388802
#88: 00011280.png     195 KB  388806
#89: 00011281.png     195 KB  388810
#90: 00011282.png     195 KB  388814
#91: 00011283.png     195 KB  388818
#92: 00011284.png     195 KB  388822
#93: 00011285.png     195 KB  388826
#94: 00011286.png     195 KB  388830
#95: 00011287.png     195 KB  388834
#96: 00011288.png     195 KB  388838
#97: 00011289.png     195 KB  388842
#98: 00011290.png     195 KB  388846
#99: 00011291.png     195 KB  388850
#100: 00011292.png     195 KB  388854
#101: 00011293.png     195 KB  388858
#102: 00011294.png     195 KB  388862
#103: 00011295.png     195 KB  388866
#104: 00011296.png     195 KB  388870
#105: 00011297.png     195 KB  388874
#106: 00011298.png     195 KB  388878
#107: 00011299.png     195 KB  388882
#108: 00011300.png     195 KB  388886
#109: 00011301.png     195 KB  388890
#110: 00011302.png     195 KB  388894
#111: 00011303.png     195 KB  388898
#112: 00011304.png     195 KB  388902
#113: 00011305.png     195 KB  388906
#114: 00011306.png     195 KB  388910
#115: 00011307.png     195 KB  388914
#116: 00011308.png     195 KB  388918
#117: 00011309.png     195 KB  388922
#118: 00011310.png     195 KB  388926
#119: 00011311.png     195 KB  388930
#120: 00011312.png     195 KB  388934
#121: 00011313.png     195 KB  388938
#122: 00011314.png     195 KB  388942
#123: 00011315.png     195 KB  388946
#124: 00011316.png     195 KB  388950
#125: 00011317.png     195 KB  388954
#126: 00011318.png     195 KB  388958
#127: 00011319.png     195 KB  388962
#128: 00011320.png     195 KB  388966
#129: 00011321.png     195 KB  388970
#130: 00011322.png     195 KB  388974
#131: 00011323.png     195 KB  388978
#132: 00011324.png     195 KB  388982
#133: 00011325.png     195 KB  388986
#134: 00011326.png     195 KB  388990
#135: 00011327.png     195 KB  388994
#136: 00011328.png     195 KB  388998
#137: 00011329.png     195 KB  389002
#138: 00011330.png     195 KB  389006
#139: 00011331.png     195 KB  389010
#140: 00011332.png     195 KB  389014
#141: 00011333.png     195 KB  389018
#142: 00011334.png     195 KB  389022
#143: 00011335.png     195 KB  389026
#144: 00011336.png     195 KB  389030
#145: 00011337.png     195 KB  389034
#146: 00011338.png     195 KB  389038
#147: 00011339.png     195 KB  389042
#148: 00011340.png     195 KB  389046
#149: 00011341.png     195 KB  389050
#150: 00011342.png     195 KB  389054
#151: 00011343.png     195 KB  389058
#152: 00011344.png     195 KB  389062
#153: 00011345.png     195 KB  389066
#154: 00011346.png     195 KB  389070
#155: 00011347.png     195 KB  389074
#156: 00011348.png     195 KB  389078
#157: 00011349.png     195 KB  389082
#158: 00011350.png     195 KB  389086
#159: 00011351.png     195 KB  389090
#160: 00011352.png     195 KB  389094
#161: 00011353.png     195 KB  389098
#162: 00011354.png     195 KB  389102
#163: 00011355.png     195 KB  389106
#164: 00011356.png     195 KB  389110
#165: 00011357.png     195 KB  389114
#166: 00011358.png     195 KB  389118
#167: 00011359.png     195 KB  389122
#168: 00011360.png     195 KB  389126
#169: 00011361.png     195 KB  389130
#170: 00011362.png     195 KB  389134
#171: 00011363.png     195 KB  389138
#172: 00011364.png     195 KB  389142
#173: 00011365.png     195 KB  389146
#174: 00011366.png     195 KB  389150
#175: 00011367.png     195 KB  389154
#176: 00011368.png     195 KB  389158
#177: 00011369.png     195 KB  389162
#178: 00011370.png     195 KB  389166
#179: 00011371.png     195 KB  389170
#180: 00011372.png     195 KB  389174
#181: 00011373.png     195 KB  389178
#182: 00011374.png     195 KB  389182
#183: 00011375.png     195 KB  389186
#184: 00011376.png     195 KB  389190
#185: 00011377.png     195 KB  389194
#186: 00011378.png     195 KB  389198
#187: 00011379.png     195 KB  389202
#188: 00011380.png     195 KB  389206
#189: 00011381.png     195 KB  389210
#190: 00011382.png     195 KB  389214
#191: 00011383.png     195 KB  389218
#192: 00011384.png     195 KB  389222
#193: 00011385.png     195 KB  389226
#194: 00011386.png     195 KB  389230
#195: 00011387.png     195 KB  389234
#196: 00011388.png     195 KB  389238
#197: 00011389.png     195 KB  389242
#198: 00011390.png     195 KB  389246
#199: 00011391.png     195 KB  389250
#200: 00011392.png     195 KB  389254
#201: 00011393.png     195 KB  389258
#202: 00011394.png     195 KB  389262
#203: 00011395.png     195 KB  389266
#204: 00011396.png     195 KB  389270
#205: 00011397.png     195 KB  389274
#206: 00011398.png     195 KB  389278
#207: 00011399.png     195 KB  389282
#208: 00011400.png     195 KB  389286
#209: 00011401.png     195 KB  389290
#210: 00011402.png     195 KB  389294
#211: 00011403.png     195 KB  389298
#212: 00011404.png     195 KB  389302
#213: 00011405.png     195 KB  389306
#214: 00011406.png     195 KB  389310
#215: 00011407.png     195 KB  389314
#216: 00011408.png     195 KB  389318
#217: 00011409.png     195 KB  389322
#218: 00011410.png     195 KB  389326
#219: 00011411.png     195 KB  389330
#220: 00011412.png     195 KB  389334
#221: 00011413.png     195 KB  389338
#222: 00011414.png     195 KB  389342
#223: 00011415.png     195 KB  389346
#224: 00011416.png     195 KB  389350
#225: 00011417.png     195 KB  389354
#226: 00011418.png     195 KB  389358
#227: 00011419.png     195 KB  389362
#228: 00011420.png     195 KB  389366
#229: 00011421.png     195 KB  389370
#230: 00011422.png     195 KB  389374
#231: 00011423.png     195 KB  389378
#232: 00011424.png     195 KB  389382
#233: 00011425.png     195 KB  389386
#234: 00011426.png     195 KB  389390
#235: 00011427.png     195 KB  389394
#236: 00011428.png     195 KB  389398
#237: 00011429.png     195 KB  389402
#238: 00011430.png     195 KB  389406
#239: 00011431.png     195 KB  389410
#240: 00011432.png     195 KB  389414
#241: 00011433.png     195 KB  389418
#242: 00011434.png     195 KB  389422
#243: 00011435.png     195 KB  389426
#244: 00011436.png     195 KB  389430
#245: 00011437.png     195 KB  389434
#246: 00011438.png     195 KB  389438
#247: 00011439.png     195 KB  389442
#248: 00011440.png     195 KB  389446
#249: 00011441.png     195 KB  389450
#250: 00011442.png     195 KB  389454
#251: 00011443.png     195 KB  389458
#252: 00011444.png     195 KB  389462
#253: 00011445.png     195 KB  389466
#254: 00011446.png     195 KB  389470
#255: 00011447.png     195 KB  389474
#256: 00011448.png     195 KB  389478
#257: 00011449.png     195 KB  389482
#258: 00011450.png     195 KB  389486
#259: 00011451.png     195 KB  389490
#260: 00011452.png     195 KB  389494
#261: 00011453.png     195 KB  389498
#262: 00011454.png     195 KB  389502
#263: 00011455.png     195 KB  389506
#264: 00011456.png     195 KB  389510
#265: 00011457.png     195 KB  389514
#266: 00011458.png     195 KB  389518
#267: 00011459.png     195 KB  389522
#268: 00011460.png     195 KB  389526
#269: 00011461.png     195 KB  389530
#270: 00011462.png     195 KB  389534
#271: 00011463.png     195 KB  389538
#272: 00011464.png     195 KB  389542
#273: 00011465.png     195 KB  389546
#274: 00011466.png     195 KB  389550
#275: 00011467.png     195 KB  389554
#276: 00011468.png     195 KB  389558
#277: 00011469.png     195 KB  389562
#278: 00011470.png     195 KB  389566
#279: 00011471.png     195 KB  389570
#280: 00011472.png     195 KB  389574
#281: 00011473.png     195 KB  389578
#282: 00011474.png     195 KB  389582
#283: 00011475.png     195 KB  389586
#284: 00011476.png     195 KB  389590
#285: 00011477.png     195 KB  389594
#286: 00011478.png     195 KB  389598
#287: 00011479.png     195 KB  389602
#288: 00011480.png     195 KB  389606
#289: 00011481.png     195 KB  389610
#290: 00011482.png     195 KB  389614
#291: 00011483.png     195 KB  389618
#292: 00011484.png     195 KB  389622
#293: 00011485.png     195 KB  389626
#294: 00011486.png     195 KB  389630
#295: 00011487.png     195 KB  389634
#296: 00011488.png     195 KB  389638
#297: 00011489.png     195 KB  389642
#298: 00011490.png     195 KB  389646
#299: 00011491.png     195 KB  389650
#300: 00011492.png     195 KB  389654
#301: 00011493.png     195 KB  389658
#302: 00011494.png     195 KB  389662
#303: 00011495.png     195 KB  389666
#304: 00011496.png     195 KB  389670
#305: 00011497.png     195 KB  389674
#306: 00011498.png     195 KB  389678
#307: 00011499.png     195 KB  389682
#308: 00011500.png     195 KB  389686
#309: 00011501.png     195 KB  389690
#310: 00011502.png     195 KB  389694
#311: 00011503.png     195 KB  389698
#312: 00011504.png     195 KB  389702
#313: 00011505.png     195 KB  389706
#314: 00011506.png     195 KB  389710
#315: 00011507.png     195 KB  389714
#316: 00011508.png     195 KB  389718
#317: 00011509.png     195 KB  389722
#318: 00011510.png     195 KB  389726
#319: 00011511.png     195 KB  389730
#320: 00011512.png     195 KB  389734
#321: 00011513.png     195 KB  389738
#322: 00011514.png     195 KB  389742
#323: 00011515.png     195 KB  389746
#324: 00011516.png     195 KB  389750
#325: 00011517.png     195 KB  389754
#326: 00011518.png     195 KB  389758
#327: 00011519.png     195 KB  389762
#328: 00011520.png     195 KB  389766
#329: 00011521.png     195 KB  389770
#330: 00011522.png     195 KB  389774
#331: 00011523.png     195 KB  389778
#332: 00011524.png     195 KB  389782
#333: 00011525.png     195 KB  389786
#334: 00011526.png     195 KB  389790
#335: 00011527.png     195 KB  389794
#336: 00011528.png     195 KB  389798
#337: 00011529.png     195 KB  389802
#338: 00011530.png     195 KB  389806
#339: 00011531.png     195 KB  389810
#340: 00011532.png     195 KB  389814
#341: 00011533.png     195 KB  389818
#342: 00011534.png     195 KB  389822
#343: 00011535.png     195 KB  389826
#344: 00011536.png     195 KB  389830
#345: 00011537.png     195 KB  389834
#346: 00011538.png     195 KB  389838
#347: 00011539.png     195 KB  389842
#348: 00011540.png     195 KB  389846
#349: 00011541.png     195 KB  389850
#350: 00011542.png     195 KB  389854
#351: 00011543.png     195 KB  389858
#352: 00011544.png     195 KB  389862
#353: 00011545.png     195 KB  389866
#354: 00011546.png     195 KB  389870
#355: 00011547.png     195 KB  389874
#356: 00011548.png     195 KB  389878
#357: 00011549.png     195 KB  389882
#358: 00011550.png     195 KB  389886
#359: 00011551.png     195 KB  389890
#360: 00011552.png     195 KB  389894
#361: 00011553.png     195 KB  389898
#362: 00011554.png     195 KB  389902
#363: 00011555.png     195 KB  389906
#364: 00011556.png     195 KB  389910
#365: 00011557.png     195 KB  389914
#366: 00011558.png     195 KB  389918
#367: 00011559.png     195 KB  389922
#368: 00011560.png     195 KB  389926
#369: 00011561.png     195 KB  389930
#370: 00011562.png     195 KB  389934
#371: 00011563.png     195 KB  389938
#372: 00011564.png     195 KB  389942
#373: 00011565.png     195 KB  389946
#374: 00011566.png     195 KB  389950
#375: 00011567.png     195 KB  389954
#376: 00011568.png     195 KB  389958
#377: 00011569.png     195 KB  389962
#378: 00011570.png     195 KB  389966
#379: 00011571.png     195 KB  389970
#380: 00011572.png     195 KB  389974
#381: 00011573.png     195 KB  389978
#382: 00011574.png     195 KB  389982
#383: 00011575.png     195 KB  389986
#384: 00011576.png     195 KB  389990
#385: 00011577.png     195 KB  389994
#386: 00011578.png     195 KB  389998
#387: 00011579.png     195 KB  390002
#388: 00011580.png     195 KB  390006
#389: 00011581.png     195 KB  390010
#390: 00011582.png     195 KB  390014
#391: 00011583.png     195 KB  390018
#392: 00011584.png     195 KB  390022
#393: 00011585.png     195 KB  390026
#394: 0
```

Scalpel: Escenario 1

Configuración inicial de Scalpel es igual al anterior entramos a la configuración scalpel.conf para ver la lista completa de los tipos de archivos que Scalpel puede recuperar y faltaban los mismos tipos de archivos faltantes.



Figura 4. Configuración Scalpel

Ejecutamos Scalpel con el comando: `sudo scalpel -t jpeg,png,pdf,docx,xlsx,pptx,zip,mp4,mp3,exe,gif /mnt/d/ImagenProyecto.dd -o /mnt/d/Recuperacion` donde ImagenProyecto.dd es la copia bit a bit y Recuperacion1 la carpeta donde se almacenan.

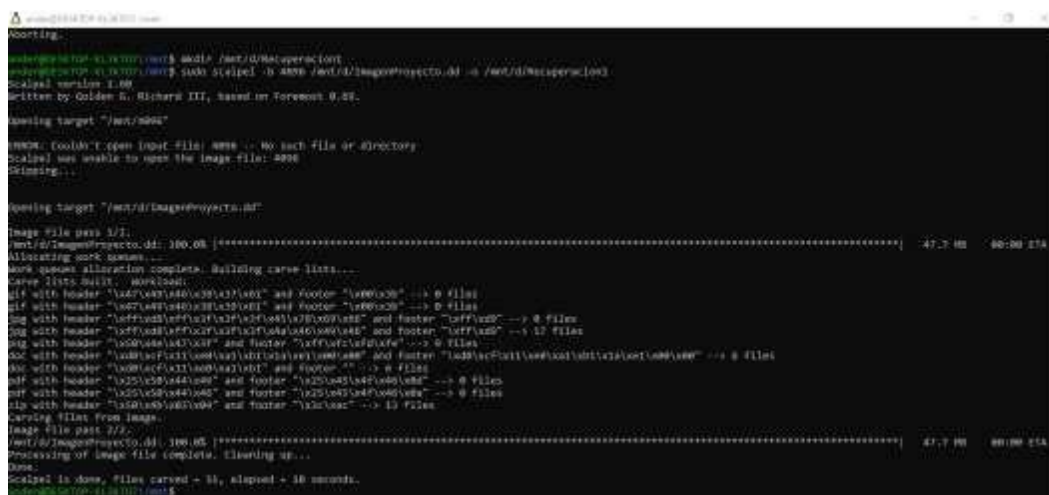


Figura 5. Ejecución Scalpel Escenario 1

La recuperación se demoró 10 segundos, en el cual recupero 182 archivos de los cuales el tipo y cantidad fueron:

- jpg con 17 archivos
- gif con 0 archivos
- doc con 6 archivos
- zip con 13 archivos

PhotoRec: Escenario 1

Ejecutamos el programa y buscamos la ubicación de la imagen a recuperar en selecciona un medio a recuperar.



Figura 6. Configuración PhotoRec

En formato de archivo seleccionamos los mismos tipos de archivos que se utilizaron en las otras herramientas, luego seleccionamos la carpeta y el directorio de salida.



Figura 7. Proceso PhotoRec Escenario 1

Cuando se termina el proceso de selección, se presiona buscar y nos lleva a esta ventana donde nos muestra la información de la recuperación.



Figura 8. Resultado PhotoRec Escenario 1

La recuperación se demoró 15 segundos, en el cual recupero 13 archivos de los cuales el tipo y cantidad fueron:

- jpg con 9 archivos
- doc con 3 archivos
- zip con 1 archivo

Ahora se utilizará el entorno automatizado desarrollado se puede ejecutar en cualquier sistema operativo que permita Python y tenga una GUI, pero se ejecutara para estos escenarios en el S.O Windows 10, las características del disco y procesador son las mismas que en Linux, así que no tendremos ningún inconveniente, se toma esta decisión para probar la función de Multithreading.



Figura 9. Especificaciones Sistema Windows Entorno Automatizado: Escenario 1

Ejecutamos el archivo Carving como estamos usando una copia bit a bit sin sistema de archivos vamos directamente a la pestaña de File Carving.

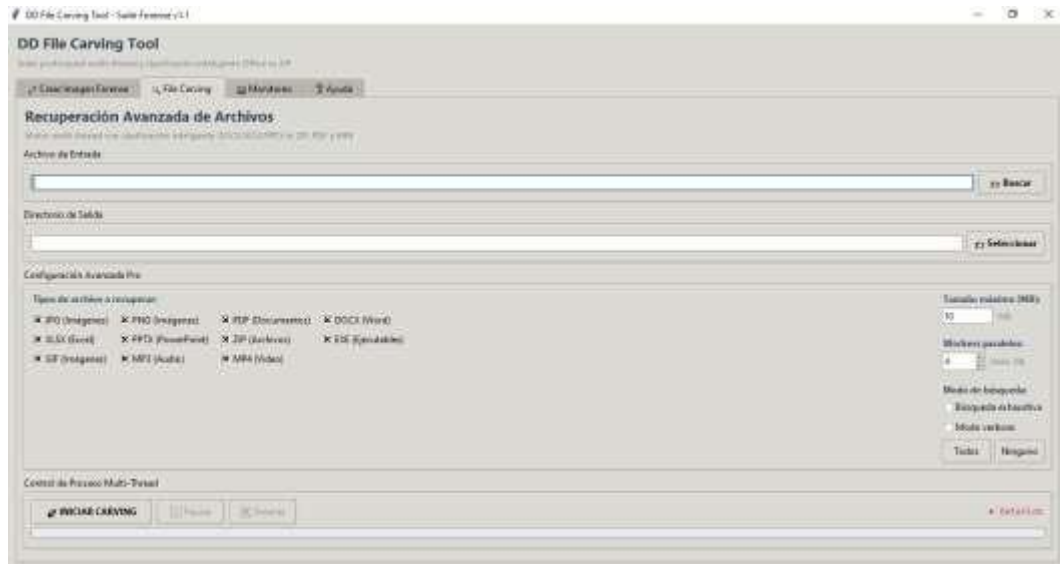


Figura 10. Inicio Entorno Automatizado

Donde seleccionaremos el archivo de entrada de ImagenProyecto.dd y en el Directorio de Salida la carpeta donde se almacenará los archivos recuperados, se puede elegir qué tipo de archivos recuperar, pero en este caso seleccionaremos todos y damos clic en Iniciar Carving.

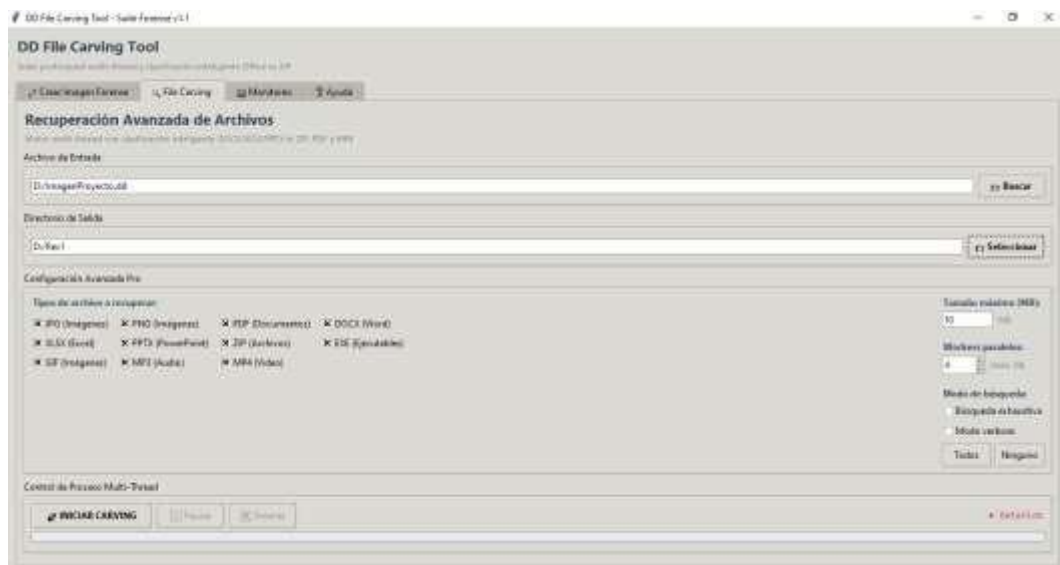


Figura 11. Configuración Carving Escenario 1

Se utilizo 4 workers en el modo de búsqueda estándar y se seleccionó todos los tipos de archivos y el tamaño máximo de 10 MB que demoro 11 segundos a una velocidad promedio de 21.11 MB/s.

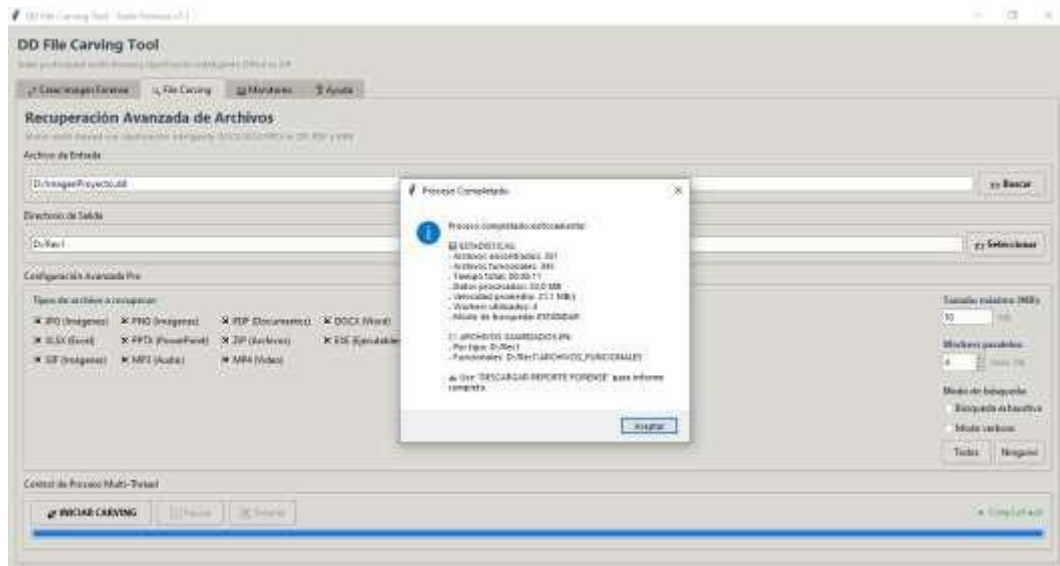


Figura 12. Proceso Entorno Automatizado

En la pestaña monitoreo revisamos las estadísticas generales de la búsqueda donde se puede observar la cantidad de archivos que recupero incluso el tamaño total, también el tamaño del archivo procesado.

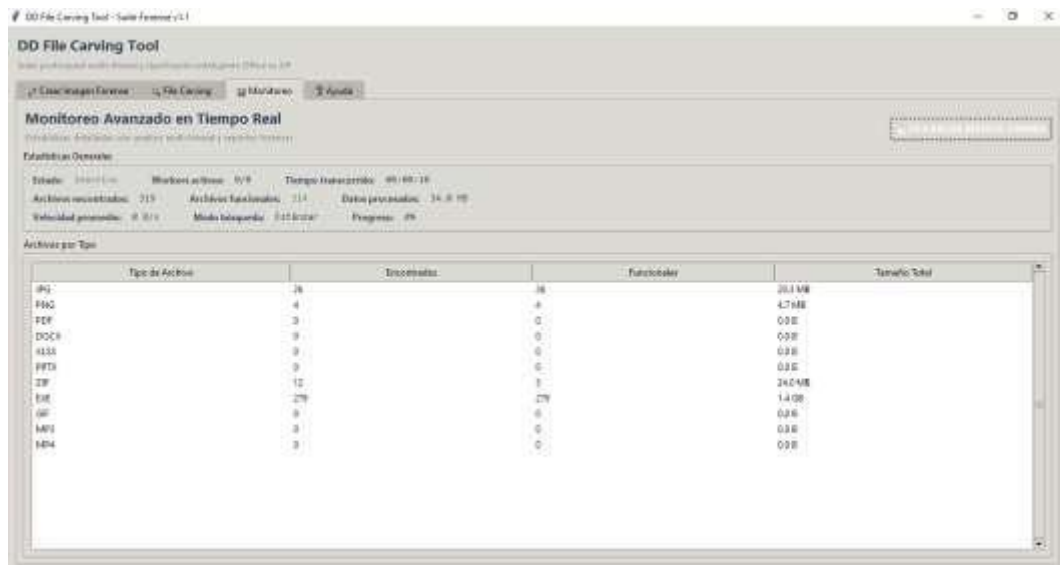


Figura 13. Estadísticas Escenario 1

- jpg con 14 archivos
- png con 1 archivo

- zip con 4 archivos
- mp3 con 301 archivos
- exe con 146 archivos

Verificación de Carpetas de archivos recuperados

Abrimos la ubicación de salida de la recuperación de datos para poder observar la cantidad de archivos, nos centraremos en la carpeta de archivos .png recuperados.

1. Carpeta Foremost

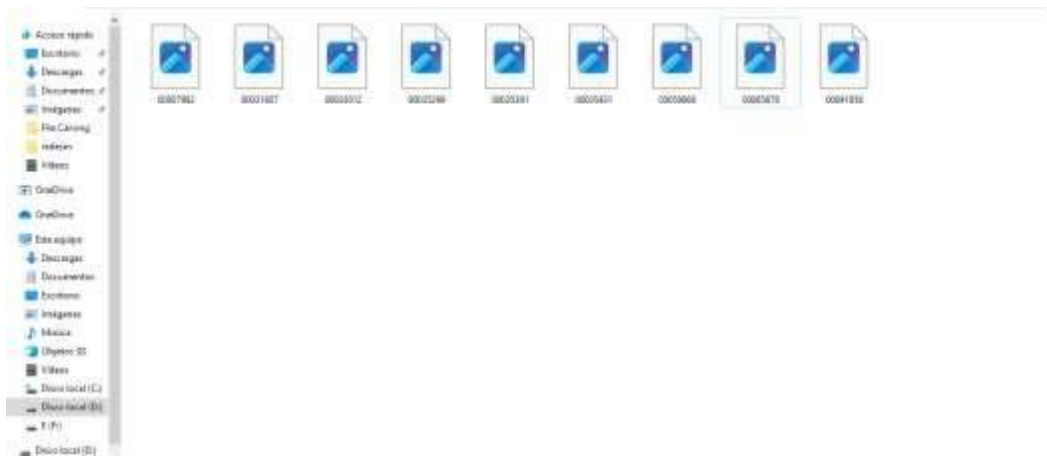


Figura 14. Verificación Archivos PNG Foremost

Verificamos que los archivos que recupero están parcialmente corruptos o se los toma como falsos positivos y no se visualizan entonces la recuperación no tuvo éxito en este tipo de archivos.

2. Carpeta Scalpel

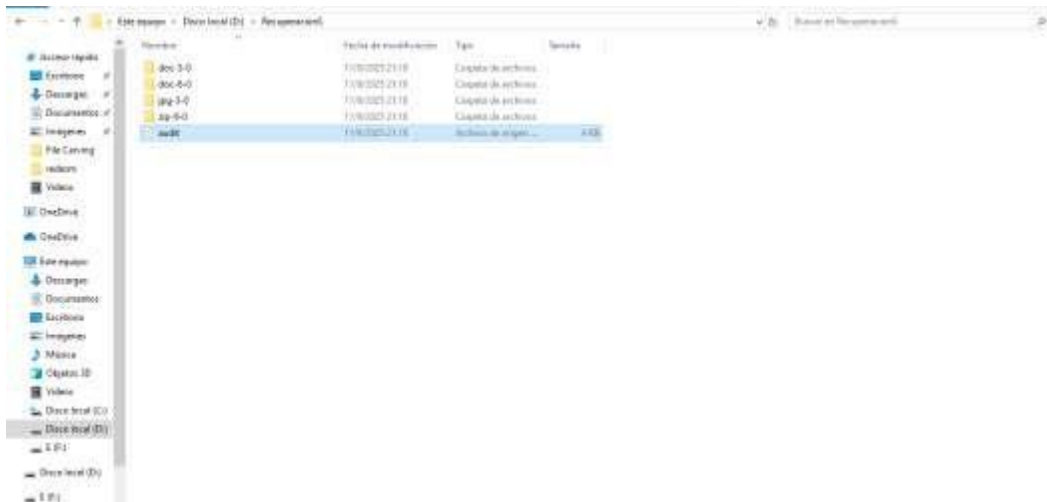


Figura 15. Verificación Archivos PNG Scalpel

Scalpel no pudo recuperar archivos .png así que no encontramos archivos parcialmente corruptos o falsos positivos.

3. Carpeta Photorec



Figura 16. Verificación Archivos PNG PhotoRec

PhotoRec no tiene clasificación por carpetas por lo que nos toca buscar manualmente los formatos sin embargo tampoco pudo recuperar archivos parcialmente, los que se observan son archivos .jpg.

4. Carpeta Entorno Automatizado



Figura 17. Verificación PNG Entorno Automatizado

la advertencia a tomar en cuenta que no se debe retirar el dispositivo que se está creando durante el proceso, una ventaja importante es que la herramienta cuenta con esta opción mientras que los otros no.

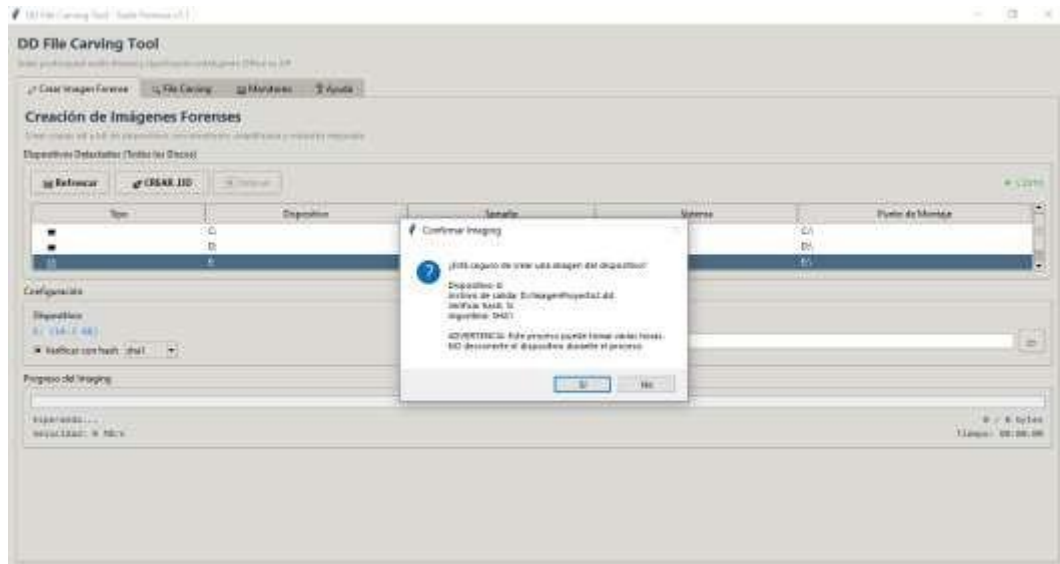


Figura 20. Advertencia Imaging

Luego de 18 minutos con 20 segundos la copia esta lista, también nos dio el resultado con su respectivo hash en función criptográfica sha1 en la misma carpeta.

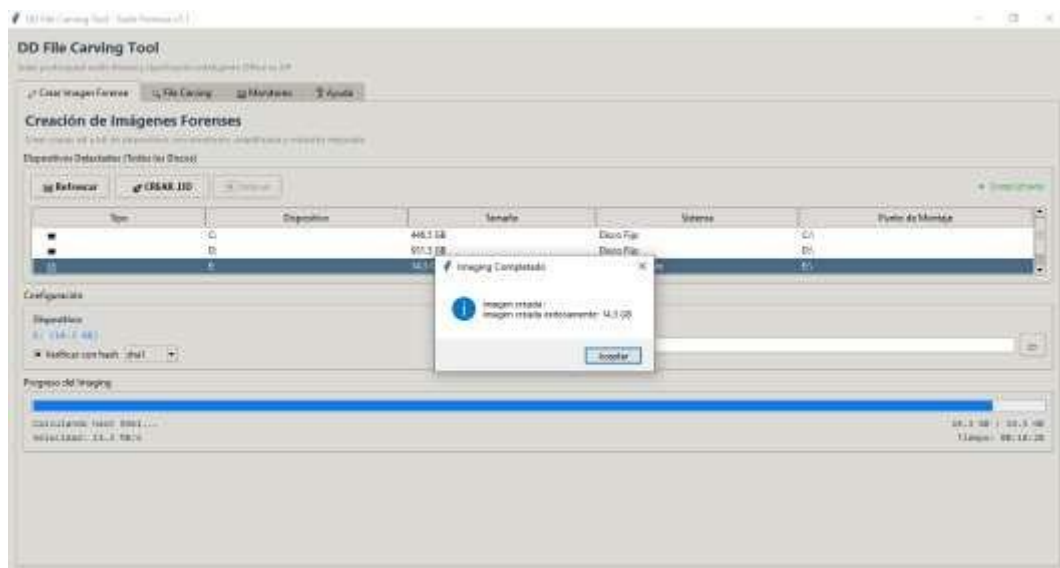


Figura 21. Finalización Imaging Escenario 2

Foremost: Escenario 2

Al finalizar el análisis de la segunda copia bit a bit vamos a Foremost y ejecutamos el comando `sudo foremost -v -i /mnt/d/ImagenProyecto2.dd -o`

/mnt/d/Recuperacion3 donde ImagenProyecto2.dd es la copia bit a bit y Recuperacion3 la carpeta donde será guardada:

```

$ ssh root@192.168.1.100
root@192.168.1.100:~# foremost -v -i /mnt/d/ImagenProyecto2.dd -o /mnt/d/Recuperacion3
Foremost version 1.3.7 by Jesse Koechlin, Kris Kendall, and Nick Mikic
Audit file:
-----
Foremost started at Wed Sep 3 20:22:55 2025
Installation: Foremost -v -i /mnt/d/ImagenProyecto2.dd -o /mnt/d/Recuperacion3
Output directory: /mnt/d/Recuperacion3
Configuration file: /etc/foremost.conf
Processing: /mnt/d/ImagenProyecto2.dd
-----
File: /mnt/d/ImagenProyecto2.dd
Start: Wed Sep 3 20:22:55 2025
Length: 47 MB (49699927 bytes)
-----

```

Line	Name (bb-SIZ)	Size	File Offset	Comment
0:	00003886.jpg	5 KB	3886410	
1:	00003888_1.jpg	3 KB	3887442	
2:	00003897.jpg	5 KB	3895443	
3:	00003929.jpg	589 KB	4201018	
4:	00003936.jpg	2 KB	5400018	
5:	00003939_1.jpg	1 KB	8440168	
6:	00003992.jpg	0 KB	8257666	
7:	00003997.jpg	325 KB	14124794	
8:	00003976.jpg	286 KB	14137240	
9:	00003971.jpg	173 KB	14144896	
10:	00003929.jpg	174 KB	14187344	
11:	00003936.jpg	337 KB	20006050	
12:	00003939.jpg	1 KB	21204022	
13:	00003934.jpg	297 KB	22236286	
14:	00003964.jpg	6 KB	23330192	
15:	00003984_1.jpg	0 KB	23338688	
16:	00003979.jpg	19 KB	23373718	
17:	00003985.jpg	3 KB	24561152	
18:	00003987.jpg	2 KB	40201070	
19:	00003995.jpg	193 KB	43338	
20:	00003999.jpg	106 KB	97338	
21:	00003997.jpg	382 KB	173940	
22:	00003998.jpg	80 KB	152902	
23:	00003989.jpg	1 KB	240118	
24:	00003978.jpg	80 KB	301162	
25:	00003992.jpg	21 KB	319406	
26:	00003991.jpg	67 KB	331240	

Figura 22. Ejecución Foremost Escenario 2

La recuperación se demoró 2 horas, en el cual recupero 9426 archivos de los cuales el tipo y cantidad fueron:

- jpg con 9195 archivos
- png con 51 archivos
- pdf con 3 archivos
- mp3 con 1 archivo
- zip con 150 archivos

```

$ ssh root@192.168.1.100
root@192.168.1.100:~# foremost -v -i /mnt/d/ImagenProyecto2.dd -o /mnt/d/Recuperacion3
Foremost version 1.3.7 by Jesse Koechlin, Kris Kendall, and Nick Mikic
Audit file:
-----
Foremost started at Wed Sep 3 22:24:27 2025
Installation: Foremost -v -i /mnt/d/ImagenProyecto2.dd -o /mnt/d/Recuperacion3
Output directory: /mnt/d/Recuperacion3
Configuration file: /etc/foremost.conf
Processing: /mnt/d/ImagenProyecto2.dd
-----
File: /mnt/d/ImagenProyecto2.dd
Start: Wed Sep 3 22:24:27 2025
Length: 47 MB (49699927 bytes)
-----

```

Line	Name (bb-SIZ)	Size	File Offset	Comment
9998:	01103008.zip	67 KB	58205600	
9999:	01103001.zip	67 KB	58207100	
9988:	01103001.zip	65 KB	58268801	
9981:	01103004.zip	65 KB	58276674	
9973:	01103004_1.zip	65 KB	58278125	
9981:	01103005.zip	65 KB	58279540	
9984:	01103005_1.zip	68 KB	58280722	
9985:	01103006.zip	68 KB	58279000	
9986:	01103006.zip	63 KB	58277361	
9987:	01103008.zip	62 KB	58277362	
9988:	01103008_1.zip	62 KB	58277250	
9989:	01103071.zip	62 KB	58272402	
9980:	01103051_1.zip	61 KB	58272370	
9981:	01103071.zip	61 KB	58273866	
9982:	01103072_1.zip	61 KB	58273555	
9983:	01103073.zip	61 KB	58273612	
9984:	01103076.zip	59 KB	58273628	
9985:	01103094.zip	64 KB	58273680	
9986:	01103096.zip	64 KB	58273680	
9987:	01103098.zip	64 KB	58273680	
9988:	01103099.zip	64 KB	58273680	
9989:	01103100.zip	64 KB	58273680	
9990:	01103101.zip	64 KB	58273680	
9991:	01103102.zip	64 KB	58273680	
9992:	01103103.zip	64 KB	58273680	
9993:	01103104.zip	64 KB	58273680	
9994:	01103105.zip	64 KB	58273680	
9995:	01103106.zip	64 KB	58273680	
9996:	01103107.zip	64 KB	58273680	
9997:	01103108.zip	64 KB	58273680	
9998:	01103109.zip	64 KB	58273680	
9999:	01103110.zip	64 KB	58273680	

```

-----
Finish: Wed Sep 3 22:24:27 2025
-----
9426 Files Extracted
log:~# JB
log:~# JB
log:~# JB
log:~# JB
log:~# JB
log:~# JB
-----
Foremost finished at Wed Sep 3 22:24:28 2025

```

Figura 23. Resultados Foremost Escenario 2

Scalpel: Escenario 2

Ejecutamos Scalpel con el comando: `sudo scalpel -t jpeg,png,pdf,docx,xlsx,pptx,zip, mp4,mp3,exe,gif /mnt/d/ImagenProyecto2.dd -o /mnt/d/RecuperacionS1` donde ImagenProyecto2.dd es la copia bit a bit y RecuperacionS1 la carpeta donde se almacenan.



```
www@G000000P-G1800:~$ sudo scalpel -t jpeg,png,pdf,docx,xlsx,pptx,zip, mp4,mp3,exe,gif /mnt/d/ImagenProyecto2.dd -o /mnt/d/RecuperacionS1
[sudo] password for asdar:
scalpel version 1.00
written by widoes 0, Richard III, based on foremap 0.99.

Opening target "/home/asdar/mp4,mp3,exe,gif"
ERROR: Couldn't open input file: mp4,mp3,exe,gif -- no such file or directory
Scalpel was unable to open the image file: mp4,mp3,exe,gif
Quitting...

Opening target "/mnt/d/ImagenProyecto2.dd"
Image file: pass 1/2.
/mnt/d/ImagenProyecto2.dd: 1.0% |
```

Figura 24. Ejecución Scalpel Escenario 2

La recuperación se demoró 38 minutos y 28 segundos, en el cual recupero 179 archivos de los cuales el tipo y cantidad fueron:

- jpg con 26 archivos
- pdf con 3 archivos
- zip con 150 archivos

```

www@0000000:~$ sudo scalpel -t jpg,png,pdf,dock,docx,doc,zip,mp3,mp4,ogg,gif /mnt/2/ImageProject2.dd -o /mnt/2/Resipnacio01
[add] password for asdr:
scalpel version 1.00
written by uidas 0, Richard III, based on Foremost 0.99.

Opening target "/home/asdr/mp3,mp4,ogg,gif"

ERROR: Couldn't open input file: mp3,mp4,ogg,gif -- no such file or directory
Scalpel was unable to open the image file: mp3,mp4,ogg,gif
Skipping...

Opening target "/mnt/2/ImageProject2.dd"

Image file: pass 1/2.
/mnt/2/ImageProject2.dd: 100.0% [*****] 14.3 GB 16:08 ET4
Allocating work queues...
Work queue allocation complete. Building carve lists...
Carve lists built. mark5aan)
gif with header "\x07\x21\x26\x00(\x17\x01" and footer "\x00\x00" --> 0 files
jif with header "\x00\x01\x00\x00\x00\x00" and footer "\x00\x00" --> 0 files
png with header "\x00\x00\x0d\x1a\x0a\x0a" and footer "\x00\x00" --> 0 files
pdf with header "\x25\x21\x24\x26" and footer "\x25\x21\x24\x26" --> 0 files
doc with header "\x50\x4d\x1a\x0a" and footer "\x1a\x0a" --> 0 files
doc with header "\x50\x4d\x1a\x0a" and footer "\x1a\x0a" --> 0 files
pdf with header "\x25\x21\x24\x26" and footer "\x25\x21\x24\x26" --> 0 files
pdf with header "\x25\x21\x24\x26" and footer "\x25\x21\x24\x26" --> 0 files
zip with header "\x50\x4d\x1a\x0a" and footer "\x1a\x0a" --> 139 files
zip with header "\x50\x4d\x1a\x0a" and footer "\x1a\x0a" --> 0 files
doc with header "\x50\x4d\x1a\x0a" and footer "\x1a\x0a" --> 0 files
zip with header "\x50\x4d\x1a\x0a" and footer "\x1a\x0a" --> 0 files
mp3 with header "\x49\x42\x00\x00" and footer "\x49\x42\x00\x00" --> 0 files
Opening files from image.
Image file: pass 2/2.
/mnt/2/ImageProject2.dd: 100.0% [*****] 14.3 GB 16:08 ET4
Processing of Image file complete. Storing up...
Done.
Scalpel is done. Files carved = 179, skipped = 1340 records.
www@0000000:~$

```

Figura 25. Resultados Scalpel Escenario 2

PhotoRec: Escenario 2

Ejecutamos el programa y buscamos la ubicación de la imagen a recuperar en selecciona un medio a recuperar en este.

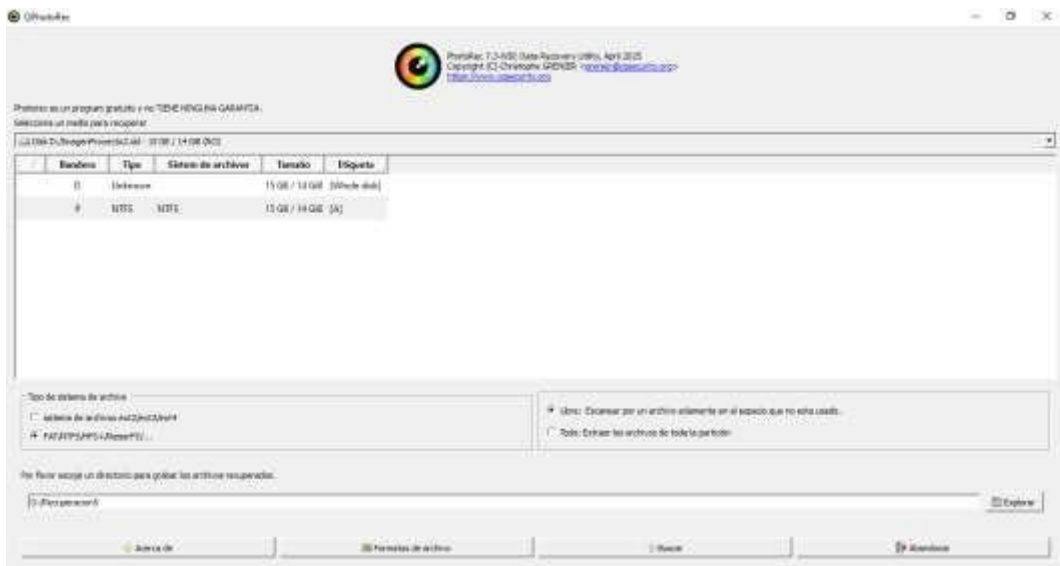


Figura 26. PhotoRec Selección Escenario 2

Cuando se termina el proceso de selección, se presiona buscar y nos lleva a esta ventana donde nos muestra la información de la recuperación.

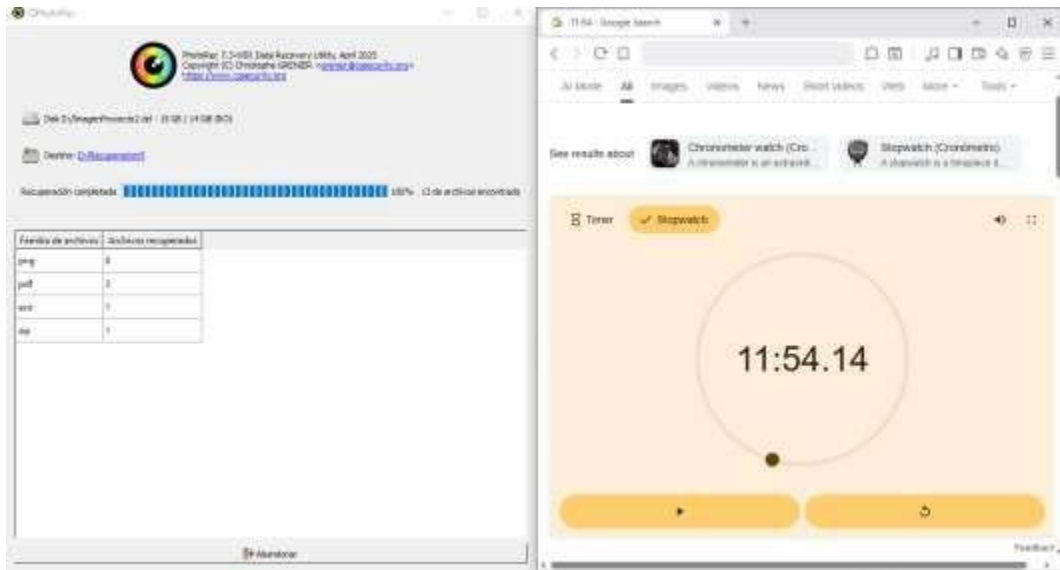


Figura 27. Resultados PhotoRec Escenario 2

La recuperación se demoró 11 minutos y 54 segundos, en el cual recupero 13 archivos de los cuales el tipo y cantidad fueron.

- png con 8 archivos
- pdf con 3 archivos
- exe con 1 archivo
- zip con 1 archivo

Entorno Automatizado: Escenario 2

Donde seleccionaremos el archivo de entrada de ImagenProyecto.dd y en el Directorio de Salida la carpeta Rec2, pero seleccionaremos todos los formatos de archivos también utilizaremos 8 workers y el modo exhaustivo e iniciar carving.

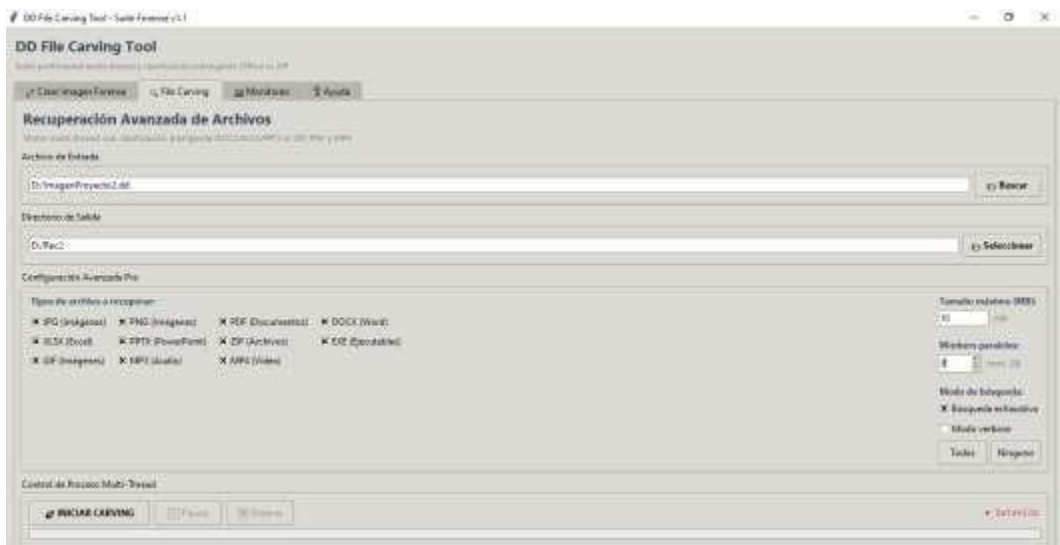


Figura 28. Configuración Entorno Automatizado Escenario 2

Se completo el proceso luego de 19 minutos con 53 segundo a una velocidad de 12.4 MB/s.

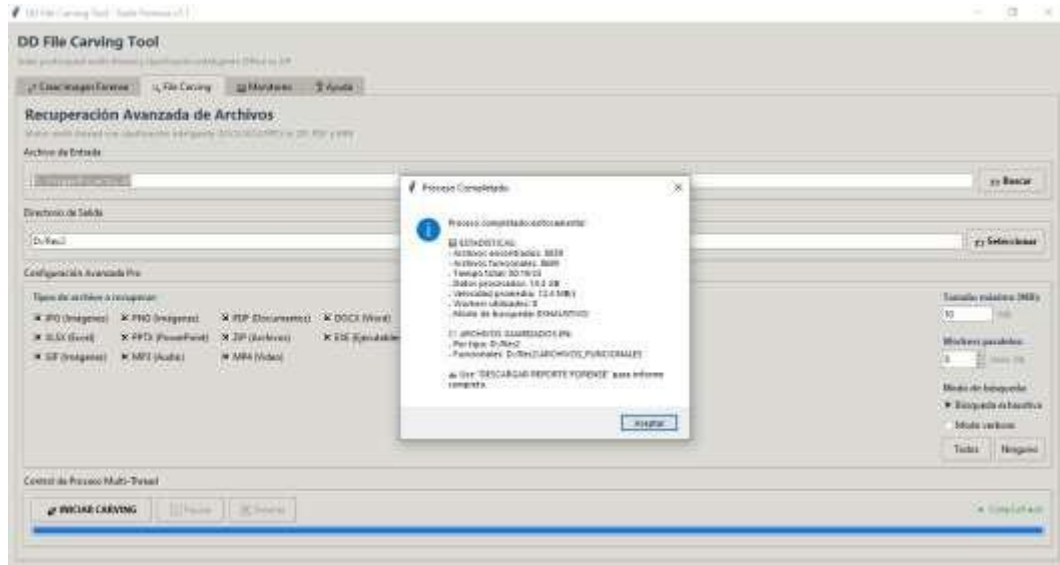


Figura 29. Resultados Entorno Automatizado Escenario 2

En la pestaña monitoreo revisamos las estadísticas generales se encontró varios archivos que no son funcionales y fueron filtrados.

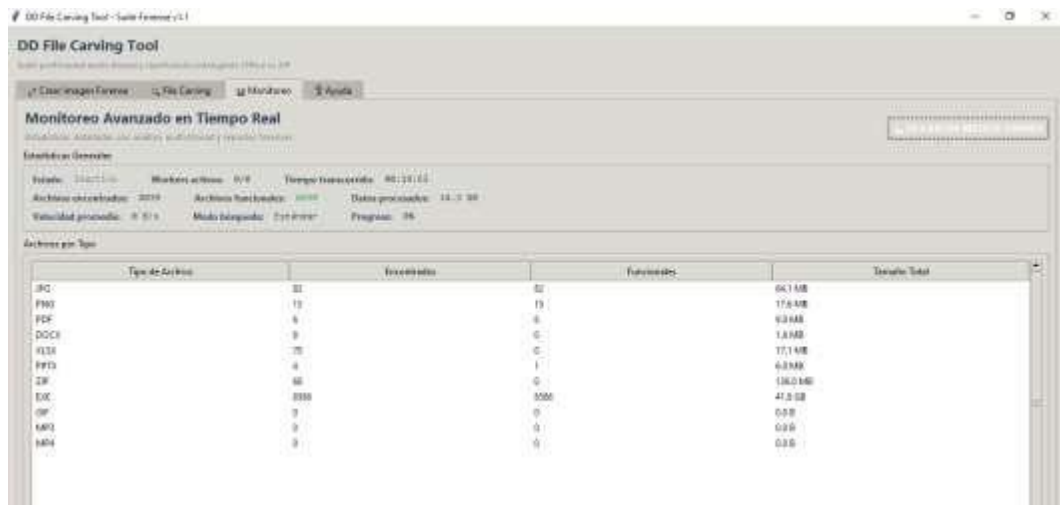


Figura 30. Estadísticas Detalladas Escenario 2

- jpg con 82 archivos
- png con 15 archivos
- pdf con 6 archivos
- docx con 8 archivos

- pptx con 4 archivos
- xlsx con 70 archivos
- zip con 68 archivos
- exe con 146 archivos

Verificación de Carpetas de archivos recuperados

Abrimos la ubicación de salida de la recuperación de datos para el escenario 2 para nos centraremos en la carpeta de archivos .jpg recuperados.

1. Carpeta Foremost



Figura 31. Verificación JPG Foremost Escenario 2

Verificamos manualmente que de 9195 archivos solo 52 archivos fueron recuperador eso deja 9141 archivos como falsos positivos.

2. Carpeta Scalpel

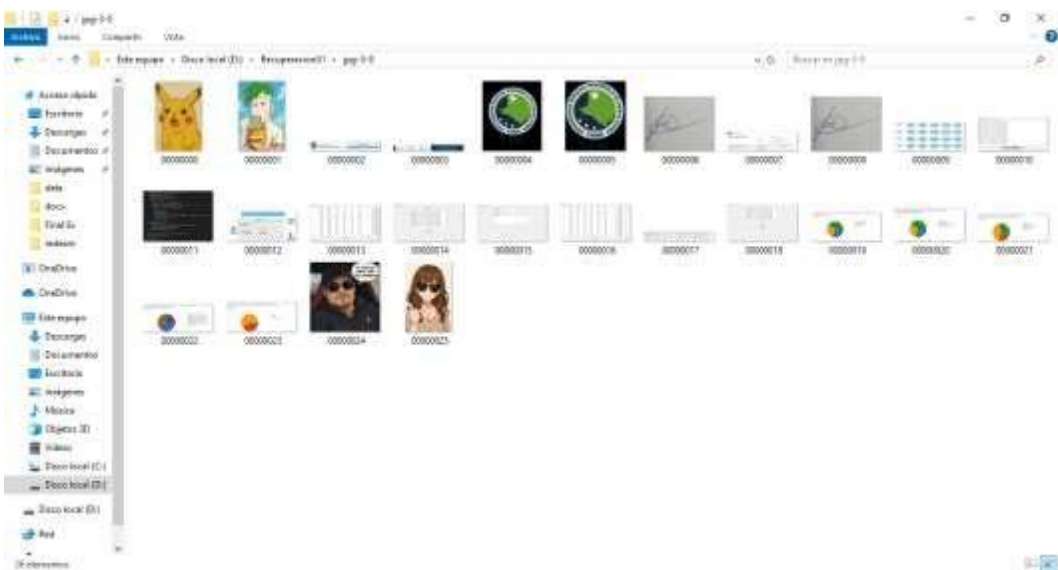


Figura 32. Verificación JPG Scalpel Escenario 2

Scalpel recupero 26 archivos y todos funcionales

3. Carpeta PhotoRec

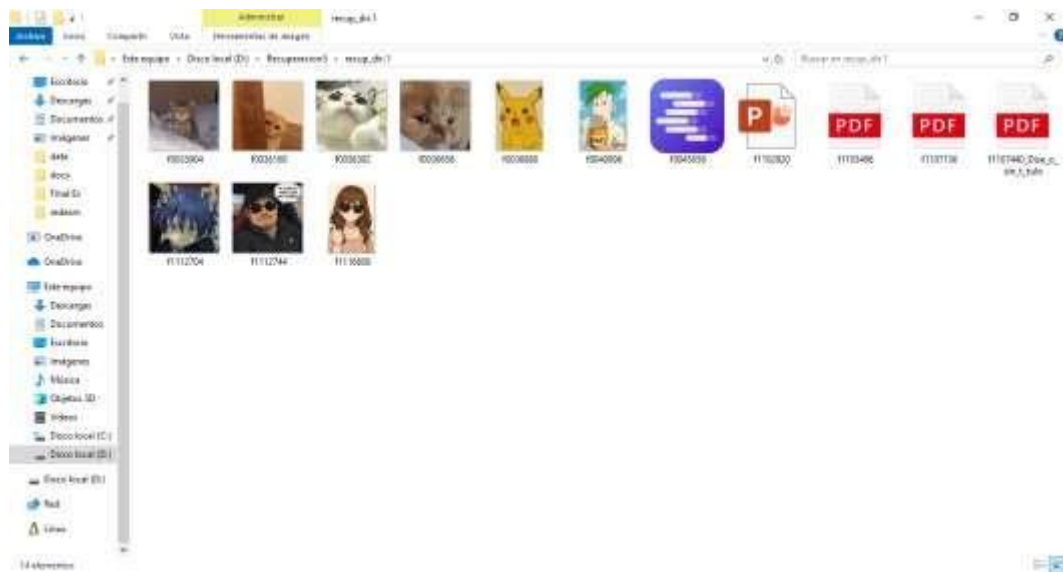


Figura 33. Verificación PhotoRec Escenario 2

No recupero ninguna imagen con formato .jpg las que se observan son archivos .png tampoco clasifica por archivos

4. Carpeta Entorno Automatizado

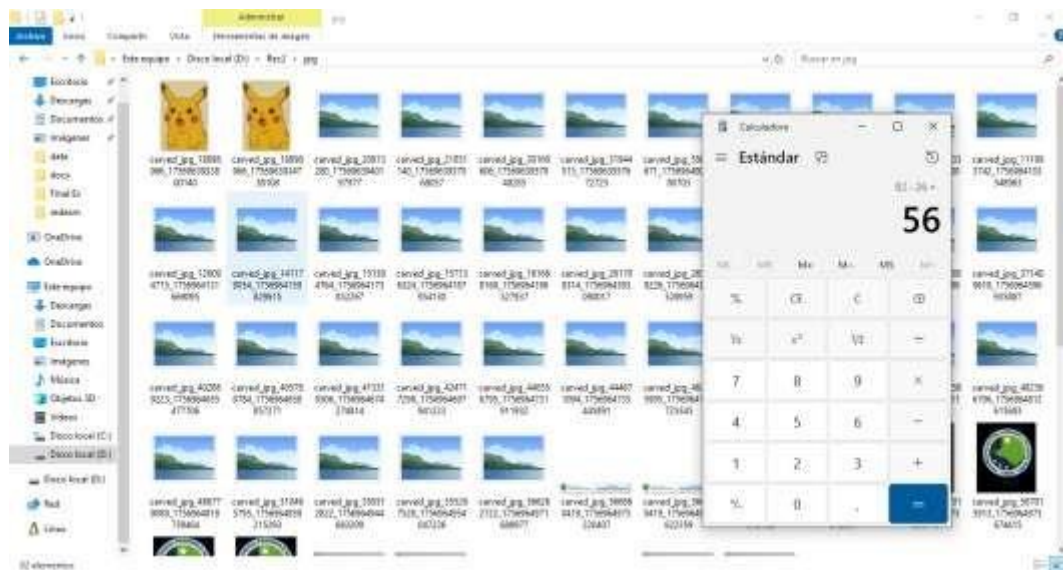


Figura 34. Verificación JPG Entorno Automatizado Escenario 2

De 86 archivos que recupero 26 fueron no funcionales

Escenario 3: Unidad USB de 8 GB con formato NFTS y formateo de la unidad

En esta unidad pondremos a prueba la búsqueda de archivos office en específico para probar el modo verbose y se eliminara normalmente incluido el vaciado de la papelera de reciclaje. Tenemos algunos formatos de tipos de archivo de Office, eliminamos de la forma tradicional.

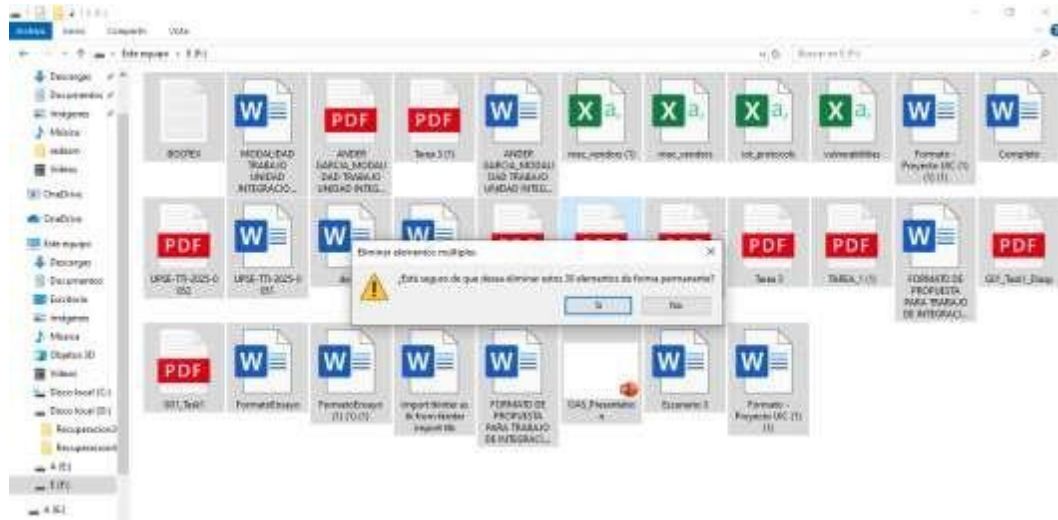


Figura 35. Preparación Escenario 3

Luego vamos a la papelera de reciclaje y vaciamos la papelera



Figura 36. Vaciado Papelera Escenario 3

Ahora crearemos una copia bit a bit de la Unidad USB de 8GB con formato FAT32

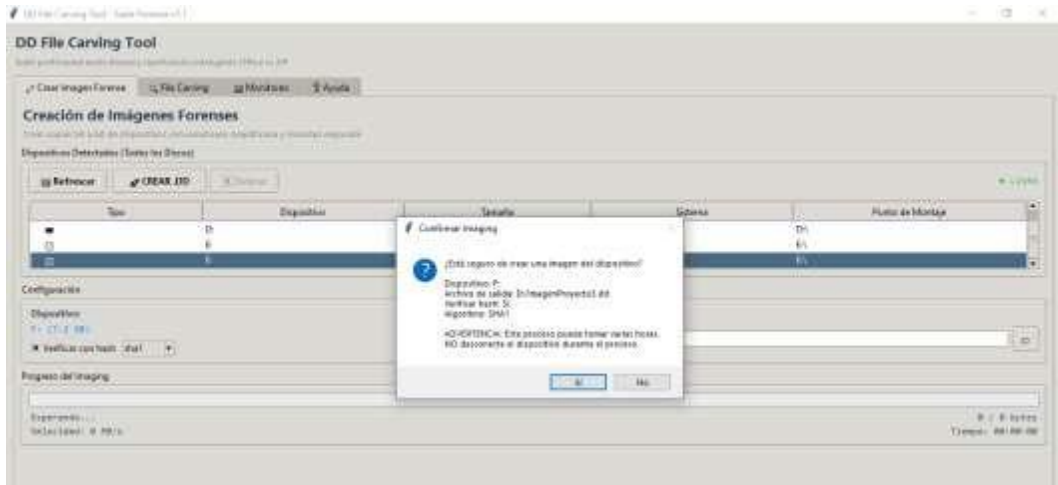


Figura 37. Imaging USB 8GB Escenario 3

Luego de 9 minutos con 2 segundos la copia esta lista, también nos dio el resultado con su respectivo hash en función criptográfica sha1 en la misma carpeta que se guardó.

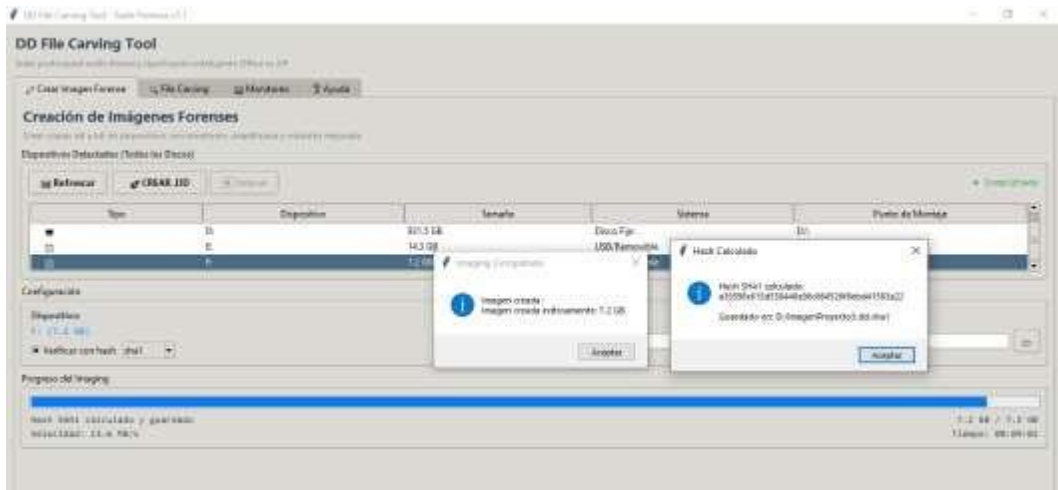


Figura 38. Finalización Imaging Escenario 3

Foremost: Escenario 3

Investigando un poco más sobre la herramienta se puede especificar el tipo de archivos, aunque no hablaba de formatos modernos de office, de todas maneras, se tratara de incluirlo a los que se puso por defecto en el Escenario 1.

- gif con 86 archivos

Scalpel: Escenario 3

Ejecutamos Scalpel con el comando: `sudo scalpel -t jpeg,png,pdf,docx,xlsx,pptx,zip, mp4,mp3,exe,gif /mnt/d/ImagenProyecto3.dd -o /mnt/d/RecuperacionS3` donde ImagenProyecto3.dd



Figura 41. Ejecución Scalpel Escenario 3

La recuperación se demoró 27 minutos con 43 segundos, en el cual recupero 15682 archivos de los cuales el tipo y cantidad fueron:

- jpg con 2470 archivos
- gif con 86 archivos
- doc con 228 archivos
- pdf con 107 archivos
- png con 104 archivos
- zip con 12687 archivos

PhotoRec: Escenario 3

Ejecutamos el programa y buscamos la ubicación de la imagen a recuperar en selecciona un medio a recuperar en este caso es ImagenProyecto3.

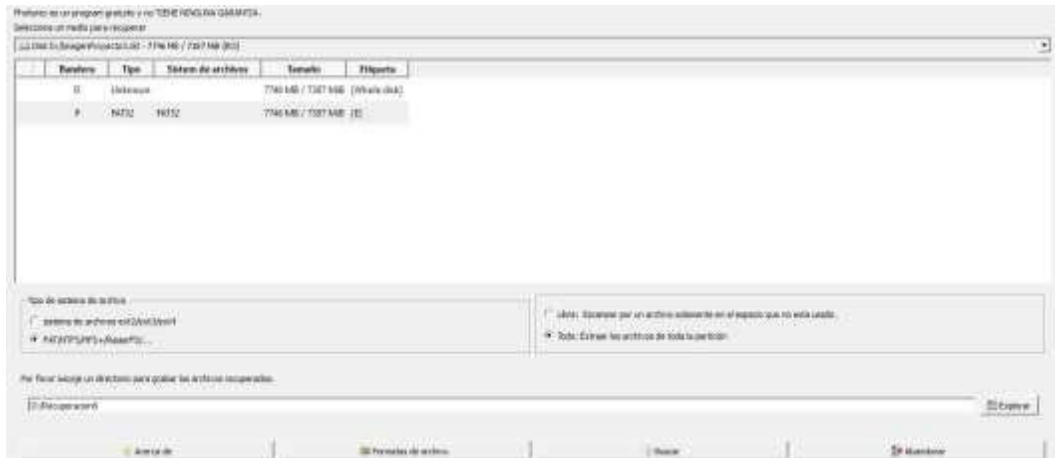


Figura 42. PhotoRec Selección Escenario 3

Cuando se termina el proceso de selección, se presiona buscar y nos lleva a esta ventana donde nos muestra la información de la recuperación.

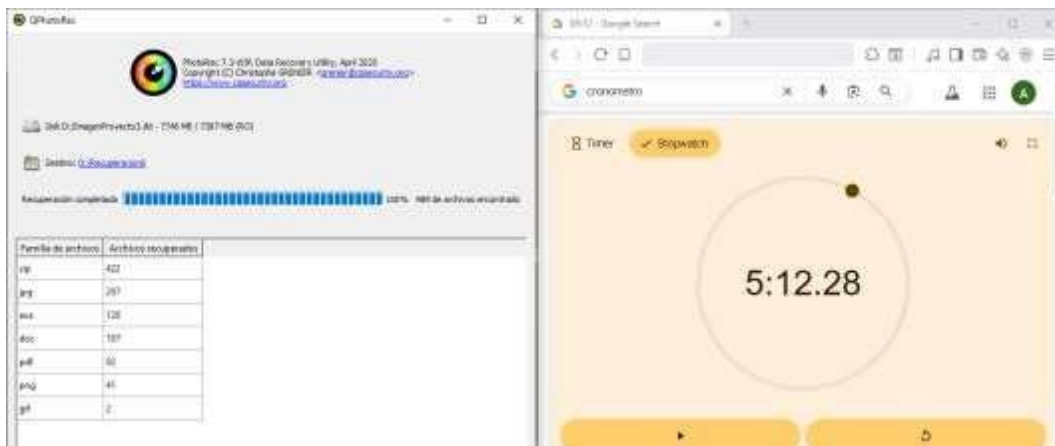


Figura 43. Resultados PhotoRec Escenario 3

La recuperación se demoró 5 minutos y 12 segundos, en el cual recupero 13 archivos de los cuales el tipo y cantidad fueron

- png con 41 archivos
- jpg con 207 archivos
- pdf con 3 archivos
- exe con 128 archivo
- zip con 422 archivos
- gif con 2 archivos
- doc con 107 archivos

Entorno Automatizado: Escenario 3

Donde seleccionaremos el archivo de entrada de ImagenProyecto3.dd y en el Directorio de Salida la carpeta Rec3, pero seleccionaremos XLSX, PPTX, PDF Y DOCX también utilizaremos 12 workers y el modo verbose con un tamaño máximo de 50 MB e iniciar carving.

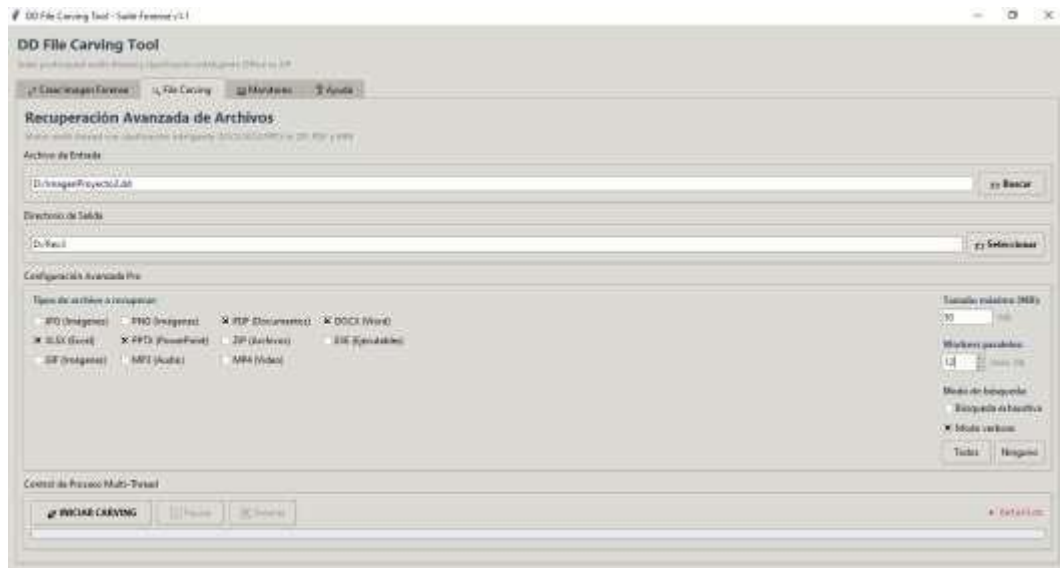


Figura 44. Configuración Específica Escenario 3

Se completo el proceso luego de 13 minutos con 17 segundo a una velocidad de 12.4 MB/s.

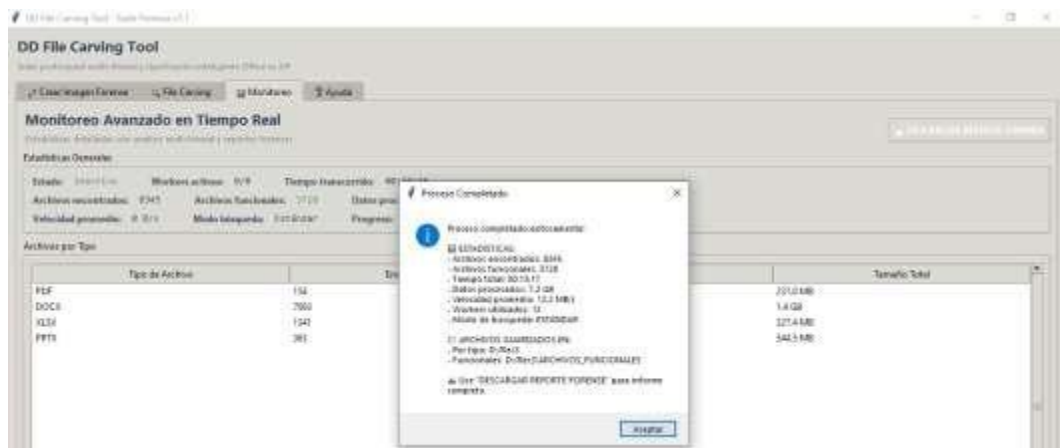


Fig 45. Finalización Entorno Automatizado Escenario 3

En la pestaña monitoreo revisamos las estadísticas generales se encontró varios archivos que no son funcionales que fueron filtrados y el peso de los datos procesados.

2. Carpeta Scalpel

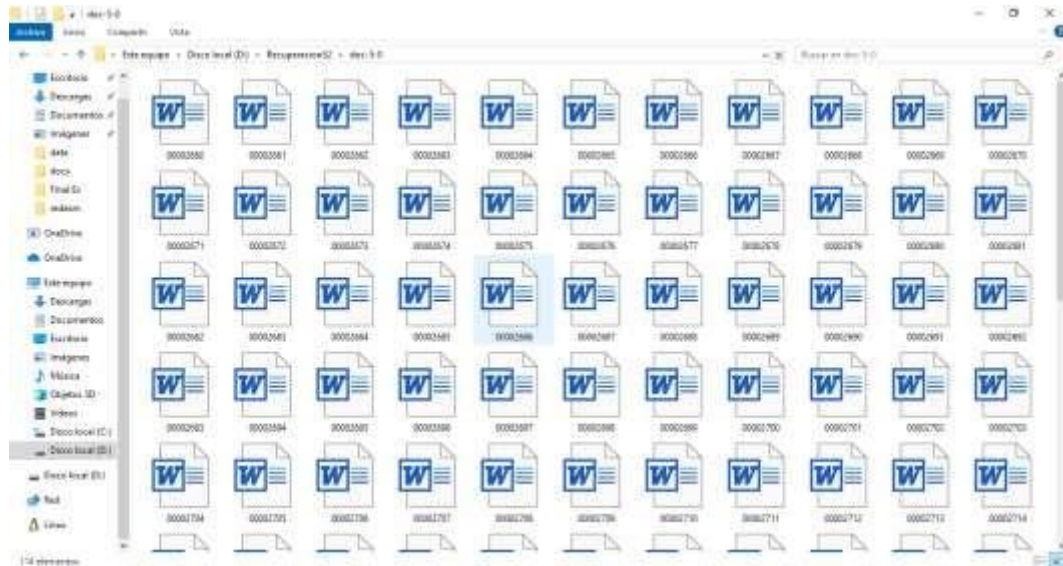


Figura 48. Limitaciones Scalpel Office

Al igual que Foremost recupero Archivos .doc y ningún otro formato de Office

3. Carpeta PhotoRec

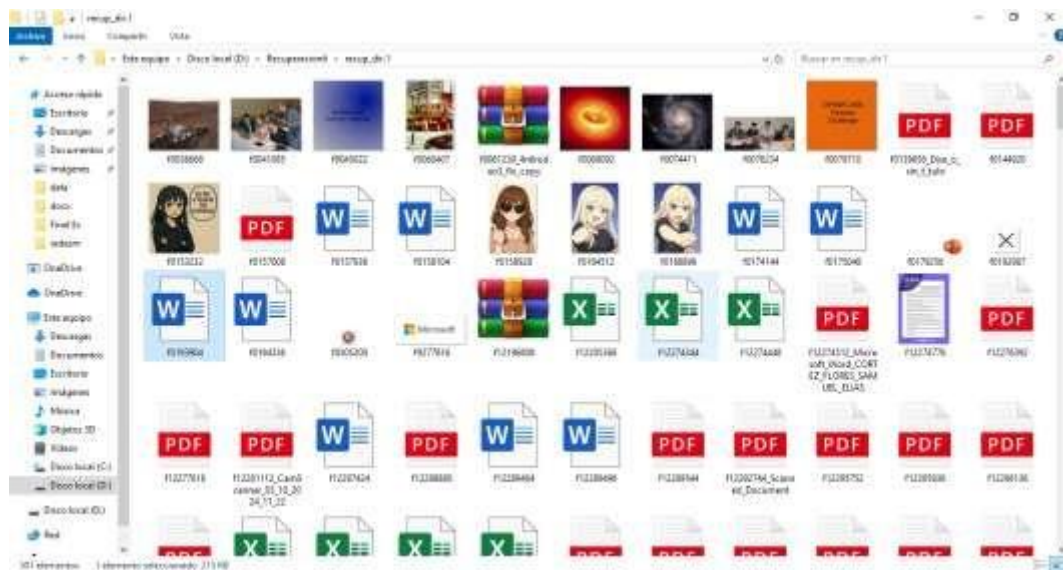
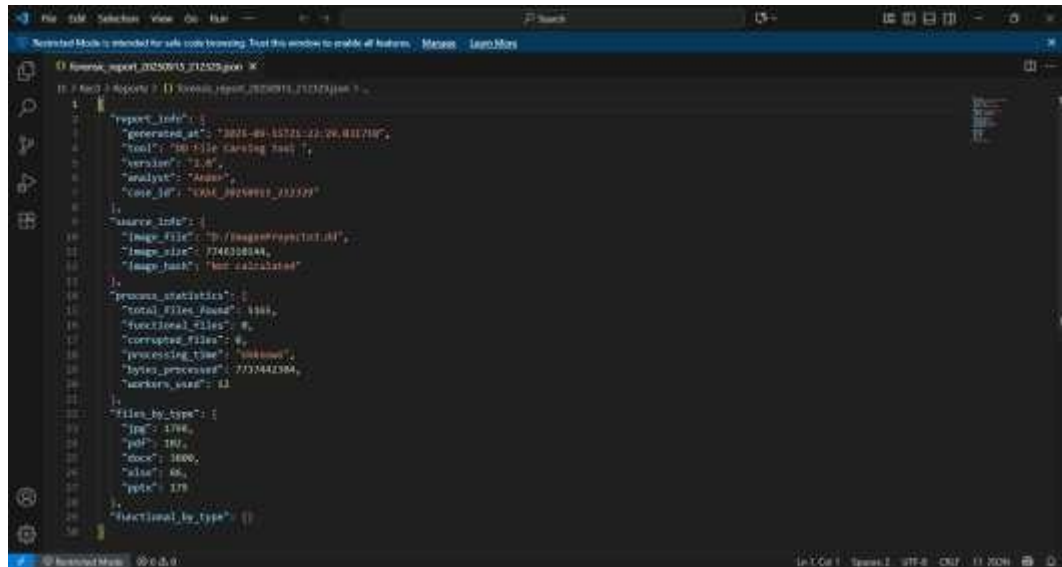


Figura 49. PhotoRec Recuperación Office

Recupero con éxito .docx, pptx, xlxs lo cual es extraño porque el programa no lo menciona simplemente recupera archivos con números mágicos parecidos, también esta es la razón que algunas herramientas detecten muchos zip ya que las cabeceras

Reporte generado automáticamente en formato JSON estructurado, que incluye metadatos completos del análisis (fecha, hora, imagen analizada, parámetros de configuración), estadísticas detalladas de recuperación por tipo de archivo, información de validación de integridad

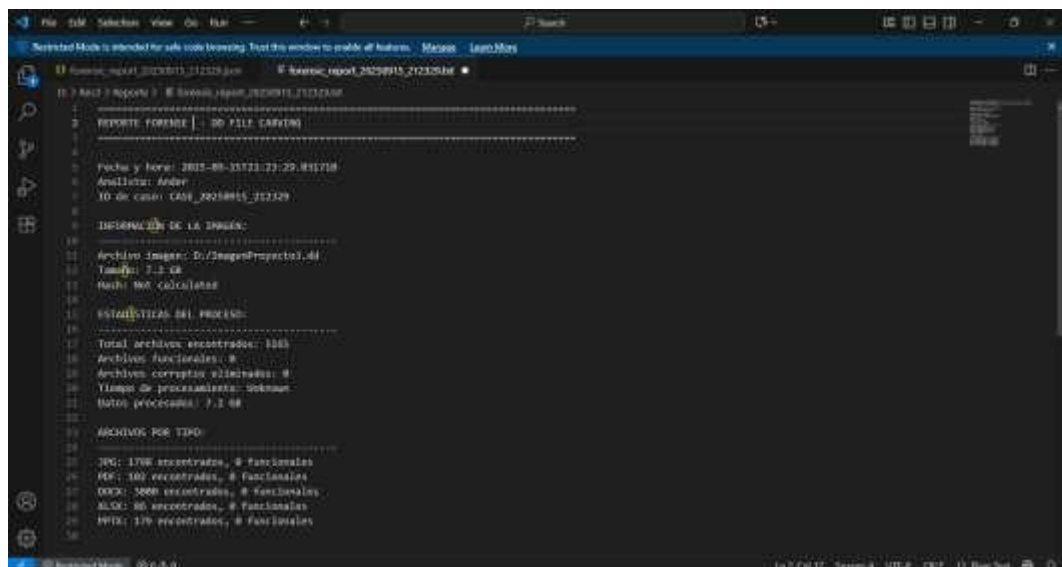


```
Reporte JSON:
{
  "report_info": {
    "generated_at": "2024-08-15T21:22:26.811Z",
    "tool": "3D File Carving Tool",
    "analyst": "Ande",
    "analysis": "Análisis",
    "case_id": "CASE_20240815_212129"
  },
  "source_info": {
    "image_file": "D:/Imagenes/prop3d.d",
    "image_size": "7740308194",
    "image_hash": "f0c1a2b3c4d5"
  },
  "processing_statistics": {
    "total_files_found": 1188,
    "functional_files": 8,
    "corrupted_files": 0,
    "processing_time": "Unknown",
    "bytes_processed": "7735412384",
    "markers_used": 11
  },
  "files_by_type": {
    "jpg": 1786,
    "mp3": 180,
    "docx": 1800,
    "xlsx": 86,
    "pptx": 178
  },
  "functional_by_type": {}
}
```

Figura 52. Reporte Generado JSON

Versión legible del reporte forense en formato texto plano (TXT) que presenta la misma información del reporte JSON en formato narrativo y estructurado,

Reporte 2



```
Reporte TXT:
REPORTE FORENSE | 3D FILE CARVING
-----
Fecha y hora: 2024-08-15T21:22:26.811Z
Analista: Ande
ID de caso: CASE_20240815_212129

INFORMACIÓN DE LA IMAGEN:
-----
Archivo imagen: D:/Imagenes/prop3d.d
Tamaño: 7.7 GB
Hash MD5 calculado: f0c1a2b3c4d5

ESTADÍSTICAS DE PROCESADO:
-----
Total archivos encontrados: 1188
Archivos funcionales: 8
Archivos corruptos eliminados: 0
Tiempo de procesamiento: Unknown
Bytes procesados: 7.3 GB

ARCHIVOS POR TIPO:
-----
JPG: 1786 encontrados, 0 funcionales
MP3: 180 encontrados, 0 funcionales
DOCX: 1800 encontrados, 0 funcionales
XLSX: 86 encontrados, 0 funcionales
PPTX: 178 encontrados, 0 funcionales
```

Figura 53. Reporte Generado TXT

Anexo 4. Manual de Usuario del Sistema de File Carving

Presenta los pasos esenciales para comenzar a utilizar el entorno automatizado, incluyendo requisitos del sistema, instalación de dependencias Python necesarias, y flujo básico de trabajo para realizar un análisis forense completo desde la creación de imagen hasta la recuperación de archivos.



Figura 1. Manual de Usuario: Inicio Rápido

Captura de la interfaz de imaging forense mostrando el proceso de selección de dispositivo fuente, configuración de ruta de destino para la imagen .dd, generación automática de hash SHA-1



Figura 2. Manual de Usuario: Imaging Forense

Vista de la interfaz principal de file carving que ilustra la selección de imagen forense a analizar, configuración de directorio de salida, opciones de tipos de archivo recuperables



Figura 3. Manual de Usuario: File Carving

Interfaz de monitoreo que despliega estadísticas en tiempo real del proceso de carving, incluyendo velocidad de procesamiento (MB/s), cantidad de archivos recuperados por tipo, tamaño total procesado, tiempo transcurrido



Figura 4. Manual de Usuario Monitoreo

Sección de troubleshooting que documenta los errores más frecuentes durante la operación del sistema (permisos insuficientes, dependencias faltantes, memoria insuficiente, dispositivos no detectados).



Figura 5. Manual de Usuario: Problemas

Panel informativo que detalla los requisitos técnicos completos del sistema (versión Python requerida, librerías necesarias, capacidad mínima de RAM y procesador),

formatos de archivo soportados con sus respectivas firmas digitales, algoritmos de validación.



Figura 6. Manual de Usuario: Información Técnica

Anexo 5. Arquitectura General del Sistema

La herramienta DD File Carving Tool fue desarrollada en Python utilizando una arquitectura modular con procesamiento multi-thread para optimizar el rendimiento en análisis forense de datos.

Funciones de Imaging Forense

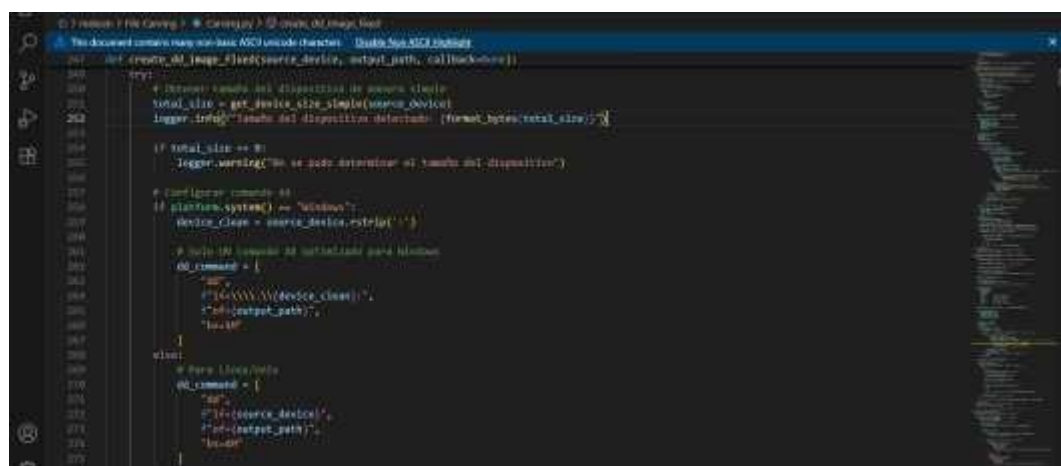
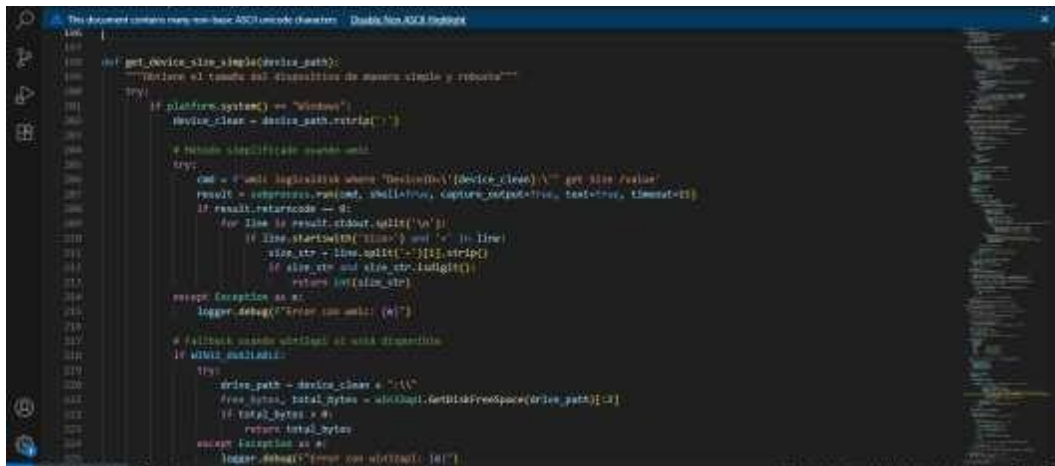


Figura 1. Función `create_dd_image_fixed`

Propósito: Crea imágenes forenses bit-a-bit de dispositivos de almacenamiento.

Funcionamiento: Utiliza el comando dd del sistema para realizar copias exactas, con monitoreo en tiempo real del progreso.

Características: Manejo robusto de errores, detección automática del tamaño del dispositivo, y callback para actualización de interfaz.



```
def get_device_size_simple(device_path):
    """Obtiene el tamaño del dispositivo de manera simple y robusta"""
    try:
        if platform.system() == "Windows":
            device_clean = device_path.replace("\\", "/")

            # Método simplificado usando wmic
            cmd = 'wmic logicaldisk where "DeviceID='{device_clean}'" get Size /value'
            result = subprocess.run(cmd, shell=True, capture_output=True, text=True, timeout=10)
            if result.returncode == 0:
                for line in result.stdout.split('\n'):
                    if line.startswith('Size=') and '=' in line:
                        size_str = line.split('=')[1].strip()
                        if size_str and size_str.isdigit():
                            return int(size_str)
            except Exception as e:
                logger.debug("Error con wmic: {e}")

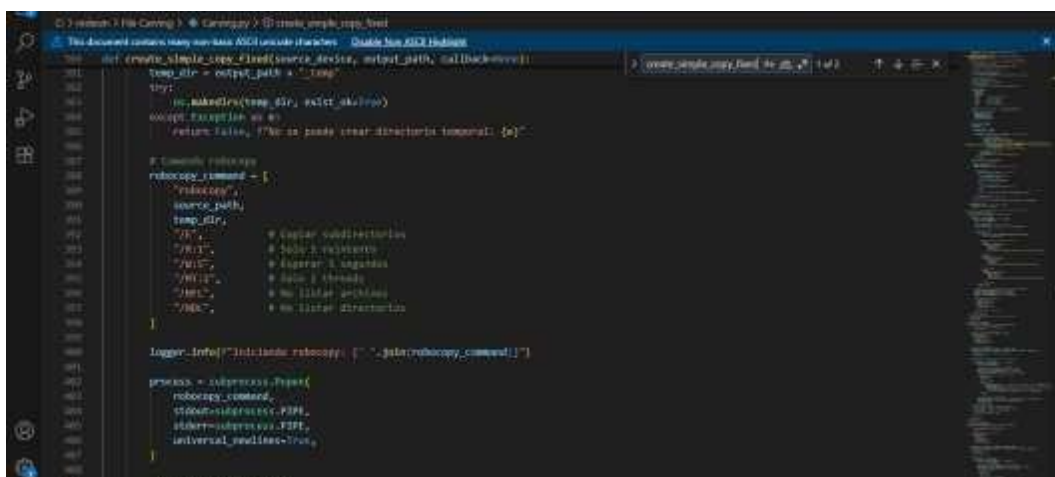
            # fallback usando shellapi si está disponible
            if shutil.which('shellapi'):
                try:
                    device_clean = device_path.replace("\\", "/")
                    free_bytes, total_bytes = shellapi.GetDiskFreeSpace(device_path[:-1])
                    if total_bytes > 0:
                        return total_bytes
                except Exception as e:
                    logger.debug("Error con shellapi: {e}")
```

Figura 2. Función `get_device_size_simple(device_path)`

Propósito: Obtiene el tamaño total de un dispositivo de almacenamiento.

Funcionamiento: Utiliza múltiples métodos (wmic, win32api, blockdev) según el sistema operativo.

Características: Implementa fallbacks para garantizar compatibilidad multiplataforma.



```
def create_simple_copy_fixed(source_device, output_path, callback=None):
    temp_dir = output_path + ".temp"
    try:
        os.makedirs(temp_dir, exist_ok=True)
    except Exception as e:
        return False, f'No se pudo crear directorio temporal: {e}'

    # Comandos robocopy
    robocopy_command = [
        "robocopy",
        source_path,
        temp_dir,
        "/E", # Copiar subdirectorios
        "/B", # Solo B recursivos
        "/W", # Esperar 1 segundo
        "/R", # Solo 1 intento
        "/MT", # No utilizar archivos
        "/XDC", # No listar directorios
    ]

    logger.info(f'Iniciando robocopy: {robocopy_command}')

    process = subprocess.Popen(
        robocopy_command,
        stdout=subprocess.PIPE,
        stderr=subprocess.PIPE,
        universal_newlines=True,
```

Figura 3. Función `create_simple_copy_fixed`

Propósito: Alternativa de copia cuando dd no está disponible.

Figura 7. Validación JPG

PNG (validate_png_content): Confirma la firma de 8 bytes \x89\x50\x4E\x47\x0D\x0A\x1A\x0A y el chunk final IEND. Procesa cada chunk verificando su CRC32, validando la presencia obligatoria de IHDR, IDAT e IEND.

```
def validate_png_content(data):
    try:
        # 1. Tamaño mínimo realista
        if len(data) < 300: # PNG debe tener al menos 300 bytes
            logger.debug("PNG muy pequeño")
            return False

        # 2. Verificar firma PNG completa (8 bytes)
        png_signature = b"\x89\x50\x4E\x47\x0D\x0A\x1A\x0A"
        if not data.startswith(png_signature):
            logger.debug("Firma PNG inválida")
            return False

        # 3. Verificar IEND chunk al final
        if not data.endswith(b"\x49\x4E\x44\x0A"):
            logger.debug("IEND chunk faltante")
            return False

        # 4. Análisis profundo de chunks
        pos = 8 # Después de la firma
        chunks_found = 0
```

Figura 8. Validación PNG

PDF (validate_pdf_content): Busca variantes de cabecera %PDF-1.x hasta %PDF-2.0 y footers %%EOF. La validación cuenta objetos (obj/endobj) verificando balance estructural, busca elementos obligatorios como trailer o xref, y calcula un score mínimo basado en la presencia de componentes críticos del formato PDF.

```
def validate_pdf_content(data):
    # 1. Tamaño mínimo realista
    if len(data) < 1024: # PDF debe tener al menos 1KB
        logger.debug("PDF muy pequeño")
        return False

    # 2. Buscar EOF en los primeros 1024 bytes
    header_area = data[:1024]

    # 3. Búsquedas PDF válidas
    valid_versions = [
        "%PDF-1.0", "%PDF-1.1", "%PDF-1.2", "%PDF-1.3",
        "%PDF-1.4", "%PDF-1.5", "%PDF-1.6", "%PDF-1.7",
        "%PDF-2.0"
    ]

    pdf_header_found = False
    header_pos = -1
```

Figura 9. Validación PDF

DOCX (validate_docx_content): Verifica la firma ZIP inicial \x50\x4B\x03\x04, luego analiza la estructura interna. El código busca archivos específicos como word/document.xml, valida la presencia de [Content_Types].xml con marcadores MIME específicos y verifica la estructura XML interna.

```

def validate_docx_content(data):
    try:
        # 1. Verificación básica
        if not data.startswith(b'\x50\x52\x02\x00'):
            return False

        if len(data) < 2048:
            logger.debug("DOCX muy pequeño")
            return False

        # 2. Verificar Integridad ZIP
        if not verify_zip_integrity(data):
            logger.debug("ZIP corrupto para DOCX")
            return False

        # 3. Análisis ZIP completo
        try:
            zip_buffer = io.BytesIO(data)

```

Figura 10. Validación DOCX

MP4 (validate_mp4_content): Localiza el box ftyp en los primeros 1024 bytes y verifica brands compatibles como mp41, mp42, isom. El algoritmo procesa secuencialmente los atoms/boxes verificando tamaños consistentes y tipos válidos

```

def validate_mp4_content(data):
    # 1. Tamaño mínimo
    if len(data) < 1024:
        logger.debug("MP4 muy pequeño")
        return False

    # 2. Buscar ftyp box (File Type Box) - HEM ser uno de los primeros
    ftyp_found = False
    ftyp_pos = -1

    # Buscar en los primeros 1024
    for i in range(0, min(1024, len(data) - 12)):
        if data[i:i+4] == b'ftyp':
            ftyp_found = True
            ftyp_pos = i
            break

    if not ftyp_found:
        logger.debug("ftyp box no encontrado")
        return False

```

Figura 11. Validación MP4

MP3 (validate_mp3_content): Detecta tags ID3v2 opcionales mediante ID3 y busca patrones de frame sync \xFF\xE0. Valida headers MPEG analizando versión, layer, bitrate y sample rate, calculando tamaños de frame y verificando sync words del siguiente frame.

```

def validate_mp3_content(data):
    """Validación para MP3"""
    try:
        # 1. Tamaño mínimo realista (aumentado significativamente)
        if len(data) < 8192: # A) error 300 para un MP3 válido
            logger.debug("MP3 muy pequeño: {} bytes".format(len(data)))
            return False

        has_id3 = False
        has_frame = False
        frame_count = 0
        pos = 0

        # 2. Verificar ID3v2 tag (opcional para comón)
        if data[:3] == b'ID3':
            has_id3 = True

```

Figura 12. Validación MP3

EXE (validate_exe_content): Confirma la firma MZ inicial, lee el offset del header PE desde la posición 0x3C, y verifica la signatura PE\x00\x00. Valida el tipo de máquina contra arquitecturas conocidas.

```
def validate_exe_content(data):
    try:
        # 1. Tamaño mínimo
        if len(data) < 4834:
            logger.debug("EXE muy pequeño")
            return False

        # 2. Verificar PE header (DOS stub)
        if not data.startswith(b"MZ"):
            logger.debug("PE header faltante")
            return False

        # 3. Leer offset del PE header (en 0x3C)
        if len(data) < 0x408:
            logger.debug("DOS header incompleto")
            return False

        pe_offset = int.from_bytes(data[0x3C:0x3C+4], 'little')
```

Figura 13. Validación EXE

GIF (validate_gif_content): Identifica versiones GIF87a o GIF89a mediante sus firmas específicas, lee el Logical Screen Descriptor y procesa bloques de datos secuencialmente.

```
def validate_gif_content(data):
    try:
        # 1. Tamaño mínimo
        if len(data) < 1024:
            logger.debug("GIF muy pequeño")
            return False

        # 2. Verificar PE header (DOS stub)
        if not data.startswith(b"GIF"):
            logger.debug("GIF header faltante")
            return False

        # 3. Leer offset del PE header (en 0x3C)
        if len(data) < 0x408:
            logger.debug("GIF header incompleto")
            return False

        pe_offset = int.from_bytes(data[0x3C:0x3C+4], 'little')
```

Figura 14. Validación GIF

ZIP genérico (validate_zip_content): Verifica integridad básica ZIP buscando la signatura EOCD. El código asegura que no sea un documento Office analizando ausencia de Content_Types.xml con marcadores Office y directorios específicos

```
def validate_zip_content(data):
    try:
        # 1. Tamaño mínimo
        if len(data) < 500:
            logger.debug("ZIP muy pequeño")
            return False

        # 2. Verificar firma ZIP
        if not data.startswith(b"PK\x03\x04"):
            logger.debug("Firma ZIP inválida")
            return False

        # 3. Verificar integridad básica
        if not verify_zip_integrity(data):
            logger.debug("ZIP sin firma válido")
            return False
```

Figura 15. Validación ZIP

XLSX (validate_xlsx_content): Verifica la firma ZIP inicial \x50\x4B\x03\x04, luego busca archivos específicos como xl/workbook.xml y al menos una hoja en xl/worksheets/.

```
def validate_xlsx_content(data):
    try:
        # 1. Verificación básica
        if not data.startswith(b"\x50\x4B\x03\x04"):
            return False

        if len(data) < 2048: # XLSX mínimo size realista
            logger.debug("XLSX muy pequeño")
            return False

        # 2. Verifique integridad ZIP
        if not verify_zip_integrity(data):
            logger.debug("ZIP corrupto para XLSX")
            return False

        # 3. Analiza ZIP completo
        try:
            zip_buffer = io.BytesIO(data)
            with zipfile.ZipFile(zip_buffer, "r") as zip_file:
                files = zip_file.namelist()
```

Figura 16. Validación XLSX

PPTX (validate_pptx_content): Verifica la firma ZIP inicial \x50\x4B\x03\x04, luego busca ppt/presentation.xml y al menos una diapositiva en ppt/slides/. Valida la presencia de [Content_Types].xml con marcadores presentationml y verifica la estructura XML interna de la presentación.

```
def validate_pptx_content(data):
    """Validación para PPTX"""
    try:
        # 1. Verificación básica
        if not data.startswith(b"\x50\x4B\x03\x04"):
            return False

        if len(data) < 3872: # PPTX mínimo size realista
            logger.debug("PPTX muy pequeño")
            return False

        # 2. Verifique integridad ZIP
        if not verify_zip_integrity(data):
            logger.debug("ZIP corrupto para PPTX")
            return False
```

Figura 17. Validación PPTX